Ein und Ausgabe: Farbmetrisches Drucker-Reflektiv-System FRS09_92aM für relativen CIELAB-Buntton $h^* = lab^*h^* = h_{ab}/360 = 0.396$ **$u^*_d = l00c$**

Daten für jede Farbe:
lab*tch* und lab*icu*
Bunttontexte:
$u^*_d = l00c$ $u^*_e = j71g$
Kontrastreduzierungsfaktor:
$c_R = 1.0$
Dreiecks-Helligkeit t*

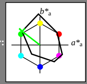

FRS09_92aM; adaptierte CIELAB-Daten

u^*_d	$L^*=L^*_a$	a^*_a	b^*_a	$C^*_{ab,a}$	$h^*_{ab,a}$
O_{Ma}	35.06	60.0	44.0	74.4	36
Y_{Ma}	83.77	−5.17	109.32	109.44	93
L_{Ma}	44.13	−62.67	48.24	79.09	142
C_{Ma}	52.66	−29.14	−31.99	43.27	228
V_{Ma}	14.15	50.3	−59.04	77.57	310
M_{Ma}	37.37	78.64	−33.5	85.48	337
N_{Ma}	8.58	0.0	0.0	0.0	0
W_{Ma}	92.02	0.0	0.0	0.0	0
O_{Ma}	39.92	58.74	27.99	65.07	25
Y_{Ma}	81.26	−2.89	71.56	71.62	92
L_{Ma}	52.23	−42.42	13.6	44.55	162
V_{Ma}	30.57	1.41	−46.47	46.49	272

Daten für Maximalfarbe (Ma):
$LAB^*LAB^*_{Ma}$: 44 −63 48
$LAB^*LCH^*_{Ma}$: 44 79 142
$lab^*olv^*_{Ma}$: 0.0 1.0 0.0
$lab^*rgb^*_{Ma}$: 0.28 1.0 0.0
Dreiecks-Helligkeit t*

%Umfang
$u^*_{rel} = 109$
%Regularität
$g^*_{H,rel} = 31$
$g^*_{C,rel} = 40$

FRS09_92aM; adaptierte CIELAB-Daten

u^*_d	$L^*=L^*_a$	a^*_a	b^*_a	$C^*_{ab,a}$	$h^*_{ab,a}$	u^*_e
o00y	35.06	60.0	44.0	74.4	36	r16j
o25y	44.68	47.13	56.9	73.88	50	r37j
o50y	54.77	33.62	70.44	78.05	64	r58j
o75y	66.84	17.48	86.62	88.37	79	r79j
y00l	83.77	−5.17	109.32	109.44	93	j01g
y25l	70.71	−24.12	89.19	92.39	105	j18g
y50l	60.76	−38.55	73.86	83.32	118	j36g
y75l	52.23	−50.92	60.72	79.25	130	j53g
l00c	44.13	−62.67	48.24	79.09	142	j71g
l50c	49.64	−41.0	−3.61	41.16	185	g21b
c00v	52.66	−29.14	−31.99	43.27	228	g60b
c50v	38.87	−0.69	−41.67	41.68	269	g97b
v00m	14.15	50.3	−59.04	77.57	310	b34r
v50m	25.2	63.79	−46.89	79.17	324	b45r
m00o	37.37	78.64	−33.5	85.48	337	b57r
m50o	36.13	68.67	7.94	69.13	7	b83r

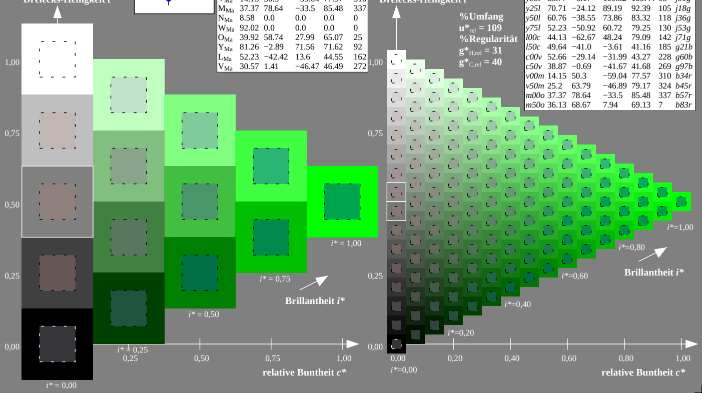

Ein und Ausgabe: Farbmetrisches Drucker-Reflektiv-System FRS09_92aM für relativen CIELAB-Buntton $h^* = lab^*h^* = h_{ab}/360 = 0.514$ **$u^*_d = l50c$**

Daten für jede Farbe:
lab*tch* und lab*icu*
Bunttontexte:
$u^*_d = l50c$ $u^*_e = g21b$
Kontrastreduzierungsfaktor:
$c_R = 1.0$
Dreiecks-Helligkeit t*

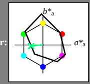

FRS09_92aM; adaptierte CIELAB-Daten

u^*_d	$L^*=L^*_a$	a^*_a	b^*_a	$C^*_{ab,a}$	$h^*_{ab,a}$
O_{Ma}	35.06	60.0	44.0	74.4	36
Y_{Ma}	83.77	−5.17	109.32	109.44	93
L_{Ma}	44.13	−62.67	48.24	79.09	142
C_{Ma}	52.66	−29.14	−31.99	43.27	228
V_{Ma}	14.15	50.3	−59.04	77.57	310
M_{Ma}	37.37	78.64	−33.5	85.48	337
N_{Ma}	8.58	0.0	0.0	0.0	0
W_{Ma}	92.02	0.0	0.0	0.0	0
O_{Ma}	39.92	58.74	27.99	65.07	25
Y_{Ma}	81.26	−2.89	71.56	71.62	92
L_{Ma}	52.23	−42.42	13.6	44.55	162
V_{Ma}	30.57	1.41	−46.47	46.49	272

Daten für Maximalfarbe (Ma):
$LAB^*LAB^*_{Ma}$: 50 −41 −4
$LAB^*LCH^*_{Ma}$: 50 41 185
$lab^*olv^*_{Ma}$: 0.0 1.0 0.5
$lab^*rgb^*_{Ma}$: 0.0 1.0 0.42
Dreiecks-Helligkeit t*

%Umfang
$u^*_{rel} = 109$
%Regularität
$g^*_{H,rel} = 31$
$g^*_{C,rel} = 40$

FRS09_92aM; adaptierte CIELAB-Daten

u^*_d	$L^*=L^*_a$	a^*_a	b^*_a	$C^*_{ab,a}$	$h^*_{ab,a}$	u^*_e
o00y	35.06	60.0	44.0	74.4	36	r16j
o25y	44.68	47.13	56.9	73.88	50	r37j
o50y	54.77	33.62	70.44	78.05	64	r58j
o75y	66.84	17.48	86.62	88.37	79	r79j
y00l	83.77	−5.17	109.32	109.44	93	j01g
y25l	70.71	−24.12	89.19	92.39	105	j18g
y50l	60.76	−38.55	73.86	83.32	118	j36g
y75l	52.23	−50.92	60.72	79.25	130	j53g
l00c	44.13	−62.67	48.24	79.09	142	j71g
l50c	49.64	−41.0	−3.61	41.16	185	g21b
c00v	52.66	−29.14	−31.99	43.27	228	g60b
c50v	38.87	−0.69	−41.67	41.68	269	g97b
v00m	14.15	50.3	−59.04	77.57	310	b34r
v50m	25.2	63.79	−46.89	79.17	324	b45r
m00o	37.37	78.64	−33.5	85.48	337	b57r
m50o	36.13	68.67	7.94	69.13	7	b83r

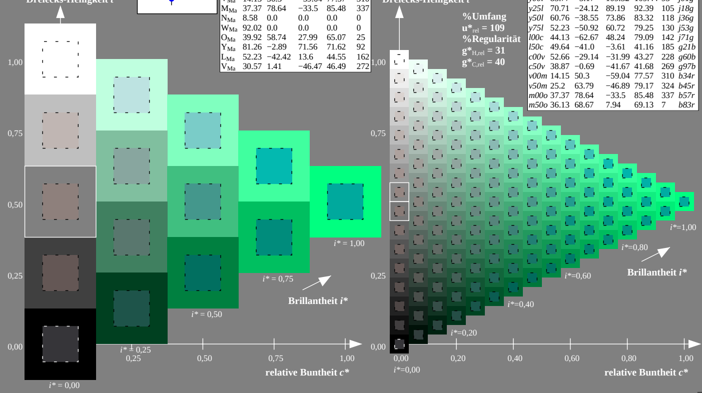

Ein und Ausgabe: Farbmetrisches Drucker-Reflektiv-System FRS09_92aM für relativen CIELAB-Buntton $h^* = lab^*h^* = h_{ab}/360 = 0.632$ **$u^*_d = c00v$**

Daten für jede Farbe:
lab*tch* und lab*icu*
Bunttontexte:
$u^*_d = c00v$ $u^*_e = g60b$
Kontrastreduzierungsfaktor:
$c_R = 1.0$
Dreiecks-Helligkeit t*

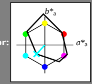

FRS09_92aM; adaptierte CIELAB-Daten

u^*_d	$L^*=L^*_a$	a^*_a	b^*_a	$C^*_{ab,a}$	$h^*_{ab,a}$
O_{Ma}	35.06	60.0	44.0	74.4	36
Y_{Ma}	83.77	−5.17	109.32	109.44	93
L_{Ma}	44.13	−62.67	48.24	79.09	142
C_{Ma}	52.66	−29.14	−31.99	43.27	228
V_{Ma}	14.15	50.3	−59.04	77.57	310
M_{Ma}	37.37	78.64	−33.5	85.48	337
N_{Ma}	8.58	0.0	0.0	0.0	0
W_{Ma}	92.02	0.0	0.0	0.0	0
O_{Ma}	39.92	58.74	27.99	65.07	25
Y_{Ma}	81.26	−2.89	71.56	71.62	92
L_{Ma}	52.23	−42.42	13.6	44.55	162
V_{Ma}	30.57	1.41	−46.47	46.49	272

Daten für Maximalfarbe (Ma):
$LAB^*LAB^*_{Ma}$: 53 −29 −32
$LAB^*LCH^*_{Ma}$: 53 43 227
$lab^*olv^*_{Ma}$: 0.0 1.0 1.0
$lab^*rgb^*_{Ma}$: 0.0 0.8 1.0
Dreiecks-Helligkeit t*

%Umfang
$u^*_{rel} = 109$
%Regularität
$g^*_{H,rel} = 31$
$g^*_{C,rel} = 40$

FRS09_92aM; adaptierte CIELAB-Daten

u^*_d	$L^*=L^*_a$	a^*_a	b^*_a	$C^*_{ab,a}$	$h^*_{ab,a}$	u^*_e
o00y	35.06	60.0	44.0	74.4	36	r16j
o25y	44.68	47.13	56.9	73.88	50	r37j
o50y	54.77	33.62	70.44	78.05	64	r58j
o75y	66.84	17.48	86.62	88.37	79	r79j
y00l	83.77	−5.17	109.32	109.44	93	j01g
y25l	70.71	−24.12	89.19	92.39	105	j18g
y50l	60.76	−38.55	73.86	83.32	118	j36g
y75l	52.23	−50.92	60.72	79.25	130	j53g
l00c	44.13	−62.67	48.24	79.09	142	j71g
l50c	49.64	−41.0	−3.61	41.16	185	g21b
c00v	52.66	−29.14	−31.99	43.27	228	g60b
c50v	38.87	−0.69	−41.67	41.68	269	g97b
v00m	14.15	50.3	−59.04	77.57	310	b34r
v50m	25.2	63.79	−46.89	79.17	324	b45r
m00o	37.37	78.64	−33.5	85.48	337	b57r
m50o	36.13	68.67	7.94	69.13	7	b83r

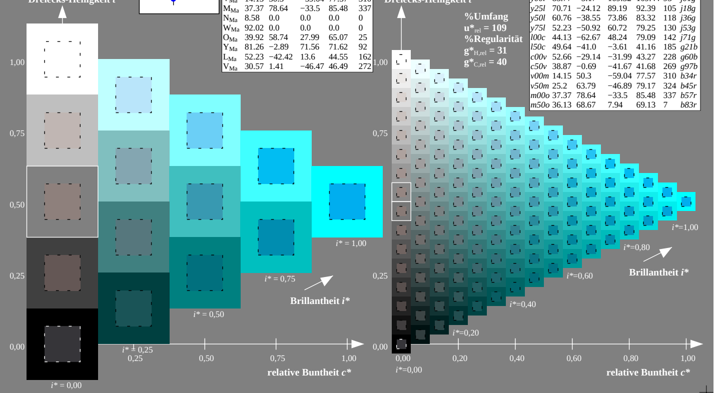

Ein und Ausgabe: Farbmetrisches Drucker-Reflektiv-System FRS09_92aM für relativen CIELAB-Buntton $h^* = lab^*h^* = h_{ab}/360 = 0.747$ **$u^*_d = c50v$**

Daten für jede Farbe:
lab*tch* und lab*icu*
Bunttontexte:
$u^*_d = c50v$ $u^*_e = g97b$
Kontrastreduzierungsfaktor:
$c_R = 1.0$
Dreiecks-Helligkeit t*

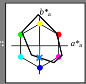

FRS09_92aM; adaptierte CIELAB-Daten

u^*_d	$L^*=L^*_a$	a^*_a	b^*_a	$C^*_{ab,a}$	$h^*_{ab,a}$
O_{Ma}	35.06	60.0	44.0	74.4	36
Y_{Ma}	83.77	−5.17	109.32	109.44	93
L_{Ma}	44.13	−62.67	48.24	79.09	142
C_{Ma}	52.66	−29.14	−31.99	43.27	228
V_{Ma}	14.15	50.3	−59.04	77.57	310
M_{Ma}	37.37	78.64	−33.5	85.48	337
N_{Ma}	8.58	0.0	0.0	0.0	0
W_{Ma}	92.02	0.0	0.0	0.0	0
O_{Ma}	39.92	58.74	27.99	65.07	25
Y_{Ma}	81.26	−2.89	71.56	71.62	92
L_{Ma}	52.23	−42.42	13.6	44.55	162
V_{Ma}	30.57	1.41	−46.47	46.49	272

Daten für Maximalfarbe (Ma):
$LAB^*LAB^*_{Ma}$: 39 −1 −42
$LAB^*LCH^*_{Ma}$: 39 42 269
$lab^*olv^*_{Ma}$: 0.0 0.5 1.0
$lab^*rgb^*_{Ma}$: 0.0 0.05 1.0
Dreiecks-Helligkeit t*

%Umfang
$u^*_{rel} = 109$
%Regularität
$g^*_{H,rel} = 31$
$g^*_{C,rel} = 40$

FRS09_92aM; adaptierte CIELAB-Daten

u^*_d	$L^*=L^*_a$	a^*_a	b^*_a	$C^*_{ab,a}$	$h^*_{ab,a}$	u^*_e
o00y	35.06	60.0	44.0	74.4	36	r16j
o25y	44.68	47.13	56.9	73.88	50	r37j
o50y	54.77	33.62	70.44	78.05	64	r58j
o75y	66.84	17.48	86.62	88.37	79	r79j
y00l	83.77	−5.17	109.32	109.44	93	j01g
y25l	70.71	−24.12	89.19	92.39	105	j18g
y50l	60.76	−38.55	73.86	83.32	118	j36g
y75l	52.23	−50.92	60.72	79.25	130	j53g
l00c	44.13	−62.67	48.24	79.09	142	j71g
l50c	49.64	−41.0	−3.61	41.16	185	g21b
c00v	52.66	−29.14	−31.99	43.27	228	g60b
c50v	38.87	−0.69	−41.67	41.68	269	g97b
v00m	14.15	50.3	−59.04	77.57	310	b34r
v50m	25.2	63.79	−46.89	79.17	324	b45r
m00o	37.37	78.64	−33.5	85.48	337	b57r
m50o	36.13	68.67	7.94	69.13	7	b83r

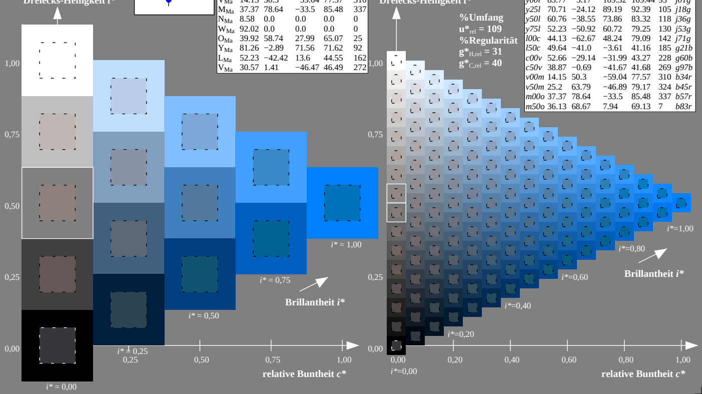

Ein und Ausgabe: Farbmetrisches Drucker-Reflektiv-System FRS09_92aM für relativen CIELAB-Buntton $h^* = lab^*h^* = h_{ab}/360 = 0.862$ **$u^*_d = v00m$**

Daten für jede Farbe:
lab*tch* und lab*icu*
Bunttontexte:
$u^*_d = v00m$ $u^*_e = b34r$
Kontrastreduzierungsfaktor:
$c_R = 1.0$
Dreiecks-Helligkeit t*

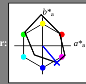

FRS09_92aM; adaptierte CIELAB-Daten

u^*_d	$L^*=L^*_a$	a^*_a	b^*_a	$C^*_{ab,a}$	$h^*_{ab,a}$
O_{Ma}	35.06	60.0	44.0	74.4	36
Y_{Ma}	83.77	−5.17	109.32	109.44	93
L_{Ma}	44.13	−62.67	48.24	79.09	142
C_{Ma}	52.66	−29.14	−31.99	43.27	228
V_{Ma}	14.15	50.3	−59.04	77.57	310
M_{Ma}	37.37	78.64	−33.5	85.48	337
N_{Ma}	8.58	0.0	0.0	0.0	0
W_{Ma}	92.02	0.0	0.0	0.0	0
O_{Ma}	39.92	58.74	27.99	65.07	25
Y_{Ma}	81.26	−2.89	71.56	71.62	92
L_{Ma}	52.23	−42.42	13.6	44.55	162
V_{Ma}	30.57	1.41	−46.47	46.49	272

Daten für Maximalfarbe (Ma):
$LAB^*LAB^*_{Ma}$: 14 50 −59
$LAB^*LCH^*_{Ma}$: 14 78 310
$lab^*olv^*_{Ma}$: 0.0 0.0 1.0
$lab^*rgb^*_{Ma}$: 0.68 0.0 1.0
Dreiecks-Helligkeit t*

%Umfang
$u^*_{rel} = 109$
%Regularität
$g^*_{H,rel} = 31$
$g^*_{C,rel} = 40$

FRS09_92aM; adaptierte CIELAB-Daten

u^*_d	$L^*=L^*_a$	a^*_a	b^*_a	$C^*_{ab,a}$	$h^*_{ab,a}$	u^*_e
o00y	35.06	60.0	44.0	74.4	36	r16j
o25y	44.68	47.13	56.9	73.88	50	r37j
o50y	54.77	33.62	70.44	78.05	64	r58j
o75y	66.84	17.48	86.62	88.37	79	r79j
y00l	83.77	−5.17	109.32	109.44	93	j01g
y25l	70.71	−24.12	89.19	92.39	105	j18g
y50l	60.76	−38.55	73.86	83.32	118	j36g
y75l	52.23	−50.92	60.72	79.25	130	j53g
l00c	44.13	−62.67	48.24	79.09	142	j71g
l50c	49.64	−41.0	−3.61	41.16	185	g21b
c00v	52.66	−29.14	−31.99	43.27	228	g60b
c50v	38.87	−0.69	−41.67	41.68	269	g97b
v00m	14.15	50.3	−59.04	77.57	310	b34r
v50m	25.2	63.79	−46.89	79.17	324	b45r
m00o	37.37	78.64	−33.5	85.48	337	b57r
m50o	36.13	68.67	7.94	69.13	7	b83r

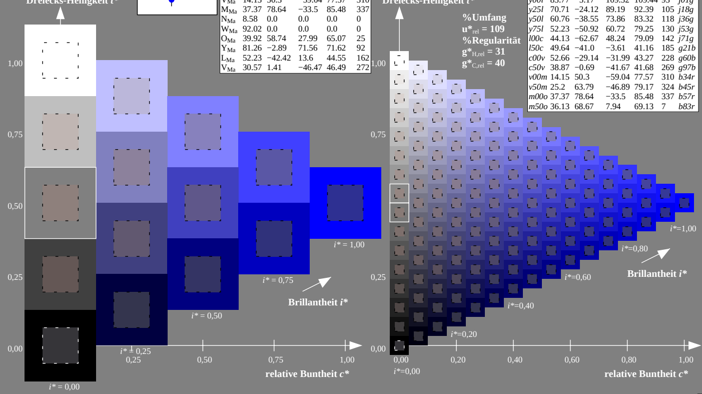

Ein und Ausgabe: Farbmetrisches Drucker-Reflektiv-System FRS09_92aM für relativen CIELAB-Buntton $h^* = lab^*h^* = h_{ab}/360 = 0.899$ **$u^*_d = v50m$**

Daten für jede Farbe:
lab*tch* und lab*icu*
Bunttontexte:
$u^*_d = v50m$ $u^*_e = b45r$
Kontrastreduzierungsfaktor:
$c_R = 1.0$
Dreiecks-Helligkeit t*

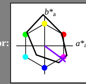

FRS09_92aM; adaptierte CIELAB-Daten

u^*_d	$L^*=L^*_a$	a^*_a	b^*_a	$C^*_{ab,a}$	$h^*_{ab,a}$
O_{Ma}	35.06	60.0	44.0	74.4	36
Y_{Ma}	83.77	−5.17	109.32	109.44	93
L_{Ma}	44.13	−62.67	48.24	79.09	142
C_{Ma}	52.66	−29.14	−31.99	43.27	228
V_{Ma}	14.15	50.3	−59.04	77.57	310
M_{Ma}	37.37	78.64	−33.5	85.48	337
N_{Ma}	8.58	0.0	0.0	0.0	0
W_{Ma}	92.02	0.0	0.0	0.0	0
O_{Ma}	39.92	58.74	27.99	65.07	25
Y_{Ma}	81.26	−2.89	71.56	71.62	92
L_{Ma}	52.23	−42.42	13.6	44.55	162
V_{Ma}	30.57	1.41	−46.47	46.49	272

Daten für Maximalfarbe (Ma):
$LAB^*LAB^*_{Ma}$: 25 64 −47
$LAB^*LCH^*_{Ma}$: 25 79 323
$lab^*olv^*_{Ma}$: 0.5 0.0 1.0
$lab^*rgb^*_{Ma}$: 0.91 0.0 1.0
Dreiecks-Helligkeit t*

%Umfang
$u^*_{rel} = 109$
%Regularität
$g^*_{H,rel} = 31$
$g^*_{C,rel} = 40$

FRS09_92aM; adaptierte CIELAB-Daten

u^*_d	$L^*=L^*_a$	a^*_a	b^*_a	$C^*_{ab,a}$	$h^*_{ab,a}$	u^*_e
o00y	35.06	60.0	44.0	74.4	36	r16j
o25y	44.68	47.13	56.9	73.88	50	r37j
o50y	54.77	33.62	70.44	78.05	64	r58j
o75y	66.84	17.48	86.62	88.37	79	r79j
y00l	83.77	−5.17	109.32	109.44	93	j01g
y25l	70.71	−24.12	89.19	92.39	105	j18g
y50l	60.76	−38.55	73.86	83.32	118	j36g
y75l	52.23	−50.92	60.72	79.25	130	j53g
l00c	44.13	−62.67	48.24	79.09	142	j71g
l50c	49.64	−41.0	−3.61	41.16	185	g21b
c00v	52.66	−29.14	−31.99	43.27	228	g60b
c50v	38.87	−0.69	−41.67	41.68	269	g97b
v00m	14.15	50.3	−59.04	77.57	310	b34r
v50m	25.2	63.79	−46.89	79.17	324	b45r
m00o	37.37	78.64	−33.5	85.48	337	b57r
m50o	36.13	68.67	7.94	69.13	7	b83r

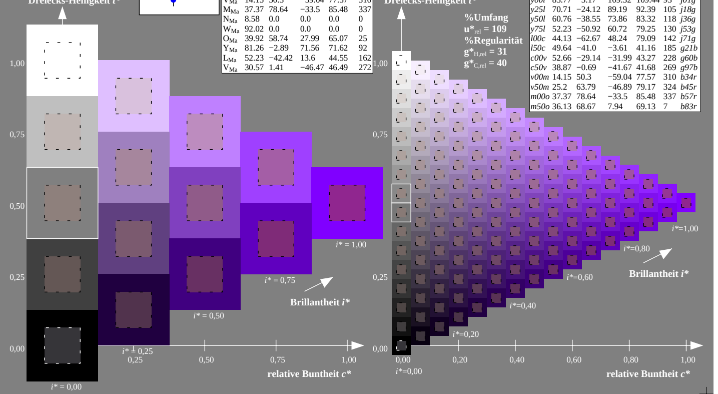

Ein und Ausgabe: Farbmetrisches Drucker-Reflektiv-System FRS09_92aM für relativen CIELAB-Buntton $h^* = lab^*h^* = h_{ab}/360 = 0.936$ **$u^*_d = m00o$**

Daten für jede Farbe:
lab*tch* und lab*icu*
Bunttontexte:
$u^*_d = m00o$ $u^*_e = b57r$
Kontrastreduzierungsfaktor:
$c_R = 1.0$
Dreiecks-Helligkeit t*

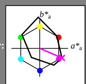

FRS09_92aM; adaptierte CIELAB-Daten

u^*_d	$L^*=L^*_a$	a^*_a	b^*_a	$C^*_{ab,a}$	$h^*_{ab,a}$
O_{Ma}	35.06	60.0	44.0	74.4	36
Y_{Ma}	83.77	−5.17	109.32	109.44	93
L_{Ma}	44.13	−62.67	48.24	79.09	142
C_{Ma}	52.66	−29.14	−31.99	43.27	228
V_{Ma}	14.15	50.3	−59.04	77.57	310
M_{Ma}	37.37	78.64	−33.5	85.48	337
N_{Ma}	8.58	0.0	0.0	0.0	0
W_{Ma}	92.02	0.0	0.0	0.0	0
O_{Ma}	39.92	58.74	27.99	65.07	25
Y_{Ma}	81.26	−2.89	71.56	71.62	92
L_{Ma}	52.23	−42.42	13.6	44.55	162
V_{Ma}	30.57	1.41	−46.47	46.49	272

Daten für Maximalfarbe (Ma):
$LAB^*LAB^*_{Ma}$: 37 79 −34
$LAB^*LCH^*_{Ma}$: 37 85 336
$lab^*olv^*_{Ma}$: 1.0 0.0 1.0
$lab^*rgb^*_{Ma}$: 1.0 0.0 0.85
Dreiecks-Helligkeit t*

%Umfang
$u^*_{rel} = 109$
%Regularität
$g^*_{H,rel} = 31$
$g^*_{C,rel} = 40$

FRS09_92aM; adaptierte CIELAB-Daten

u^*_d	$L^*=L^*_a$	a^*_a	b^*_a	$C^*_{ab,a}$	$h^*_{ab,a}$	u^*_e
o00y	35.06	60.0	44.0	74.4	36	r16j
o25y	44.68	47.13	56.9	73.88	50	r37j
o50y	54.77	33.62	70.44	78.05	64	r58j
o75y	66.84	17.48	86.62	88.37	79	r79j
y00l	83.77	−5.17	109.32	109.44	93	j01g
y25l	70.71	−24.12	89.19	92.39	105	j18g
y50l	60.76	−38.55	73.86	83.32	118	j36g
y75l	52.23	−50.92	60.72	79.25	130	j53g
l00c	44.13	−62.67	48.24	79.09	142	j71g
l50c	49.64	−41.0	−3.61	41.16	185	g21b
c00v	52.66	−29.14	−31.99	43.27	228	g60b
c50v	38.87	−0.69	−41.67	41.68	269	g97b
v00m	14.15	50.3	−59.04	77.57	310	b34r
v50m	25.2	63.79	−46.89	79.17	324	b45r
m00o	37.37	78.64	−33.5	85.48	337	b57r
m50o	36.13	68.67	7.94	69.13	7	b83r

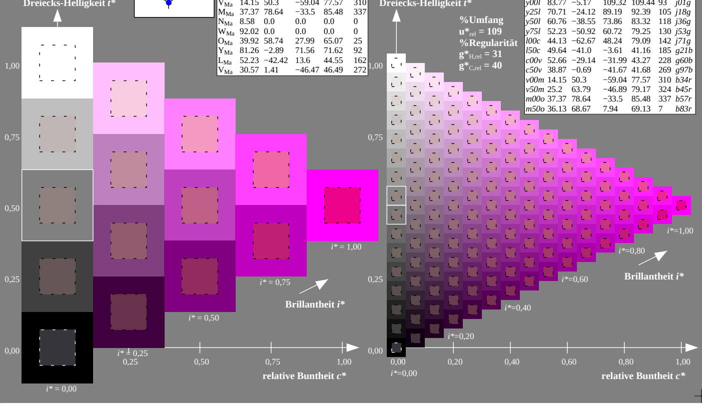

Ein und Ausgabe: Farbmetrisches Drucker-Reflektiv-System FRS09_92aM für relativen CIELAB-Buntton $h^* = lab^*h^* = h_{ab}/360 = 0.018$ **$u^*_d = m50o$**

Daten für jede Farbe:
lab*tch* und lab*icu*
Bunttontexte:
$u^*_d = m50o$ $u^*_e = b83r$
Kontrastreduzierungsfaktor:
$c_R = 1.0$
Dreiecks-Helligkeit t*

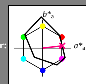

FRS09_92aM; adaptierte CIELAB-Daten

u^*_d	$L^*=L^*_a$	a^*_a	b^*_a	$C^*_{ab,a}$	$h^*_{ab,a}$
O_{Ma}	35.06	60.0	44.0	74.4	36
Y_{Ma}	83.77	−5.17	109.32	109.44	93
L_{Ma}	44.13	−62.67	48.24	79.09	142
C_{Ma}	52.66	−29.14	−31.99	43.27	228
V_{Ma}	14.15	50.3	−59.04	77.57	310
M_{Ma}	37.37	78.64	−33.5	85.48	337
N_{Ma}	8.58	0.0	0.0	0.0	0
W_{Ma}	92.02	0.0	0.0	0.0	0
O_{Ma}	39.92	58.74	27.99	65.07	25
Y_{Ma}	81.26	−2.89	71.56	71.62	92
L_{Ma}	52.23	−42.42	13.6	44.55	162
V_{Ma}	30.57	1.41	−46.47	46.49	272

Daten für Maximalfarbe (Ma):
$LAB^*LAB^*_{Ma}$: 36 69 8
$LAB^*LCH^*_{Ma}$: 36 69 6
$lab^*olv^*_{Ma}$: 1.0 0.0 0.5
$lab^*rgb^*_{Ma}$: 1.0 0.0 0.33
Dreiecks-Helligkeit t*

%Umfang
$u^*_{rel} = 109$
%Regularität
$g^*_{H,rel} = 31$
$g^*_{C,rel} = 40$

FRS09_92aM; adaptierte CIELAB-Daten

u^*_d	$L^*=L^*_a$	a^*_a	b^*_a	$C^*_{ab,a}$	$h^*_{ab,a}$	u^*_e
o00y	35.06	60.0	44.0	74.4	36	r16j
o25y	44.68	47.13	56.9	73.88	50	r37j
o50y	54.77	33.62	70.44	78.05	64	r58j
o75y	66.84	17.48	86.62	88.37	79	r79j
y00l	83.77	−5.17	109.32	109.44	93	j01g
y25l	70.71	−24.12	89.19	92.39	105	j18g
y50l	60.76	−38.55	73.86	83.32	118	j36g
y75l	52.23	−50.92	60.72	79.25	130	j53g
l00c	44.13	−62.67	48.24	79.09	142	j71g
l50c	49.64	−41.0	−3.61	41.16	185	g21b
c00v	52.66	−29.14	−31.99	43.27	228	g60b
c50v	38.87	−0.69	−41.67	41.68	269	g97b
v00m	14.15	50.3	−59.04	77.57	310	b34r
v50m	25.2	63.79	−46.89	79.17	324	b45r
m00o	37.37	78.64	−33.5	85.48	337	b57r
m50o	36.13	68.67	7.94	69.13	7	b83r

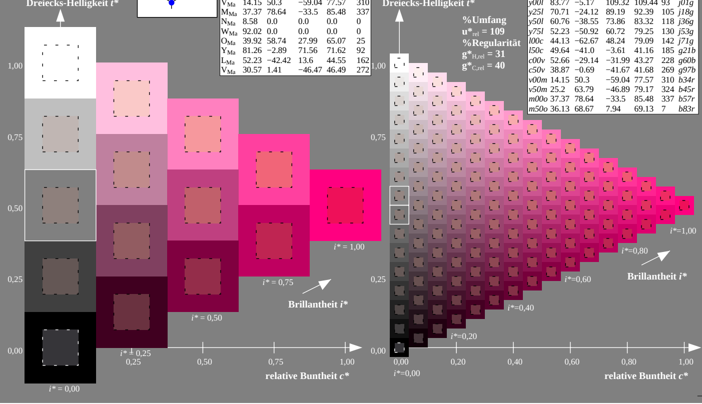

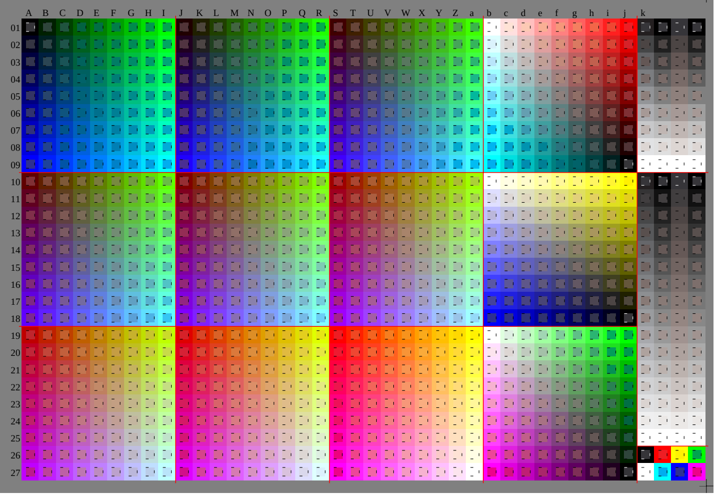

Ein und Ausgabe: Farbmetrisches Drucker-Reflektiv-System FRS09_92aM für relativen CIELAB-Buntton $h^* = lab^*h^* = h_{ab}/360 = 0.396$ *u^*_d = l00c*

Daten für jede Farbe:
*lab*tch** und *lab*icu**
Bunttontexte:
u^*_d = l00c *u^*_e = j71g*
Kontrastreduzierungsfaktor:
$c_R = 1.0$
Dreiecks-Helligkeit t*

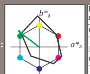

FRS09_92aM; adaptierte CIELAB-Daten					
u^*_d	$L^*=L^*_a$	a^*_a	b^*_a	$C^*_{ab,a}$	$h^*_{ab,a}$
O_{Ma}	35.06	60.0	44.0	74.4	36
Y_{Ma}	83.77	−5.17	109.32	109.44	93
L_{Ma}	44.13	−62.67	48.24	79.09	142
C_{Ma}	52.66	−29.14	−31.99	43.27	228
V_{Ma}	14.15	50.3	−59.04	77.57	310
M_{Ma}	37.37	78.64	−33.5	85.48	337
N_{Ma}	8.58	0.0	0.0	0.0	0
W_{Ma}	92.02	0.0	0.0	0.0	0
O_{Ma}	39.92	58.74	27.99	65.07	25
Y_{Ma}	81.26	−2.89	71.56	71.62	92
L_{Ma}	52.23	−42.42	13.6	44.55	162
V_{Ma}	30.57	1.41	−46.47	46.49	272

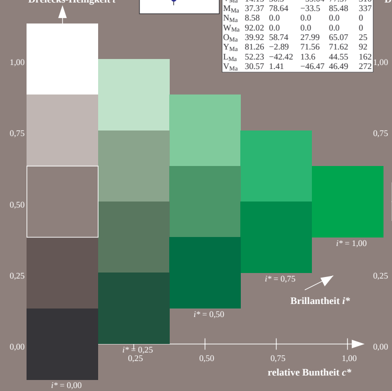

Daten für Maximalfarbe (Ma):
*LAB*LAB**$_{Ma}$: 44 −63 48
*LAB*LCH**$_{Ma}$: 44 79 142
*lab*olv**$_{Ma}$: 0.0 1.0 0.0
*lab*rgb**$_{Ma}$: 0.28 1.0 0.0
Dreiecks-Helligkeit t*

%Umfang
u^*_{rel} = 109
%Regularität
$g^*_{H,rel}$ = 31
$g^*_{C,rel}$ = 40

FRS09_92aM; adaptierte CIELAB-Daten						
u^*_d	$L^*=L^*_a$	a^*_a	b^*_a	$C^*_{ab,a}$	$h^*_{ab,a}$	u^*_e
o00y	35.06	60.0	44.0	74.4	36	r16j
o25y	44.68	47.13	56.9	73.88	50	r37j
o50y	54.77	33.62	70.44	78.05	64	r58j
o75y	66.84	17.48	86.62	88.37	79	r79j
y00l	83.77	−5.17	109.32	109.44	93	j01g
y25l	70.71	−24.12	89.19	92.39	105	j18g
y50l	60.76	−38.55	73.86	83.32	118	j36g
y75l	52.23	−50.92	60.72	79.25	130	j53g
l00c	44.13	−62.67	48.24	79.09	142	j71g
l50c	49.64	−41.0	−3.61	41.16	185	g21b
c00v	52.66	−29.14	−31.99	43.27	228	g60b
c50v	38.87	−0.69	−41.67	41.68	269	g97b
v00m	14.15	50.3	−59.04	77.57	310	b34r
v50m	25.2	63.79	−46.89	79.17	324	b45r
m00o	37.37	78.64	−33.5	85.48	337	b57r
m50o	36.13	68.67	7.94	69.13	7	b83r

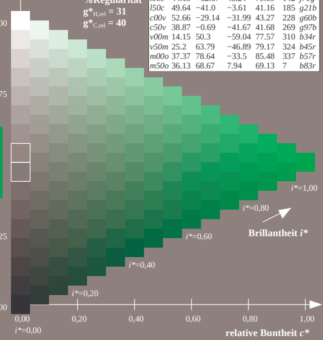

Ein und Ausgabe: Farbmetrisches Drucker-Reflektiv-System FRS09_92aM für relativen CIELAB-Buntton $h^* = lab^*h^* = h_{ab}/360 = 0.514$ *u^*_d = l50c*

Daten für jede Farbe:
*lab*tch** und *lab*icu**
Bunttontexte:
u^*_d = l50c *u^*_e = g21b*
Kontrastreduzierungsfaktor:
$c_R = 1.0$
Dreiecks-Helligkeit t*

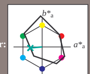

FRS09_92aM; adaptierte CIELAB-Daten					
u^*_d	$L^*=L^*_a$	a^*_a	b^*_a	$C^*_{ab,a}$	$h^*_{ab,a}$
O_{Ma}	35.06	60.0	44.0	74.4	36
Y_{Ma}	83.77	−5.17	109.32	109.44	93
L_{Ma}	44.13	−62.67	48.24	79.09	142
C_{Ma}	52.66	−29.14	−31.99	43.27	228
V_{Ma}	14.15	50.3	−59.04	77.57	310
M_{Ma}	37.37	78.64	−33.5	85.48	337
N_{Ma}	8.58	0.0	0.0	0.0	0
W_{Ma}	92.02	0.0	0.0	0.0	0
O_{Ma}	39.92	58.74	27.99	65.07	25
Y_{Ma}	81.26	−2.89	71.56	71.62	92
L_{Ma}	52.23	−42.42	13.6	44.55	162
V_{Ma}	30.57	1.41	−46.47	46.49	272

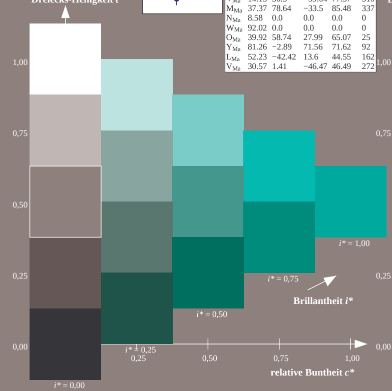

Daten für Maximalfarbe (Ma):
*LAB*LAB**$_{Ma}$: 50 −41 −4
*LAB*LCH**$_{Ma}$: 50 41 185
*lab*olv**$_{Ma}$: 0.0 1.0 0.5
*lab*rgb**$_{Ma}$: 0.0 1.0 0.42
Dreiecks-Helligkeit t*

%Umfang
u^*_{rel} = 109
%Regularität
$g^*_{H,rel}$ = 31
$g^*_{C,rel}$ = 40

FRS09_92aM; adaptierte CIELAB-Daten						
u^*_d	$L^*=L^*_a$	a^*_a	b^*_a	$C^*_{ab,a}$	$h^*_{ab,a}$	u^*_e
o00y	35.06	60.0	44.0	74.4	36	r16j
o25y	44.68	47.13	56.9	73.88	50	r37j
o50y	54.77	33.62	70.44	78.05	64	r58j
o75y	66.84	17.48	86.62	88.37	79	r79j
y00l	83.77	−5.17	109.32	109.44	93	j01g
y25l	70.71	−24.12	89.19	92.39	105	j18g
y50l	60.76	−38.55	73.86	83.32	118	j36g
y75l	52.23	−50.92	60.72	79.25	130	j53g
l00c	44.13	−62.67	48.24	79.09	142	j71g
l50c	49.64	−41.0	−3.61	41.16	185	g21b
c00v	52.66	−29.14	−31.99	43.27	228	g60b
c50v	38.87	−0.69	−41.67	41.68	269	g97b
v00m	14.15	50.3	−59.04	77.57	310	b34r
v50m	25.2	63.79	−46.89	79.17	324	b45r
m00o	37.37	78.64	−33.5	85.48	337	b57r
m50o	36.13	68.67	7.94	69.13	7	b83r

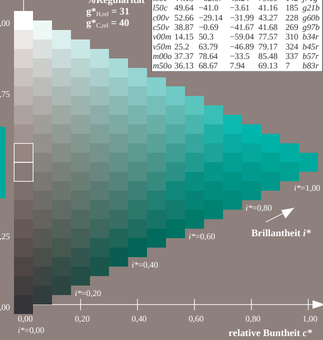

Ein und Ausgabe: Farbmetrisches Drucker-Reflektiv-System FRS09_92aM für relativen CIELAB-Buntton $h^* = lab^*h^* = h_{ab}/360 = 0.632$ *u^*_d = c00v*

Daten für jede Farbe:
*lab*tch** und *lab*icu**
Bunttontexte:
u^*_d = c00v *u^*_e = g60b*
Kontrastreduzierungsfaktor:
$c_R = 1.0$
Dreiecks-Helligkeit t*

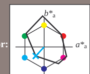

FRS09_92aM; adaptierte CIELAB-Daten					
u^*_d	$L^*=L^*_a$	a^*_a	b^*_a	$C^*_{ab,a}$	$h^*_{ab,a}$
O_{Ma}	35.06	60.0	44.0	74.4	36
Y_{Ma}	83.77	−5.17	109.32	109.44	93
L_{Ma}	44.13	−62.67	48.24	79.09	142
C_{Ma}	52.66	−29.14	−31.99	43.27	228
V_{Ma}	14.15	50.3	−59.04	77.57	310
M_{Ma}	37.37	78.64	−33.5	85.48	337
N_{Ma}	8.58	0.0	0.0	0.0	0
W_{Ma}	92.02	0.0	0.0	0.0	0
O_{Ma}	39.92	58.74	27.99	65.07	25
Y_{Ma}	81.26	−2.89	71.56	71.62	92
L_{Ma}	52.23	−42.42	13.6	44.55	162
V_{Ma}	30.57	1.41	−46.47	46.49	272

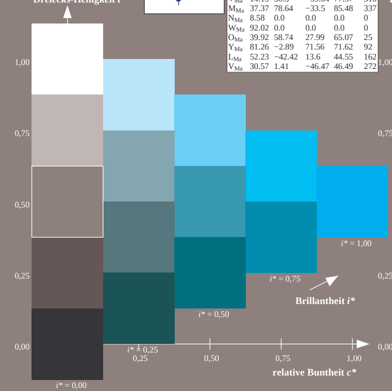

Daten für Maximalfarbe (Ma):
*LAB*LAB**$_{Ma}$: 53 −29 −32
*LAB*LCH**$_{Ma}$: 53 43 227
*lab*olv**$_{Ma}$: 0.0 1.0 1.0
*lab*rgb**$_{Ma}$: 0.0 0.8 1.0
Dreiecks-Helligkeit t*

%Umfang
u^*_{rel} = 109
%Regularität
$g^*_{H,rel}$ = 31
$g^*_{C,rel}$ = 40

FRS09_92aM; adaptierte CIELAB-Daten						
u^*_d	$L^*=L^*_a$	a^*_a	b^*_a	$C^*_{ab,a}$	$h^*_{ab,a}$	u^*_e
o00y	35.06	60.0	44.0	74.4	36	r16j
o25y	44.68	47.13	56.9	73.88	50	r37j
o50y	54.77	33.62	70.44	78.05	64	r58j
o75y	66.84	17.48	86.62	88.37	79	r79j
y00l	83.77	−5.17	109.32	109.44	93	j01g
y25l	70.71	−24.12	89.19	92.39	105	j18g
y50l	60.76	−38.55	73.86	83.32	118	j36g
y75l	52.23	−50.92	60.72	79.25	130	j53g
l00c	44.13	−62.67	48.24	79.09	142	j71g
l50c	49.64	−41.0	−3.61	41.16	185	g21b
c00v	52.66	−29.14	−31.99	43.27	228	g60b
c50v	38.87	−0.69	−41.67	41.68	269	g97b
v00m	14.15	50.3	−59.04	77.57	310	b34r
v50m	25.2	63.79	−46.89	79.17	324	b45r
m00o	37.37	78.64	−33.5	85.48	337	b57r
m50o	36.13	68.67	7.94	69.13	7	b83r

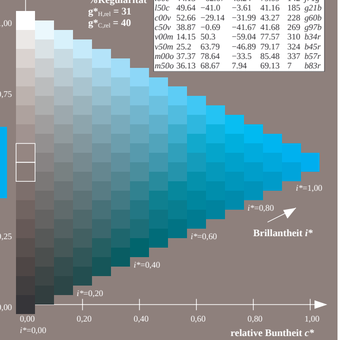

Ein und Ausgabe: Farbmetrisches Drucker-Reflektiv-System FRS09_92aM für relativen CIELAB-Buntton $h^* = lab^*h^* = h_{ab}/360 = 0.747$ *u^*_d = c50v*

Daten für jede Farbe:
*lab*tch** und *lab*icu**
Bunttontexte:
u^*_d = c50v *u^*_e = g97b*
Kontrastreduzierungsfaktor:
$c_R = 1.0$
Dreiecks-Helligkeit t*

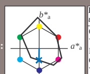

FRS09_92aM; adaptierte CIELAB-Daten					
u^*_d	$L^*=L^*_a$	a^*_a	b^*_a	$C^*_{ab,a}$	$h^*_{ab,a}$
O_{Ma}	35.06	60.0	44.0	74.4	36
Y_{Ma}	83.77	−5.17	109.32	109.44	93
L_{Ma}	44.13	−62.67	48.24	79.09	142
C_{Ma}	52.66	−29.14	−31.99	43.27	228
V_{Ma}	14.15	50.3	−59.04	77.57	310
M_{Ma}	37.37	78.64	−33.5	85.48	337
N_{Ma}	8.58	0.0	0.0	0.0	0
W_{Ma}	92.02	0.0	0.0	0.0	0
O_{Ma}	39.92	58.74	27.99	65.07	25
Y_{Ma}	81.26	−2.89	71.56	71.62	92
L_{Ma}	52.23	−42.42	13.6	44.55	162
V_{Ma}	30.57	1.41	−46.47	46.49	272

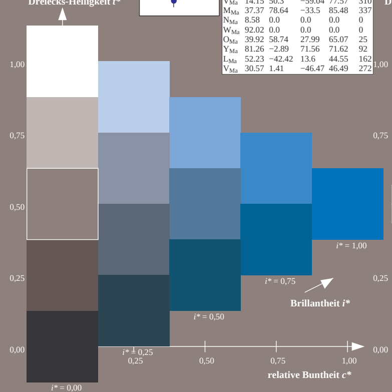

Daten für Maximalfarbe (Ma):
*LAB*LAB**$_{Ma}$: 39 −1 −42
*LAB*LCH**$_{Ma}$: 39 42 269
*lab*olv**$_{Ma}$: 0.0 0.5 1.0
*lab*rgb**$_{Ma}$: 0.0 0.05 1.0
Dreiecks-Helligkeit t*

%Umfang
u^*_{rel} = 109
%Regularität
$g^*_{H,rel}$ = 31
$g^*_{C,rel}$ = 40

FRS09_92aM; adaptierte CIELAB-Daten						
u^*_d	$L^*=L^*_a$	a^*_a	b^*_a	$C^*_{ab,a}$	$h^*_{ab,a}$	u^*_e
o00y	35.06	60.0	44.0	74.4	36	r16j
o25y	44.68	47.13	56.9	73.88	50	r37j
o50y	54.77	33.62	70.44	78.05	64	r58j
o75y	66.84	17.48	86.62	88.37	79	r79j
y00l	83.77	−5.17	109.32	109.44	93	j01g
y25l	70.71	−24.12	89.19	92.39	105	j18g
y50l	60.76	−38.55	73.86	83.32	118	j36g
y75l	52.23	−50.92	60.72	79.25	130	j53g
l00c	44.13	−62.67	48.24	79.09	142	j71g
l50c	49.64	−41.0	−3.61	41.16	185	g21b
c00v	52.66	−29.14	−31.99	43.27	228	g60b
c50v	38.87	−0.69	−41.67	41.68	269	g97b
v00m	14.15	50.3	−59.04	77.57	310	b34r
v50m	25.2	63.79	−46.89	79.17	324	b45r
m00o	37.37	78.64	−33.5	85.48	337	b57r
m50o	36.13	68.67	7.94	69.13	7	b83r

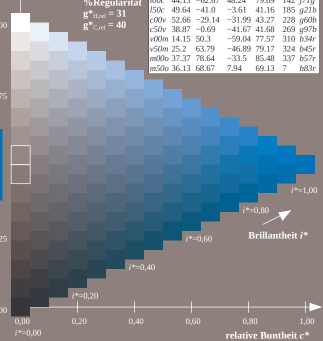

Ein und Ausgabe: Farbmetrisches Drucker-Reflektiv-System FRS09_92aM für relativen CIELAB-Buntton $h^* = lab^*h^* = h_{ab}/360 = 0.862$ *u^*_d = v00m*

Daten für jede Farbe:
*lab*tch** und *lab*icu**
Bunttontexte:
u^*_d = v00m *u^*_e = b34r*
Kontrastreduzierungsfaktor:
$c_R = 1.0$
Dreiecks-Helligkeit t*

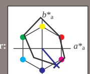

FRS09_92aM; adaptierte CIELAB-Daten					
u^*_d	$L^*=L^*_a$	a^*_a	b^*_a	$C^*_{ab,a}$	$h^*_{ab,a}$
O_{Ma}	35.06	60.0	44.0	74.4	36
Y_{Ma}	83.77	−5.17	109.32	109.44	93
L_{Ma}	44.13	−62.67	48.24	79.09	142
C_{Ma}	52.66	−29.14	−31.99	43.27	228
V_{Ma}	14.15	50.3	−59.04	77.57	310
M_{Ma}	37.37	78.64	−33.5	85.48	337
N_{Ma}	8.58	0.0	0.0	0.0	0
W_{Ma}	92.02	0.0	0.0	0.0	0
O_{Ma}	39.92	58.74	27.99	65.07	25
Y_{Ma}	81.26	−2.89	71.56	71.62	92
L_{Ma}	52.23	−42.42	13.6	44.55	162
V_{Ma}	30.57	1.41	−46.47	46.49	272

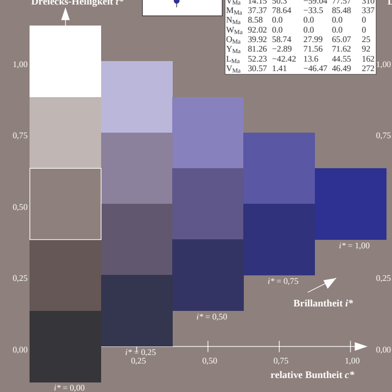

Daten für Maximalfarbe (Ma):
*LAB*LAB**$_{Ma}$: 14 50 −59
*LAB*LCH**$_{Ma}$: 14 78 310
*lab*olv**$_{Ma}$: 0.0 0.0 1.0
*lab*rgb**$_{Ma}$: 0.68 0.0 1.0
Dreiecks-Helligkeit t*

%Umfang
u^*_{rel} = 109
%Regularität
$g^*_{H,rel}$ = 31
$g^*_{C,rel}$ = 40

FRS09_92aM; adaptierte CIELAB-Daten						
u^*_d	$L^*=L^*_a$	a^*_a	b^*_a	$C^*_{ab,a}$	$h^*_{ab,a}$	u^*_e
o00y	35.06	60.0	44.0	74.4	36	r16j
o25y	44.68	47.13	56.9	73.88	50	r37j
o50y	54.77	33.62	70.44	78.05	64	r58j
o75y	66.84	17.48	86.62	88.37	79	r79j
y00l	83.77	−5.17	109.32	109.44	93	j01g
y25l	70.71	−24.12	89.19	92.39	105	j18g
y50l	60.76	−38.55	73.86	83.32	118	j36g
y75l	52.23	−50.92	60.72	79.25	130	j53g
l00c	44.13	−62.67	48.24	79.09	142	j71g
l50c	49.64	−41.0	−3.61	41.16	185	g21b
c00v	52.66	−29.14	−31.99	43.27	228	g60b
c50v	38.87	−0.69	−41.67	41.68	269	g97b
v00m	14.15	50.3	−59.04	77.57	310	b34r
v50m	25.2	63.79	−46.89	79.17	324	b45r
m00o	37.37	78.64	−33.5	85.48	337	b57r
m50o	36.13	68.67	7.94	69.13	7	b83r

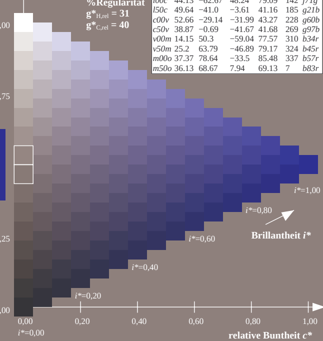

Ein und Ausgabe: Farbmetrisches Drucker-Reflektiv-System FRS09_92aM für relativen CIELAB-Buntton $h^* = lab^*h^* = h_{ab}/360 = 0.899$ *u^*_d = v50m*

Daten für jede Farbe:
*lab*tch** und *lab*icu**
Bunttontexte:
u^*_d = v50m *u^*_e = b45r*
Kontrastreduzierungsfaktor:
$c_R = 1.0$
Dreiecks-Helligkeit t*

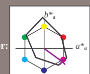

FRS09_92aM; adaptierte CIELAB-Daten					
u^*_d	$L^*=L^*_a$	a^*_a	b^*_a	$C^*_{ab,a}$	$h^*_{ab,a}$
O_{Ma}	35.06	60.0	44.0	74.4	36
Y_{Ma}	83.77	−5.17	109.32	109.44	93
L_{Ma}	44.13	−62.67	48.24	79.09	142
C_{Ma}	52.66	−29.14	−31.99	43.27	228
V_{Ma}	14.15	50.3	−59.04	77.57	310
M_{Ma}	37.37	78.64	−33.5	85.48	337
N_{Ma}	8.58	0.0	0.0	0.0	0
W_{Ma}	92.02	0.0	0.0	0.0	0
O_{Ma}	39.92	58.74	27.99	65.07	25
Y_{Ma}	81.26	−2.89	71.56	71.62	92
L_{Ma}	52.23	−42.42	13.6	44.55	162
V_{Ma}	30.57	1.41	−46.47	46.49	272

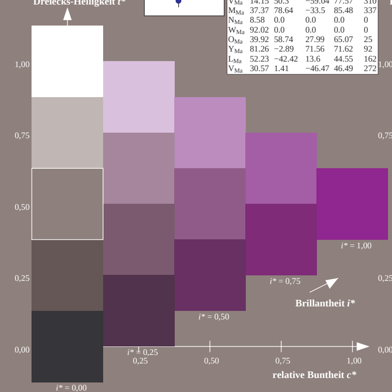

Daten für Maximalfarbe (Ma):
*LAB*LAB**$_{Ma}$: 25 64 −47
*LAB*LCH**$_{Ma}$: 25 79 323
*lab*olv**$_{Ma}$: 0.5 0.0 1.0
*lab*rgb**$_{Ma}$: 0.91 0.0 1.0
Dreiecks-Helligkeit t*

%Umfang
u^*_{rel} = 109
%Regularität
$g^*_{H,rel}$ = 31
$g^*_{C,rel}$ = 40

FRS09_92aM; adaptierte CIELAB-Daten						
u^*_d	$L^*=L^*_a$	a^*_a	b^*_a	$C^*_{ab,a}$	$h^*_{ab,a}$	u^*_e
o00y	35.06	60.0	44.0	74.4	36	r16j
o25y	44.68	47.13	56.9	73.88	50	r37j
o50y	54.77	33.62	70.44	78.05	64	r58j
o75y	66.84	17.48	86.62	88.37	79	r79j
y00l	83.77	−5.17	109.32	109.44	93	j01g
y25l	70.71	−24.12	89.19	92.39	105	j18g
y50l	60.76	−38.55	73.86	83.32	118	j36g
y75l	52.23	−50.92	60.72	79.25	130	j53g
l00c	44.13	−62.67	48.24	79.09	142	j71g
l50c	49.64	−41.0	−3.61	41.16	185	g21b
c00v	52.66	−29.14	−31.99	43.27	228	g60b
c50v	38.87	−0.69	−41.67	41.68	269	g97b
v00m	14.15	50.3	−59.04	77.57	310	b34r
v50m	25.2	63.79	−46.89	79.17	324	b45r
m00o	37.37	78.64	−33.5	85.48	337	b57r
m50o	36.13	68.67	7.94	69.13	7	b83r

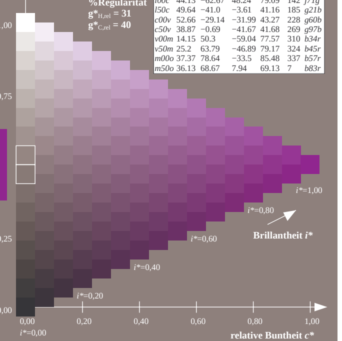

Ein und Ausgabe: Farbmetrisches Drucker-Reflektiv-System FRS09_92aM für relativen CIELAB-Buntton $h^* = lab^*h^* = h_{ab}/360 = 0.936$ *u^*_d = m00o*

Daten für jede Farbe:
*lab*tch** und *lab*icu**
Bunttontexte:
u^*_d = m00o *u^*_e = b57r*
Kontrastreduzierungsfaktor:
$c_R = 1.0$
Dreiecks-Helligkeit t*

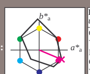

FRS09_92aM; adaptierte CIELAB-Daten					
u^*_d	$L^*=L^*_a$	a^*_a	b^*_a	$C^*_{ab,a}$	$h^*_{ab,a}$
O_{Ma}	35.06	60.0	44.0	74.4	36
Y_{Ma}	83.77	−5.17	109.32	109.44	93
L_{Ma}	44.13	−62.67	48.24	79.09	142
C_{Ma}	52.66	−29.14	−31.99	43.27	228
V_{Ma}	14.15	50.3	−59.04	77.57	310
M_{Ma}	37.37	78.64	−33.5	85.48	337
N_{Ma}	8.58	0.0	0.0	0.0	0
W_{Ma}	92.02	0.0	0.0	0.0	0
O_{Ma}	39.92	58.74	27.99	65.07	25
Y_{Ma}	81.26	−2.89	71.56	71.62	92
L_{Ma}	52.23	−42.42	13.6	44.55	162
V_{Ma}	30.57	1.41	−46.47	46.49	272

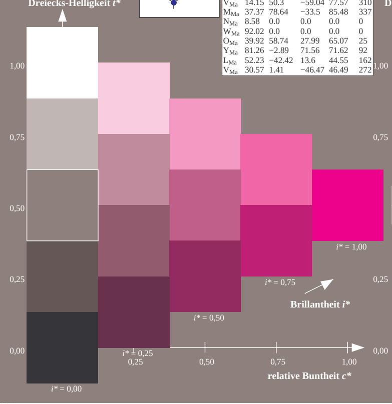

Daten für Maximalfarbe (Ma):
*LAB*LAB**$_{Ma}$: 37 79 −34
*LAB*LCH**$_{Ma}$: 37 85 336
*lab*olv**$_{Ma}$: 1.0 0.0 1.0
*lab*rgb**$_{Ma}$: 1.0 0.0 0.85
Dreiecks-Helligkeit t*

%Umfang
u^*_{rel} = 109
%Regularität
$g^*_{H,rel}$ = 31
$g^*_{C,rel}$ = 40

FRS09_92aM; adaptierte CIELAB-Daten						
u^*_d	$L^*=L^*_a$	a^*_a	b^*_a	$C^*_{ab,a}$	$h^*_{ab,a}$	u^*_e
o00y	35.06	60.0	44.0	74.4	36	r16j
o25y	44.68	47.13	56.9	73.88	50	r37j
o50y	54.77	33.62	70.44	78.05	64	r58j
o75y	66.84	17.48	86.62	88.37	79	r79j
y00l	83.77	−5.17	109.32	109.44	93	j01g
y25l	70.71	−24.12	89.19	92.39	105	j18g
y50l	60.76	−38.55	73.86	83.32	118	j36g
y75l	52.23	−50.92	60.72	79.25	130	j53g
l00c	44.13	−62.67	48.24	79.09	142	j71g
l50c	49.64	−41.0	−3.61	41.16	185	g21b
c00v	52.66	−29.14	−31.99	43.27	228	g60b
c50v	38.87	−0.69	−41.67	41.68	269	g97b
v00m	14.15	50.3	−59.04	77.57	310	b34r
v50m	25.2	63.79	−46.89	79.17	324	b45r
m00o	37.37	78.64	−33.5	85.48	337	b57r
m50o	36.13	68.67	7.94	69.13	7	b83r

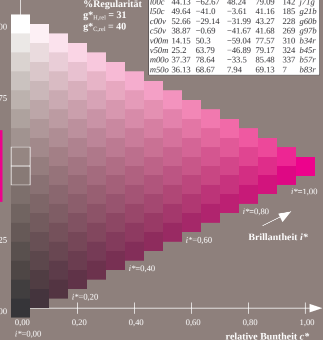

Ein und Ausgabe: Farbmetrisches Drucker-Reflektiv-System FRS09_92aM für relativen CIELAB-Buntton $h^* = lab^*h^* = h_{ab}/360 = 0.018$ *u^*_d = m50o*

Daten für jede Farbe:
*lab*tch** und *lab*icu**
Bunttontexte:
u^*_d = m50o *u^*_e = b83r*
Kontrastreduzierungsfaktor:
$c_R = 1.0$
Dreiecks-Helligkeit t*

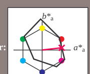

FRS09_92aM; adaptierte CIELAB-Daten					
u^*_d	$L^*=L^*_a$	a^*_a	b^*_a	$C^*_{ab,a}$	$h^*_{ab,a}$
O_{Ma}	35.06	60.0	44.0	74.4	36
Y_{Ma}	83.77	−5.17	109.32	109.44	93
L_{Ma}	44.13	−62.67	48.24	79.09	142
C_{Ma}	52.66	−29.14	−31.99	43.27	228
V_{Ma}	14.15	50.3	−59.04	77.57	310
M_{Ma}	37.37	78.64	−33.5	85.48	337
N_{Ma}	8.58	0.0	0.0	0.0	0
W_{Ma}	92.02	0.0	0.0	0.0	0
O_{Ma}	39.92	58.74	27.99	65.07	25
Y_{Ma}	81.26	−2.89	71.56	71.62	92
L_{Ma}	52.23	−42.42	13.6	44.55	162
V_{Ma}	30.57	1.41	−46.47	46.49	272

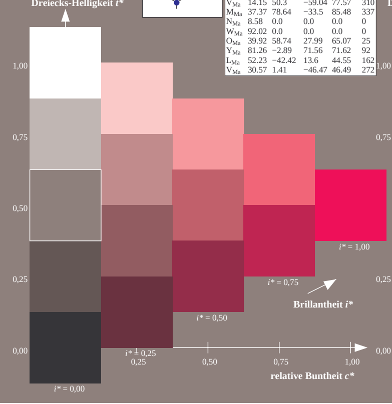

Daten für Maximalfarbe (Ma):
*LAB*LAB**$_{Ma}$: 36 69 8
*LAB*LCH**$_{Ma}$: 36 69 6
*lab*olv**$_{Ma}$: 1.0 0.0 0.5
*lab*rgb**$_{Ma}$: 1.0 0.0 0.33
Dreiecks-Helligkeit t*

%Umfang
u^*_{rel} = 109
%Regularität
$g^*_{H,rel}$ = 31
$g^*_{C,rel}$ = 40

FRS09_92aM; adaptierte CIELAB-Daten						
u^*_d	$L^*=L^*_a$	a^*_a	b^*_a	$C^*_{ab,a}$	$h^*_{ab,a}$	u^*_e
o00y	35.06	60.0	44.0	74.4	36	r16j
o25y	44.68	47.13	56.9	73.88	50	r37j
o50y	54.77	33.62	70.44	78.05	64	r58j
o75y	66.84	17.48	86.62	88.37	79	r79j
y00l	83.77	−5.17	109.32	109.44	93	j01g
y25l	70.71	−24.12	89.19	92.39	105	j18g
y50l	60.76	−38.55	73.86	83.32	118	j36g
y75l	52.23	−50.92	60.72	79.25	130	j53g
l00c	44.13	−62.67	48.24	79.09	142	j71g
l50c	49.64	−41.0	−3.61	41.16	185	g21b
c00v	52.66	−29.14	−31.99	43.27	228	g60b
c50v	38.87	−0.69	−41.67	41.68	269	g97b
v00m	14.15	50.3	−59.04	77.57	310	b34r
v50m	25.2	63.79	−46.89	79.17	324	b45r
m00o	37.37	78.64	−33.5	85.48	337	b57r
m50o	36.13	68.67	7.94	69.13	7	b83r

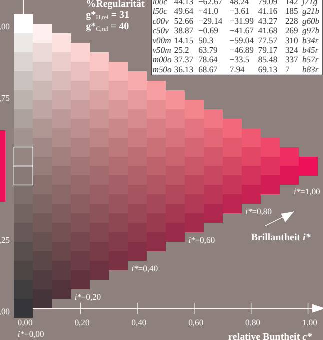

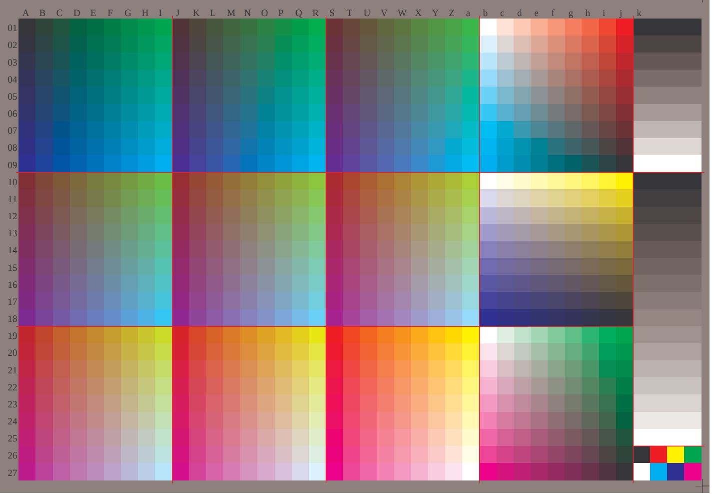

Ein und Ausgabe: Farbmetrisches Drucker-Reflektiv-System FRS09_92aM für relativen CIELAB-Buntton $h^* = lab^*h^* = h_{ab}/360 = 0.396$ $u^*_d = l00c$ lab^*ov^*

Daten für jede Farbe: lab^*ch^* und lab^*cu^* Benttontexte: $u^*_d = l00c$ $u^*_e = j71g$ Kontrastreduzierungsfaktor: $c_R = 1.0$ Dreiecks-Helligkeit t^*

Daten für Maximalfarbe (Ma): $LAB^*LAB^*_{Ma}$: 44 −63 48 $LAB^*LCH^*_{Ma}$: 44 79 142 $lab^*ov^*_{Ma}$: 0.0 1.0 0.0 $lab^*rgb^*_{Ma}$: 0.28 1.0 0.0 Dreiecks-Helligkeit t^*

%Umfang $u^*_{vo} = 109$ %Regularität $g^*_{H,rel} = 31$ $g^*_{C,rel} = 40$

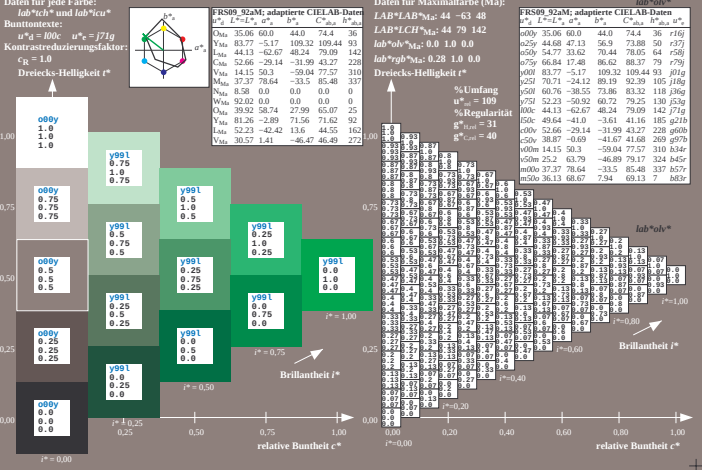

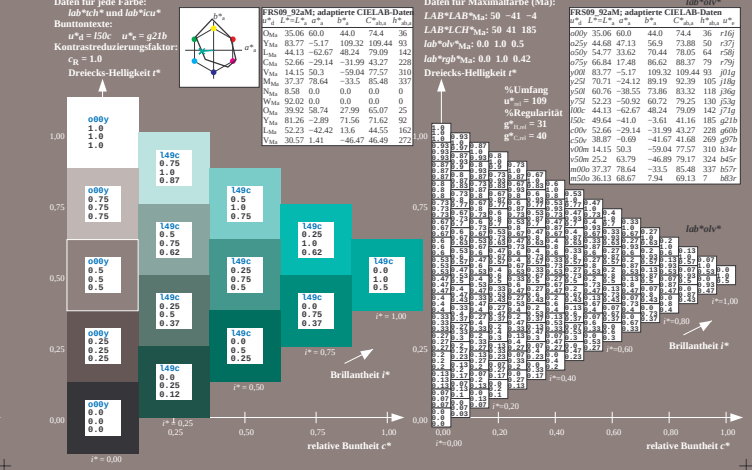

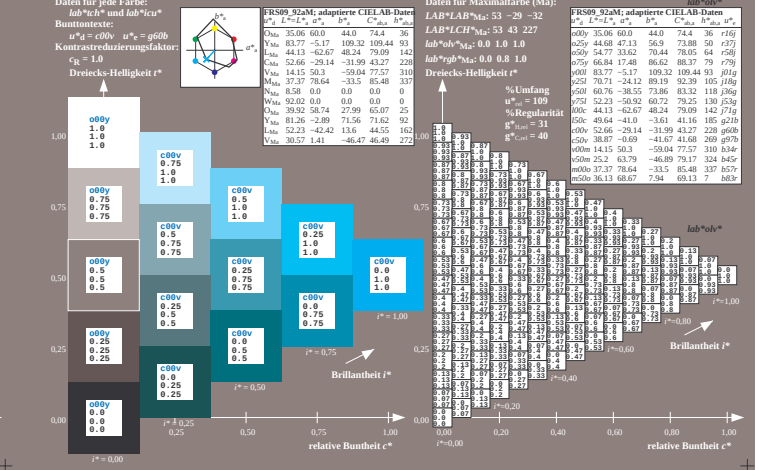

Ein und Ausgabe: Farbmetrisches Drucker-Reflektiv-System FRS09_92aM für relativen CIELAB-Buntton $h^* = lab^*h^* = h_{ab}/360 = 0.747$ $u^*_d = c50v$ lab^*ov^*

Daten für jede Farbe: lab^*ch^* und lab^*cu^* Benttontexte: $u^*_d = c50v$ $u^*_e = g97b$ Kontrastreduzierungsfaktor: $c_R = 1.0$ Dreiecks-Helligkeit t^*

Daten für Maximalfarbe (Ma): $LAB^*LAB^*_{Ma}$: 39 −1 −42 $LAB^*LCH^*_{Ma}$: 39 42 269 $lab^*ov^*_{Ma}$: 0.0 0.5 1.0 $lab^*rgb^*_{Ma}$: 0.0 0.05 1.0 Dreiecks-Helligkeit t^*

%Umfang $u^*_{vo} = 109$ %Regularität $g^*_{H,rel} = 31$ $g^*_{C,rel} = 40$

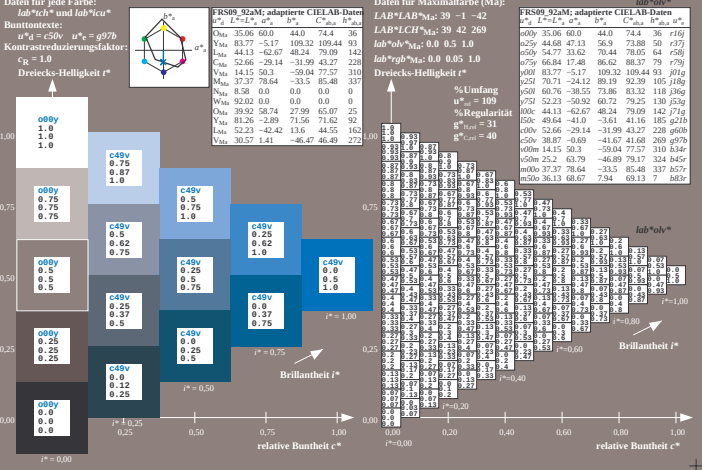

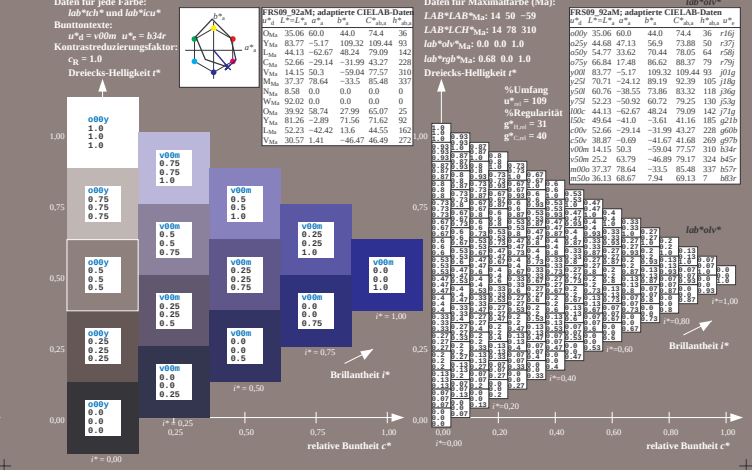

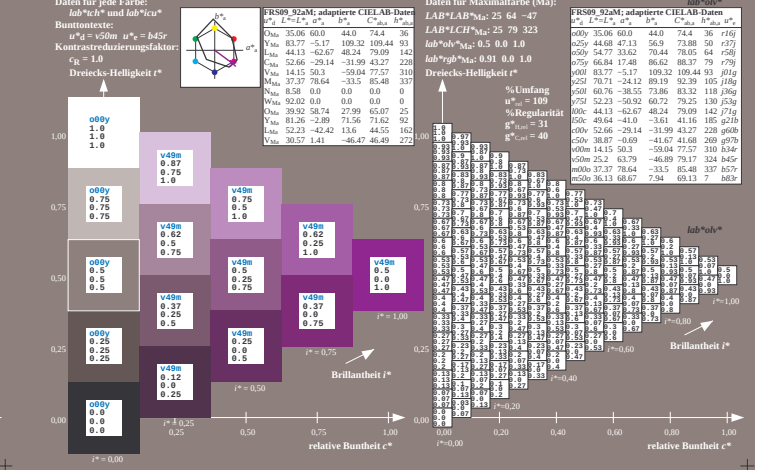

Ein und Ausgabe: Farbmetrisches Drucker-Reflektiv-System FRS09_92aM für relativen CIELAB-Buntton $h^* = lab^*h^* = h_{ab}/360 = 0.936$ $u^*_d = m00a$ lab^*ov^*

Daten für jede Farbe: lab^*ch^* und lab^*cu^* Benttontexte: $u^*_d = m00a$ $u^*_e = b57r$ Kontrastreduzierungsfaktor: $c_R = 1.0$ Dreiecks-Helligkeit t^*

Daten für Maximalfarbe (Ma): $LAB^*LAB^*_{Ma}$: 37 79 −34 $LAB^*LCH^*_{Ma}$: 37 85 336 $lab^*ov^*_{Ma}$: 1.0 0.0 1.0 $lab^*rgb^*_{Ma}$: 1.0 0.0 0.85 Dreiecks-Helligkeit t^*

%Umfang $u^*_{vo} = 109$ %Regularität $g^*_{H,rel} = 31$ $g^*_{C,rel} = 40$

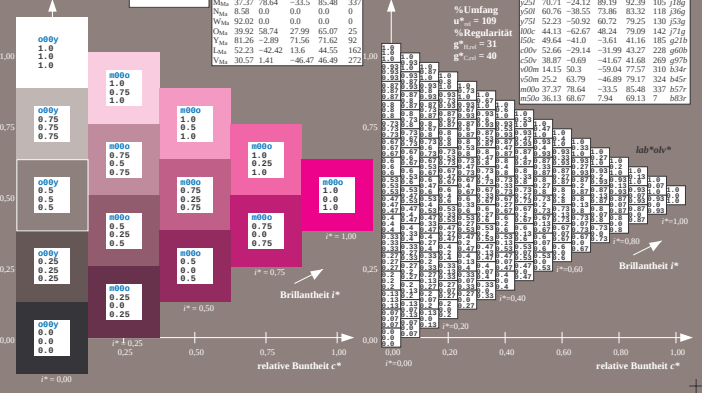

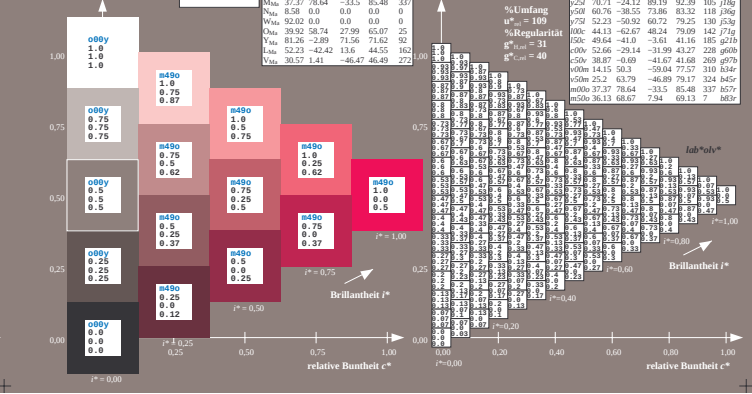

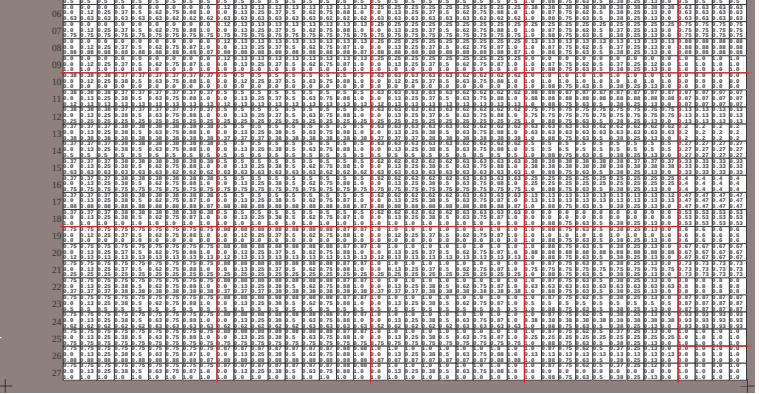

Ein und Ausgabe: Farbmetrisches Drucker-Reflektiv-System FRS09_92aM für relativen CIELAB-Buntton $h^* = lab^*h^* = h_{ab}/360 = 0.514$ $u^*_d = l50c$ lab^*ov^*

Daten für jede Farbe: lab^*ch^* und lab^*cu^* Benttontexte: $u^*_d = l50c$ $u^*_e = g21b$ Kontrastreduzierungsfaktor: $c_R = 1.0$ Dreiecks-Helligkeit t^*

Daten für Maximalfarbe (Ma): $LAB^*LAB^*_{Ma}$: 50 −41 −4 $LAB^*LCH^*_{Ma}$: 50 41 185 $lab^*ov^*_{Ma}$: 0.0 1.0 0.5 $lab^*rgb^*_{Ma}$: 0.0 1.0 0.42 Dreiecks-Helligkeit t^*

%Umfang $u^*_{vo} = 109$ %Regularität $g^*_{H,rel} = 31$ $g^*_{C,rel} = 40$

Ein und Ausgabe: Farbmetrisches Drucker-Reflektiv-System FRS09_92aM für relativen CIELAB-Buntton $h^* = lab^*h^* = h_{ab}/360 = 0.862$ $u^*_d = v00m$ lab^*ov^*

Daten für jede Farbe: lab^*ch^* und lab^*cu^* Benttontexte: $u^*_d = v00m$ $u^*_e = b34r$ Kontrastreduzierungsfaktor: $c_R = 1.0$ Dreiecks-Helligkeit t^*

Daten für Maximalfarbe (Ma): $LAB^*LAB^*_{Ma}$: 14 50 −59 $LAB^*LCH^*_{Ma}$: 14 78 310 $lab^*ov^*_{Ma}$: 0.0 0.0 1.0 $lab^*rgb^*_{Ma}$: 0.68 0.0 1.0 Dreiecks-Helligkeit t^*

%Umfang $u^*_{vo} = 109$ %Regularität $g^*_{H,rel} = 31$ $g^*_{C,rel} = 40$

Ein und Ausgabe: Farbmetrisches Drucker-Reflektiv-System FRS09_92aM für relativen CIELAB-Buntton $h^* = lab^*h^* = h_{ab}/360 = 0.899$ $u^*_d = v50m$ lab^*ov^*

Daten für jede Farbe: lab^*ch^* und lab^*cu^* Benttontexte: $u^*_d = v50m$ $u^*_e = b45r$ Kontrastreduzierungsfaktor: $c_R = 1.0$ Dreiecks-Helligkeit t^*

Daten für Maximalfarbe (Ma): $LAB^*LAB^*_{Ma}$: 25 64 −47 $LAB^*LCH^*_{Ma}$: 25 79 323 $lab^*ov^*_{Ma}$: 0.5 0.0 1.0 $lab^*rgb^*_{Ma}$: 0.91 0.0 1.0 Dreiecks-Helligkeit t^*

%Umfang $u^*_{vo} = 109$ %Regularität $g^*_{H,rel} = 31$ $g^*_{C,rel} = 40$

Ein und Ausgabe: Farbmetrisches Drucker-Reflektiv-System FRS09_92aM für relativen CIELAB-Buntton $h^* = lab^*h^* = h_{ab}/360 = 0.018$ $u^*_d = m50a$ lab^*ov^*

Daten für jede Farbe: lab^*ch^* und lab^*cu^* Benttontexte: $u^*_d = m50a$ $u^*_e = b83r$ Kontrastreduzierungsfaktor: $c_R = 1.0$ Dreiecks-Helligkeit t^*

Daten für Maximalfarbe (Ma): $LAB^*LAB^*_{Ma}$: 36 69 8 $LAB^*LCH^*_{Ma}$: 36 69 6 $lab^*ov^*_{Ma}$: 1.0 0.0 0.5 $lab^*rgb^*_{Ma}$: 1.0 0.0 0.33 Dreiecks-Helligkeit t^*

%Umfang $u^*_{vo} = 109$ %Regularität $g^*_{H,rel} = 31$ $g^*_{C,rel} = 40$

Ein und Ausgabe: Farbmetrisches Drucker-Reflektiv-System FRS09_92aM für relativen CIELAB-Buntton $h^* = lab^*h^* = h_{ab}/360 = 0.396$

$u^*_d = l00c$ *lab*rgb**

Daten für jede Farbe:
*lab*tch** und *lab*icu**
Bunttontexte:
$u^*_d = l00c$ $u^*_e = j71g$
Kontrastreduzierungsfaktor:
$c_R = 1.0$
Dreiecks-Helligkeit t^*

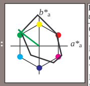

FRS09_92aM; adaptierte CIELAB-Daten					
u^*_d	$L^*=L^*_a$	a^*_a	b^*_a	$C^*_{ab,a}$	$h^*_{ab,a}$
O_{Ma}	35.06	60.0	44.0	74.4	36
Y_{Ma}	83.77	−5.17	109.32	109.44	93
L_{Ma}	44.13	−62.67	48.24	79.09	142
C_{Ma}	52.66	−29.14	−31.99	43.27	228
V_{Ma}	14.15	50.3	−59.04	77.57	310
M_{Ma}	37.37	78.64	−33.5	85.48	337
N_{Ma}	8.58	0.0	0.0	0.0	0
W_{Ma}	92.02	0.0	0.0	0.0	0
O_{Ma}	39.92	58.74	27.99	65.07	25
Y_{Ma}	81.26	−2.89	71.56	71.62	92
L_{Ma}	52.23	−42.42	13.6	44.55	162
V_{Ma}	30.57	1.41	−46.47	46.49	272

Daten für Maximalfarbe (Ma):
*LAB*LAB**$_{Ma}$: 44 −63 48
*LAB*LCH**$_{Ma}$: 44 79 142
*lab*olv**$_{Ma}$: 0.0 1.0 0.0
*lab*rgb**$_{Ma}$: 0.28 1.0 0.0
Dreiecks-Helligkeit t^*

FRS09_92aM; adaptierte CIELAB-Daten						
u^*_d	$L^*=L^*_a$	a^*_a	b^*_a	$C^*_{ab,a}$	$h^*_{ab,a}$	u^*_e
o00y	35.06	60.0	44.0	74.4	36	r16j
o25y	44.68	47.13	56.9	73.88	50	r37j
o50y	54.77	33.62	70.44	78.05	64	r58j
o75y	66.84	17.48	86.62	88.37	79	r79j
y00l	83.77	−5.17	109.32	109.44	93	j01g
y25l	70.71	−24.12	89.19	92.39	105	j18g
y50l	60.76	−38.55	73.86	83.32	118	j36g
y75l	52.23	−50.92	60.72	79.25	130	j53g
l00c	44.13	−62.67	48.24	79.09	142	j71g
l50c	49.64	−41.0	−3.61	41.16	185	g21b
c00v	52.66	−29.14	−31.99	43.27	228	g60b
c50v	38.87	−0.69	−41.67	41.68	269	g97b
v00m	14.15	50.3	−59.04	77.57	310	b34r
v50m	25.2	63.79	−46.89	79.17	324	b45r
m00o	37.37	78.64	−33.5	85.48	337	b57r
m50o	36.13	68.67	7.94	69.13	7	b83r

%Umfang
$u^*_{rel} = 109$
%Regularität
$g^*_{H,rel} = 31$
$g^*_{C,rel} = 40$

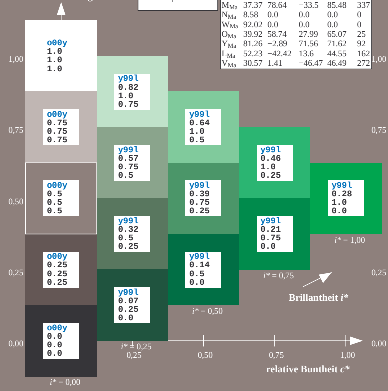

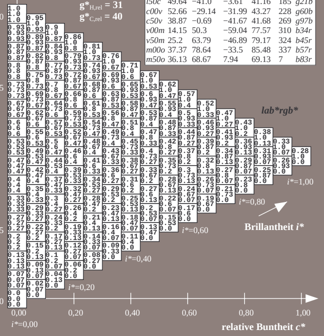

Ein und Ausgabe: Farbmetrisches Drucker-Reflektiv-System FRS09_92aM für relativen CIELAB-Buntton $h^* = lab^*h^* = h_{ab}/360 = 0.514$

$u^*_d = l50c$ *lab*rgb**

Daten für jede Farbe:
*lab*tch** und *lab*icu**
Bunttontexte:
$u^*_d = l50c$ $u^*_e = g21b$
Kontrastreduzierungsfaktor:
$c_R = 1.0$
Dreiecks-Helligkeit t^*

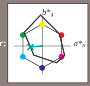

FRS09_92aM; adaptierte CIELAB-Daten					
u^*_d	$L^*=L^*_a$	a^*_a	b^*_a	$C^*_{ab,a}$	$h^*_{ab,a}$
O_{Ma}	35.06	60.0	44.0	74.4	36
Y_{Ma}	83.77	−5.17	109.32	109.44	93
L_{Ma}	44.13	−62.67	48.24	79.09	142
C_{Ma}	52.66	−29.14	−31.99	43.27	228
V_{Ma}	14.15	50.3	−59.04	77.57	310
M_{Ma}	37.37	78.64	−33.5	85.48	337
N_{Ma}	8.58	0.0	0.0	0.0	0
W_{Ma}	92.02	0.0	0.0	0.0	0
O_{Ma}	39.92	58.74	27.99	65.07	25
Y_{Ma}	81.26	−2.89	71.56	71.62	92
L_{Ma}	52.23	−42.42	13.6	44.55	162
V_{Ma}	30.57	1.41	−46.47	46.49	272

Daten für Maximalfarbe (Ma):
*LAB*LAB**$_{Ma}$: 50 −41 −4
*LAB*LCH**$_{Ma}$: 50 41 185
*lab*olv**$_{Ma}$: 0.0 1.0 0.5
*lab*rgb**$_{Ma}$: 0.0 1.0 0.42
Dreiecks-Helligkeit t^*

FRS09_92aM; adaptierte CIELAB-Daten						
u^*_d	$L^*=L^*_a$	a^*_a	b^*_a	$C^*_{ab,a}$	$h^*_{ab,a}$	u^*_e
o00y	35.06	60.0	44.0	74.4	36	r16j
o25y	44.68	47.13	56.9	73.88	50	r37j
o50y	54.77	33.62	70.44	78.05	64	r58j
o75y	66.84	17.48	86.62	88.37	79	r79j
y00l	83.77	−5.17	109.32	109.44	93	j01g
y25l	70.71	−24.12	89.19	92.39	105	j18g
y50l	60.76	−38.55	73.86	83.32	118	j36g
y75l	52.23	−50.92	60.72	79.25	130	j53g
l00c	44.13	−62.67	48.24	79.09	142	j71g
l50c	49.64	−41.0	−3.61	41.16	185	g21b
c00v	52.66	−29.14	−31.99	43.27	228	g60b
c50v	38.87	−0.69	−41.67	41.68	269	g97b
v00m	14.15	50.3	−59.04	77.57	310	b34r
v50m	25.2	63.79	−46.89	79.17	324	b45r
m00o	37.37	78.64	−33.5	85.48	337	b57r
m50o	36.13	68.67	7.94	69.13	7	b83r

%Umfang
$u^*_{rel} = 109$
%Regularität
$g^*_{H,rel} = 31$
$g^*_{C,rel} = 40$

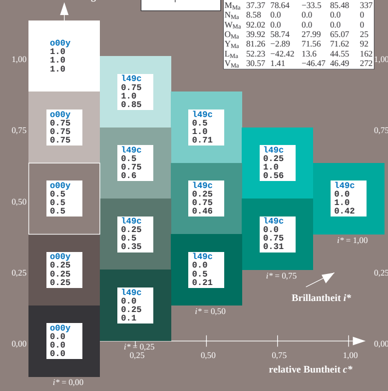

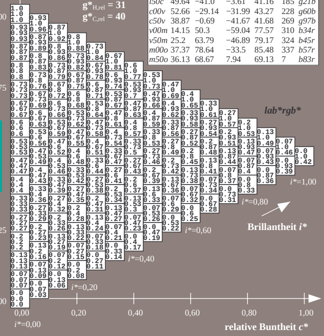

Ein und Ausgabe: Farbmetrisches Drucker-Reflektiv-System FRS09_92aM für relativen CIELAB-Buntton $h^* = lab^*h^* = h_{ab}/360 = 0.632$

$u^*_d = c00v$ *lab*rgb**

Daten für jede Farbe:
*lab*tch** und *lab*icu**
Bunttontexte:
$u^*_d = c00v$ $u^*_e = g60b$
Kontrastreduzierungsfaktor:
$c_R = 1.0$
Dreiecks-Helligkeit t^*

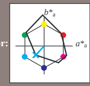

FRS09_92aM; adaptierte CIELAB-Daten					
u^*_d	$L^*=L^*_a$	a^*_a	b^*_a	$C^*_{ab,a}$	$h^*_{ab,a}$
O_{Ma}	35.06	60.0	44.0	74.4	36
Y_{Ma}	83.77	−5.17	109.32	109.44	93
L_{Ma}	44.13	−62.67	48.24	79.09	142
C_{Ma}	52.66	−29.14	−31.99	43.27	228
V_{Ma}	14.15	50.3	−59.04	77.57	310
M_{Ma}	37.37	78.64	−33.5	85.48	337
N_{Ma}	8.58	0.0	0.0	0.0	0
W_{Ma}	92.02	0.0	0.0	0.0	0
O_{Ma}	39.92	58.74	27.99	65.07	25
Y_{Ma}	81.26	−2.89	71.56	71.62	92
L_{Ma}	52.23	−42.42	13.6	44.55	162
V_{Ma}	30.57	1.41	−46.47	46.49	272

Daten für Maximalfarbe (Ma):
*LAB*LAB**$_{Ma}$: 53 −29 −32
*LAB*LCH**$_{Ma}$: 53 43 227
*lab*olv**$_{Ma}$: 0.0 1.0 1.0
*lab*rgb**$_{Ma}$: 0.0 0.8 1.0
Dreiecks-Helligkeit t^*

FRS09_92aM; adaptierte CIELAB-Daten						
u^*_d	$L^*=L^*_a$	a^*_a	b^*_a	$C^*_{ab,a}$	$h^*_{ab,a}$	u^*_e
o00y	35.06	60.0	44.0	74.4	36	r16j
o25y	44.68	47.13	56.9	73.88	50	r37j
o50y	54.77	33.62	70.44	78.05	64	r58j
o75y	66.84	17.48	86.62	88.37	79	r79j
y00l	83.77	−5.17	109.32	109.44	93	j01g
y25l	70.71	−24.12	89.19	92.39	105	j18g
y50l	60.76	−38.55	73.86	83.32	118	j36g
y75l	52.23	−50.92	60.72	79.25	130	j53g
l00c	44.13	−62.67	48.24	79.09	142	j71g
l50c	49.64	−41.0	−3.61	41.16	185	g21b
c00v	52.66	−29.14	−31.99	43.27	228	g60b
c50v	38.87	−0.69	−41.67	41.68	269	g97b
v00m	14.15	50.3	−59.04	77.57	310	b34r
v50m	25.2	63.79	−46.89	79.17	324	b45r
m00o	37.37	78.64	−33.5	85.48	337	b57r
m50o	36.13	68.67	7.94	69.13	7	b83r

%Umfang
$u^*_{rel} = 109$
%Regularität
$g^*_{H,rel} = 31$
$g^*_{C,rel} = 40$

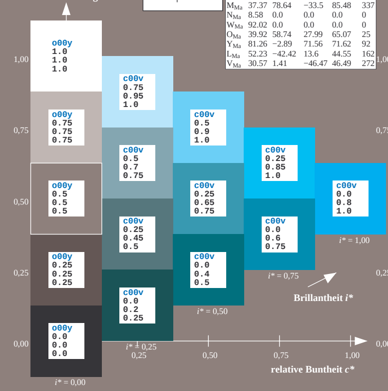

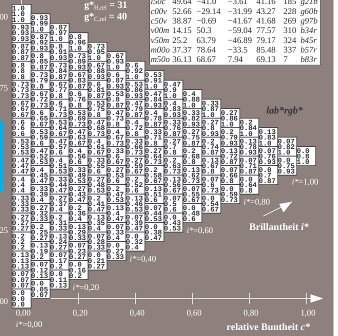

Ein und Ausgabe: Farbmetrisches Drucker-Reflektiv-System FRS09_92aM für relativen CIELAB-Buntton $h^* = lab^*h^* = h_{ab}/360 = 0.747$

$u^*_d = c50v$ *lab*rgb**

Daten für jede Farbe:
*lab*tch** und *lab*icu**
Bunttontexte:
$u^*_d = c50v$ $u^*_e = g97b$
Kontrastreduzierungsfaktor:
$c_R = 1.0$
Dreiecks-Helligkeit t^*

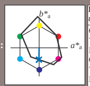

FRS09_92aM; adaptierte CIELAB-Daten					
u^*_d	$L^*=L^*_a$	a^*_a	b^*_a	$C^*_{ab,a}$	$h^*_{ab,a}$
O_{Ma}	35.06	60.0	44.0	74.4	36
Y_{Ma}	83.77	−5.17	109.32	109.44	93
L_{Ma}	44.13	−62.67	48.24	79.09	142
C_{Ma}	52.66	−29.14	−31.99	43.27	228
V_{Ma}	14.15	50.3	−59.04	77.57	310
M_{Ma}	37.37	78.64	−33.5	85.48	337
N_{Ma}	8.58	0.0	0.0	0.0	0
W_{Ma}	92.02	0.0	0.0	0.0	0
O_{Ma}	39.92	58.74	27.99	65.07	25
Y_{Ma}	81.26	−2.89	71.56	71.62	92
L_{Ma}	52.23	−42.42	13.6	44.55	162
V_{Ma}	30.57	1.41	−46.47	46.49	272

Daten für Maximalfarbe (Ma):
*LAB*LAB**$_{Ma}$: 39 −1 −42
*LAB*LCH**$_{Ma}$: 39 42 269
*lab*olv**$_{Ma}$: 0.0 0.5 1.0
*lab*rgb**$_{Ma}$: 0.0 0.05 1.0
Dreiecks-Helligkeit t^*

FRS09_92aM; adaptierte CIELAB-Daten						
u^*_d	$L^*=L^*_a$	a^*_a	b^*_a	$C^*_{ab,a}$	$h^*_{ab,a}$	u^*_e
o00y	35.06	60.0	44.0	74.4	36	r16j
o25y	44.68	47.13	56.9	73.88	50	r37j
o50y	54.77	33.62	70.44	78.05	64	r58j
o75y	66.84	17.48	86.62	88.37	79	r79j
y00l	83.77	−5.17	109.32	109.44	93	j01g
y25l	70.71	−24.12	89.19	92.39	105	j18g
y50l	60.76	−38.55	73.86	83.32	118	j36g
y75l	52.23	−50.92	60.72	79.25	130	j53g
l00c	44.13	−62.67	48.24	79.09	142	j71g
l50c	49.64	−41.0	−3.61	41.16	185	g21b
c00v	52.66	−29.14	−31.99	43.27	228	g60b
c50v	38.87	−0.69	−41.67	41.68	269	g97b
v00m	14.15	50.3	−59.04	77.57	310	b34r
v50m	25.2	63.79	−46.89	79.17	324	b45r
m00o	37.37	78.64	−33.5	85.48	337	b57r
m50o	36.13	68.67	7.94	69.13	7	b83r

%Umfang
$u^*_{rel} = 109$
%Regularität
$g^*_{H,rel} = 31$
$g^*_{C,rel} = 40$

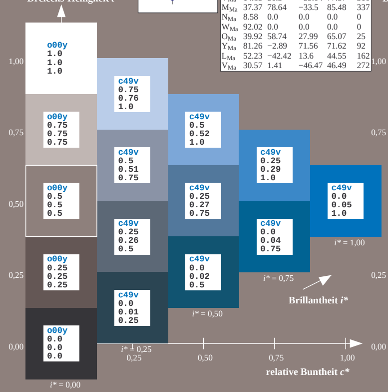

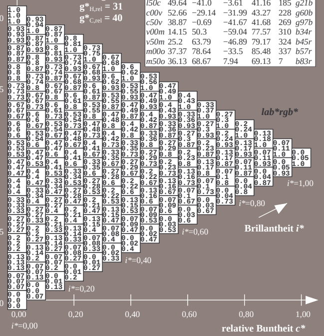

Ein und Ausgabe: Farbmetrisches Drucker-Reflektiv-System FRS09_92aM für relativen CIELAB-Buntton $h^* = lab^*h^* = h_{ab}/360 = 0.862$

$u^*_d = v00m$ *lab*rgb**

Daten für jede Farbe:
*lab*tch** und *lab*icu**
Bunttontexte:
$u^*_d = v00m$ $u^*_e = b34r$
Kontrastreduzierungsfaktor:
$c_R = 1.0$
Dreiecks-Helligkeit t^*

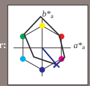

FRS09_92aM; adaptierte CIELAB-Daten					
u^*_d	$L^*=L^*_a$	a^*_a	b^*_a	$C^*_{ab,a}$	$h^*_{ab,a}$
O_{Ma}	35.06	60.0	44.0	74.4	36
Y_{Ma}	83.77	−5.17	109.32	109.44	93
L_{Ma}	44.13	−62.67	48.24	79.09	142
C_{Ma}	52.66	−29.14	−31.99	43.27	228
V_{Ma}	14.15	50.3	−59.04	77.57	310
M_{Ma}	37.37	78.64	−33.5	85.48	337
N_{Ma}	8.58	0.0	0.0	0.0	0
W_{Ma}	92.02	0.0	0.0	0.0	0
O_{Ma}	39.92	58.74	27.99	65.07	25
Y_{Ma}	81.26	−2.89	71.56	71.62	92
L_{Ma}	52.23	−42.42	13.6	44.55	162
V_{Ma}	30.57	1.41	−46.47	46.49	272

Daten für Maximalfarbe (Ma):
*LAB*LAB**$_{Ma}$: 14 50 −59
*LAB*LCH**$_{Ma}$: 14 78 310
*lab*olv**$_{Ma}$: 0.0 0.0 1.0
*lab*rgb**$_{Ma}$: 0.68 0.0 1.0
Dreiecks-Helligkeit t^*

FRS09_92aM; adaptierte CIELAB-Daten						
u^*_d	$L^*=L^*_a$	a^*_a	b^*_a	$C^*_{ab,a}$	$h^*_{ab,a}$	u^*_e
o00y	35.06	60.0	44.0	74.4	36	r16j
o25y	44.68	47.13	56.9	73.88	50	r37j
o50y	54.77	33.62	70.44	78.05	64	r58j
o75y	66.84	17.48	86.62	88.37	79	r79j
y00l	83.77	−5.17	109.32	109.44	93	j01g
y25l	70.71	−24.12	89.19	92.39	105	j18g
y50l	60.76	−38.55	73.86	83.32	118	j36g
y75l	52.23	−50.92	60.72	79.25	130	j53g
l00c	44.13	−62.67	48.24	79.09	142	j71g
l50c	49.64	−41.0	−3.61	41.16	185	g21b
c00v	52.66	−29.14	−31.99	43.27	228	g60b
c50v	38.87	−0.69	−41.67	41.68	269	g97b
v00m	14.15	50.3	−59.04	77.57	310	b34r
v50m	25.2	63.79	−46.89	79.17	324	b45r
m00o	37.37	78.64	−33.5	85.48	337	b57r
m50o	36.13	68.67	7.94	69.13	7	b83r

%Umfang
$u^*_{rel} = 109$
%Regularität
$g^*_{H,rel} = 31$
$g^*_{C,rel} = 40$

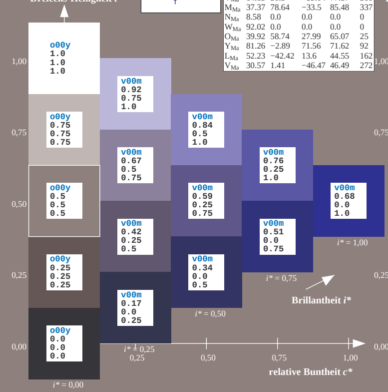

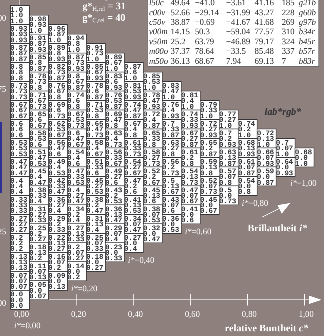

Ein und Ausgabe: Farbmetrisches Drucker-Reflektiv-System FRS09_92aM für relativen CIELAB-Buntton $h^* = lab^*h^* = h_{ab}/360 = 0.899$

$u^*_d = v50m$ *lab*rgb**

Daten für jede Farbe:
*lab*tch** und *lab*icu**
Bunttontexte:
$u^*_d = v50m$ $u^*_e = b45r$
Kontrastreduzierungsfaktor:
$c_R = 1.0$
Dreiecks-Helligkeit t^*

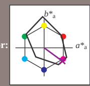

FRS09_92aM; adaptierte CIELAB-Daten					
u^*_d	$L^*=L^*_a$	a^*_a	b^*_a	$C^*_{ab,a}$	$h^*_{ab,a}$
O_{Ma}	35.06	60.0	44.0	74.4	36
Y_{Ma}	83.77	−5.17	109.32	109.44	93
L_{Ma}	44.13	−62.67	48.24	79.09	142
C_{Ma}	52.66	−29.14	−31.99	43.27	228
V_{Ma}	14.15	50.3	−59.04	77.57	310
M_{Ma}	37.37	78.64	−33.5	85.48	337
N_{Ma}	8.58	0.0	0.0	0.0	0
W_{Ma}	92.02	0.0	0.0	0.0	0
O_{Ma}	39.92	58.74	27.99	65.07	25
Y_{Ma}	81.26	−2.89	71.56	71.62	92
L_{Ma}	52.23	−42.42	13.6	44.55	162
V_{Ma}	30.57	1.41	−46.47	46.49	272

Daten für Maximalfarbe (Ma):
*LAB*LAB**$_{Ma}$: 25 64 −47
*LAB*LCH**$_{Ma}$: 25 79 323
*lab*olv**$_{Ma}$: 0.5 0.0 1.0
*lab*rgb**$_{Ma}$: 0.91 0.0 1.0
Dreiecks-Helligkeit t^*

FRS09_92aM; adaptierte CIELAB-Daten						
u^*_d	$L^*=L^*_a$	a^*_a	b^*_a	$C^*_{ab,a}$	$h^*_{ab,a}$	u^*_e
o00y	35.06	60.0	44.0	74.4	36	r16j
o25y	44.68	47.13	56.9	73.88	50	r37j
o50y	54.77	33.62	70.44	78.05	64	r58j
o75y	66.84	17.48	86.62	88.37	79	r79j
y00l	83.77	−5.17	109.32	109.44	93	j01g
y25l	70.71	−24.12	89.19	92.39	105	j18g
y50l	60.76	−38.55	73.86	83.32	118	j36g
y75l	52.23	−50.92	60.72	79.25	130	j53g
l00c	44.13	−62.67	48.24	79.09	142	j71g
l50c	49.64	−41.0	−3.61	41.16	185	g21b
c00v	52.66	−29.14	−31.99	43.27	228	g60b
c50v	38.87	−0.69	−41.67	41.68	269	g97b
v00m	14.15	50.3	−59.04	77.57	310	b34r
v50m	25.2	63.79	−46.89	79.17	324	b45r
m00o	37.37	78.64	−33.5	85.48	337	b57r
m50o	36.13	68.67	7.94	69.13	7	b83r

%Umfang
$u^*_{rel} = 109$
%Regularität
$g^*_{H,rel} = 31$
$g^*_{C,rel} = 40$

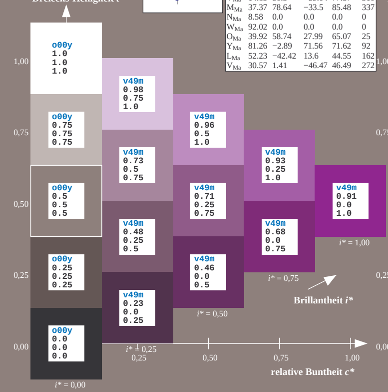

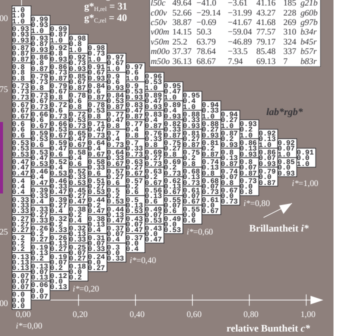

Ein und Ausgabe: Farbmetrisches Drucker-Reflektiv-System FRS09_92aM für relativen CIELAB-Buntton $h^* = lab^*h^* = h_{ab}/360 = 0.936$

$u^*_d = m00o$ *lab*rgb**

Daten für jede Farbe:
*lab*tch** und *lab*icu**
Bunttontexte:
$u^*_d = m00o$ $u^*_e = b57r$
Kontrastreduzierungsfaktor:
$c_R = 1.0$
Dreiecks-Helligkeit t^*

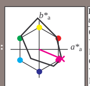

FRS09_92aM; adaptierte CIELAB-Daten					
u^*_d	$L^*=L^*_a$	a^*_a	b^*_a	$C^*_{ab,a}$	$h^*_{ab,a}$
O_{Ma}	35.06	60.0	44.0	74.4	36
Y_{Ma}	83.77	−5.17	109.32	109.44	93
L_{Ma}	44.13	−62.67	48.24	79.09	142
C_{Ma}	52.66	−29.14	−31.99	43.27	228
V_{Ma}	14.15	50.3	−59.04	77.57	310
M_{Ma}	37.37	78.64	−33.5	85.48	337
N_{Ma}	8.58	0.0	0.0	0.0	0
W_{Ma}	92.02	0.0	0.0	0.0	0
O_{Ma}	39.92	58.74	27.99	65.07	25
Y_{Ma}	81.26	−2.89	71.56	71.62	92
L_{Ma}	52.23	−42.42	13.6	44.55	162
V_{Ma}	30.57	1.41	−46.47	46.49	272

Daten für Maximalfarbe (Ma):
*LAB*LAB**$_{Ma}$: 37 79 −34
*LAB*LCH**$_{Ma}$: 37 85 336
*lab*olv**$_{Ma}$: 1.0 0.0 1.0
*lab*rgb**$_{Ma}$: 1.0 0.0 0.85
Dreiecks-Helligkeit t^*

FRS09_92aM; adaptierte CIELAB-Daten						
u^*_d	$L^*=L^*_a$	a^*_a	b^*_a	$C^*_{ab,a}$	$h^*_{ab,a}$	u^*_e
o00y	35.06	60.0	44.0	74.4	36	r16j
o25y	44.68	47.13	56.9	73.88	50	r37j
o50y	54.77	33.62	70.44	78.05	64	r58j
o75y	66.84	17.48	86.62	88.37	79	r79j
y00l	83.77	−5.17	109.32	109.44	93	j01g
y25l	70.71	−24.12	89.19	92.39	105	j18g
y50l	60.76	−38.55	73.86	83.32	118	j36g
y75l	52.23	−50.92	60.72	79.25	130	j53g
l00c	44.13	−62.67	48.24	79.09	142	j71g
l50c	49.64	−41.0	−3.61	41.16	185	g21b
c00v	52.66	−29.14	−31.99	43.27	228	g60b
c50v	38.87	−0.69	−41.67	41.68	269	g97b
v00m	14.15	50.3	−59.04	77.57	310	b34r
v50m	25.2	63.79	−46.89	79.17	324	b45r
m00o	37.37	78.64	−33.5	85.48	337	b57r
m50o	36.13	68.67	7.94	69.13	7	b83r

%Umfang
$u^*_{rel} = 109$
%Regularität
$g^*_{H,rel} = 31$
$g^*_{C,rel} = 40$

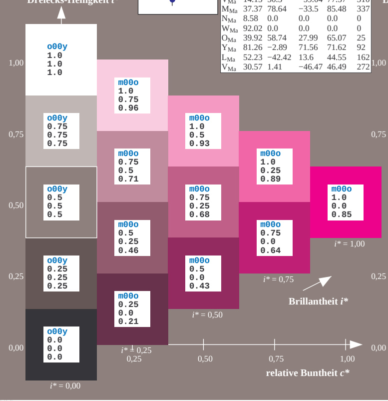

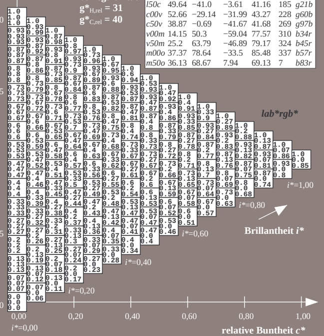

Ein und Ausgabe: Farbmetrisches Drucker-Reflektiv-System FRS09_92aM für relativen CIELAB-Buntton $h^* = lab^*h^* = h_{ab}/360 = 0.018$

$u^*_d = m50o$ *lab*rgb**

Daten für jede Farbe:
*lab*tch** und *lab*icu**
Bunttontexte:
$u^*_d = m50o$ $u^*_e = b83r$
Kontrastreduzierungsfaktor:
$c_R = 1.0$
Dreiecks-Helligkeit t^*

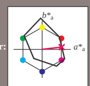

FRS09_92aM; adaptierte CIELAB-Daten					
u^*_d	$L^*=L^*_a$	a^*_a	b^*_a	$C^*_{ab,a}$	$h^*_{ab,a}$
O_{Ma}	35.06	60.0	44.0	74.4	36
Y_{Ma}	83.77	−5.17	109.32	109.44	93
L_{Ma}	44.13	−62.67	48.24	79.09	142
C_{Ma}	52.66	−29.14	−31.99	43.27	228
V_{Ma}	14.15	50.3	−59.04	77.57	310
M_{Ma}	37.37	78.64	−33.5	85.48	337
N_{Ma}	8.58	0.0	0.0	0.0	0
W_{Ma}	92.02	0.0	0.0	0.0	0
O_{Ma}	39.92	58.74	27.99	65.07	25
Y_{Ma}	81.26	−2.89	71.56	71.62	92
L_{Ma}	52.23	−42.42	13.6	44.55	162
V_{Ma}	30.57	1.41	−46.47	46.49	272

Daten für Maximalfarbe (Ma):
*LAB*LAB**$_{Ma}$: 36 69 8
*LAB*LCH**$_{Ma}$: 36 69 6
*lab*olv**$_{Ma}$: 1.0 0.0 0.5
*lab*rgb**$_{Ma}$: 1.0 0.0 0.33
Dreiecks-Helligkeit t^*

FRS09_92aM; adaptierte CIELAB-Daten						
u^*_d	$L^*=L^*_a$	a^*_a	b^*_a	$C^*_{ab,a}$	$h^*_{ab,a}$	u^*_e
o00y	35.06	60.0	44.0	74.4	36	r16j
o25y	44.68	47.13	56.9	73.88	50	r37j
o50y	54.77	33.62	70.44	78.05	64	r58j
o75y	66.84	17.48	86.62	88.37	79	r79j
y00l	83.77	−5.17	109.32	109.44	93	j01g
y25l	70.71	−24.12	89.19	92.39	105	j18g
y50l	60.76	−38.55	73.86	83.32	118	j36g
y75l	52.23	−50.92	60.72	79.25	130	j53g
l00c	44.13	−62.67	48.24	79.09	142	j71g
l50c	49.64	−41.0	−3.61	41.16	185	g21b
c00v	52.66	−29.14	−31.99	43.27	228	g60b
c50v	38.87	−0.69	−41.67	41.68	269	g97b
v00m	14.15	50.3	−59.04	77.57	310	b34r
v50m	25.2	63.79	−46.89	79.17	324	b45r
m00o	37.37	78.64	−33.5	85.48	337	b57r
m50o	36.13	68.67	7.94	69.13	7	b83r

%Umfang
$u^*_{rel} = 109$
%Regularität
$g^*_{H,rel} = 31$
$g^*_{C,rel} = 40$

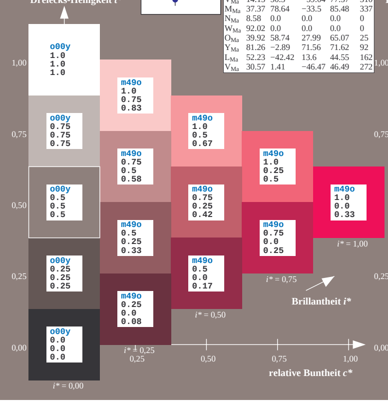

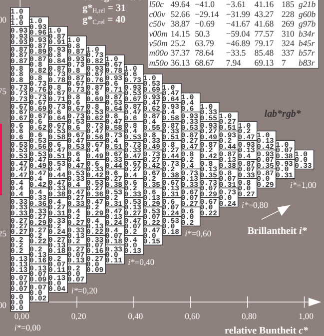

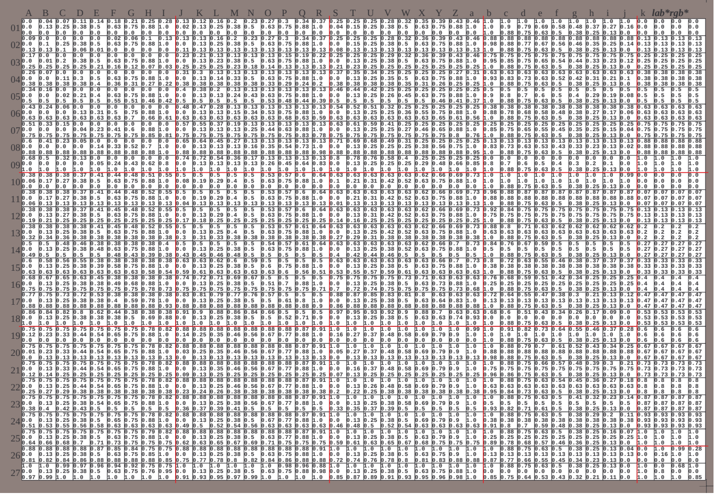

Ein und Ausgabe: Farbmetrisches Drucker-Reflektiv-System FRS09_92A# für relativen CIELAB-Buntton $h^* = lab^*h^* = h_{ab}/360 = 0.396$ $u^*_d = l00c$ $LAB^*LAB^*_n$

Daten für jede Farbe: *lab*ch** und *lab*icu**
Benttontexte: $u^*_d = l00c$ $u^*_e = j71g$
Kontrastreduzierungsfaktor: $c_g = 1.0$
Dreiecks-Helligkeit t^*

Daten für Maximalfarbe (Ma): $LAB^*LAB^*_{Ma}$: 44 −63 48 $LAB^*LCH^*_{Ma}$: 44 79 142 $lab^*olv^*_{Ma}$: 0.0 1.0 0.0 $lab^*rgb^*_{Ma}$: 0.28 1.0 0.0

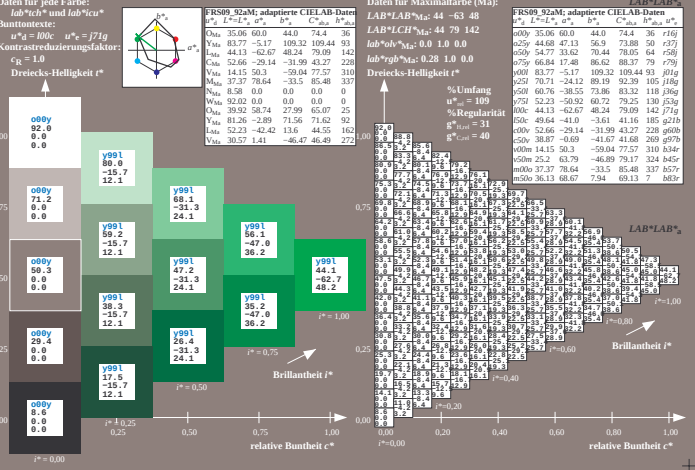

Ein und Ausgabe: Farbmetrisches Drucker-Reflektiv-System FRS09_92A# für relativen CIELAB-Buntton $h^* = lab^*h^* = h_{ab}/360 = 0.514$ $u^*_d = l50c$ $LAB^*LAB^*_n$

Daten für jede Farbe: *lab*ch** und *lab*icu**
Benttontexte: $u^*_d = l50c$ $u^*_e = g21b$
Kontrastreduzierungsfaktor: $c_g = 1.0$
Dreiecks-Helligkeit t^*

Daten für Maximalfarbe (Ma): $LAB^*LAB^*_{Ma}$: 50 −41 −4 $LAB^*LCH^*_{Ma}$: 50 41 185 $lab^*olv^*_{Ma}$: 0.0 1.0 0.5 $lab^*rgb^*_{Ma}$: 0.0 1.0 0.42

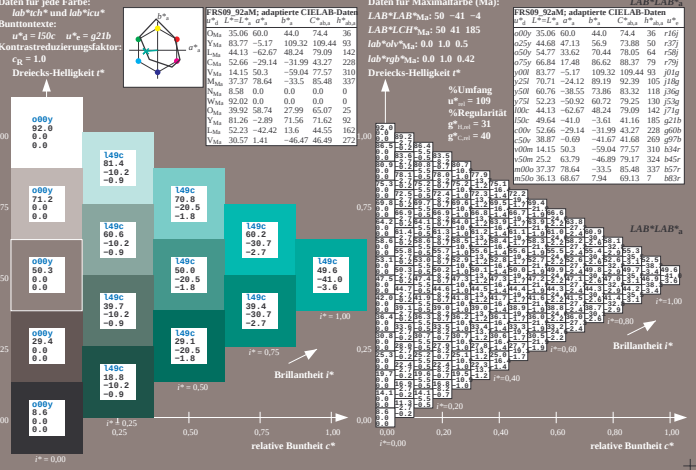

Ein und Ausgabe: Farbmetrisches Drucker-Reflektiv-System FRS09_92A# für relativen CIELAB-Buntton $h^* = lab^*h^* = h_{ab}/360 = 0.632$ $u^*_d = c00v$ $LAB^*LAB^*_n$

Daten für jede Farbe: *lab*ch** und *lab*icu**
Benttontexte: $u^*_d = c00v$ $u^*_e = g60b$
Kontrastreduzierungsfaktor: $c_g = 1.0$
Dreiecks-Helligkeit t^*

Daten für Maximalfarbe (Ma): $LAB^*LAB^*_{Ma}$: 53 −29 −32 $LAB^*LCH^*_{Ma}$: 53 43 227 $lab^*olv^*_{Ma}$: 0.0 1.0 1.0 $lab^*rgb^*_{Ma}$: 0.0 0.8 1.0

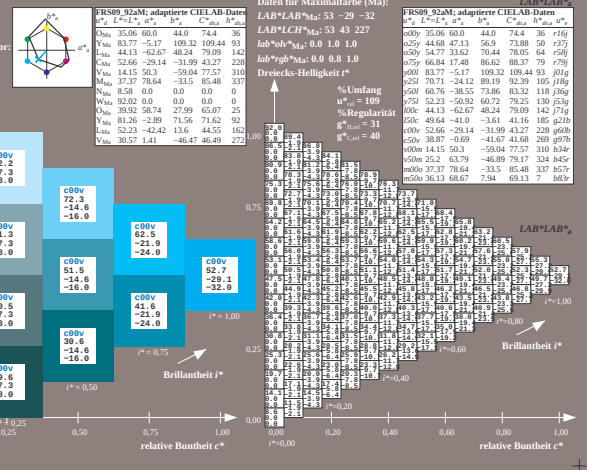

Ein und Ausgabe: Farbmetrisches Drucker-Reflektiv-System FRS09_92A# für relativen CIELAB-Buntton $h^* = lab^*h^* = h_{ab}/360 = 0.747$ $u^*_d = c50v$ $LAB^*LAB^*_n$

Daten für jede Farbe: *lab*ch** und *lab*icu**
Benttontexte: $u^*_d = c50v$ $u^*_e = g97b$
Kontrastreduzierungsfaktor: $c_g = 1.0$
Dreiecks-Helligkeit t^*

Daten für Maximalfarbe (Ma): $LAB^*LAB^*_{Ma}$: 39 −1 −42 $LAB^*LCH^*_{Ma}$: 39 42 269 $lab^*olv^*_{Ma}$: 0.0 0.5 1.0 $lab^*rgb^*_{Ma}$: 0.0 0.05 1.0

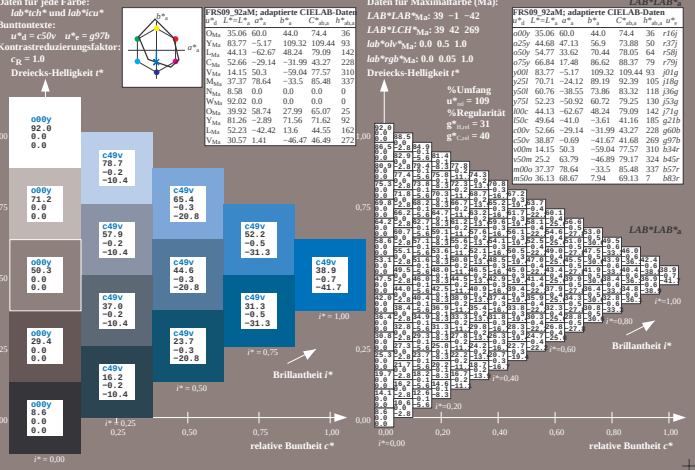

Ein und Ausgabe: Farbmetrisches Drucker-Reflektiv-System FRS09_92A# für relativen CIELAB-Buntton $h^* = lab^*h^* = h_{ab}/360 = 0.862$ $u^*_d = v00m$ $LAB^*LAB^*_n$

Daten für jede Farbe: *lab*ch** und *lab*icu**
Benttontexte: $u^*_d = v00m$ $u^*_e = b34r$
Kontrastreduzierungsfaktor: $c_g = 1.0$
Dreiecks-Helligkeit t^*

Daten für Maximalfarbe (Ma): $LAB^*LAB^*_{Ma}$: 14 50 −59 $LAB^*LCH^*_{Ma}$: 14 78 310 $lab^*olv^*_{Ma}$: 0.0 0.0 1.0 $lab^*rgb^*_{Ma}$: 0.68 0.0 1.0

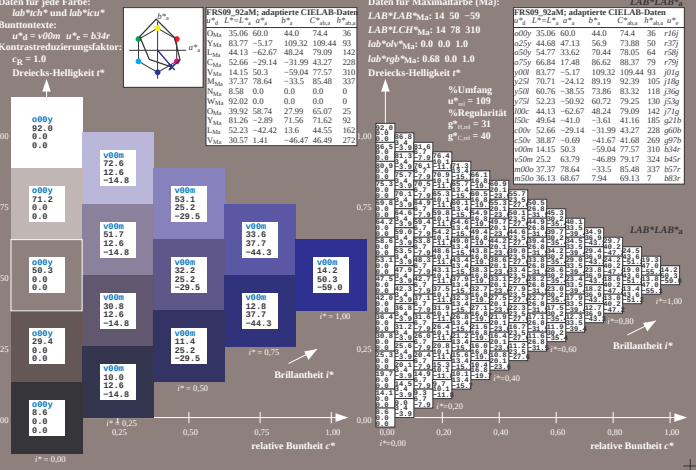

Ein und Ausgabe: Farbmetrisches Drucker-Reflektiv-System FRS09_92A# für relativen CIELAB-Buntton $h^* = lab^*h^* = h_{ab}/360 = 0.899$ $u^*_d = v50m$ $LAB^*LAB^*_n$

Daten für jede Farbe: *lab*ch** und *lab*icu**
Benttontexte: $u^*_d = v50m$ $u^*_e = b45r$
Kontrastreduzierungsfaktor: $c_g = 1.0$
Dreiecks-Helligkeit t^*

Daten für Maximalfarbe (Ma): $LAB^*LAB^*_{Ma}$: 25 64 −47 $LAB^*LCH^*_{Ma}$: 25 79 323 $lab^*olv^*_{Ma}$: 0.5 0.0 1.0 $lab^*rgb^*_{Ma}$: 0.91 0.0 1.0

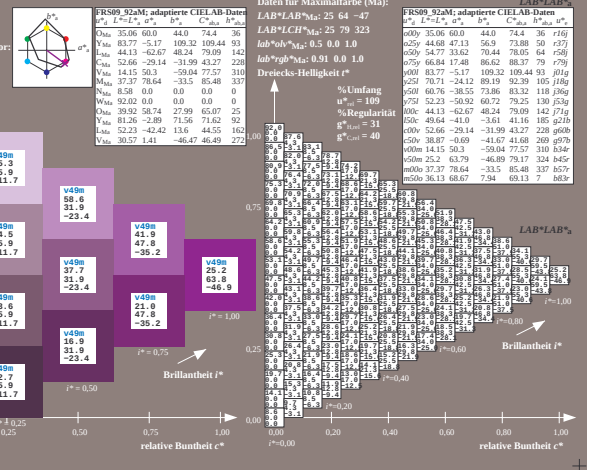

Ein und Ausgabe: Farbmetrisches Drucker-Reflektiv-System FRS09_92A# für relativen CIELAB-Buntton $h^* = lab^*h^* = h_{ab}/360 = 0.936$ $u^*_d = m00o$ $LAB^*LAB^*_n$

Daten für jede Farbe: *lab*ch** und *lab*icu**
Benttontexte: $u^*_d = m00o$ $u^*_e = b57r$
Kontrastreduzierungsfaktor: $c_g = 1.0$
Dreiecks-Helligkeit t^*

Daten für Maximalfarbe (Ma): $LAB^*LAB^*_{Ma}$: 37 79 −34 $LAB^*LCH^*_{Ma}$: 37 85 336 $lab^*olv^*_{Ma}$: 1.0 0.0 1.0 $lab^*rgb^*_{Ma}$: 1.0 0.0 0.85

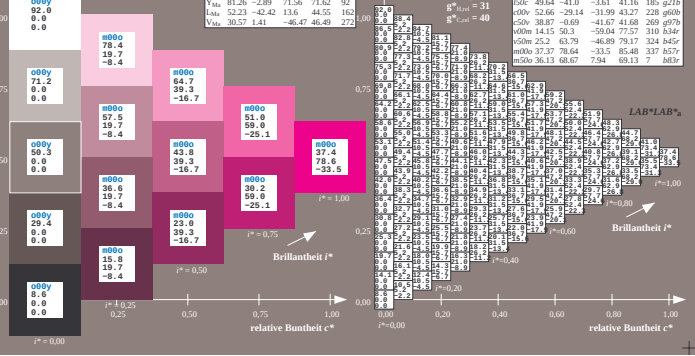

Ein und Ausgabe: Farbmetrisches Drucker-Reflektiv-System FRS09_92A# für relativen CIELAB-Buntton $h^* = lab^*h^* = h_{ab}/360 = 0.018$ $u^*_d = m50o$ $LAB^*LAB^*_n$

Daten für jede Farbe: *lab*ch** und *lab*icu**
Benttontexte: $u^*_d = m50o$ $u^*_e = b83r$
Kontrastreduzierungsfaktor: $c_g = 1.0$
Dreiecks-Helligkeit t^*

Daten für Maximalfarbe (Ma): $LAB^*LAB^*_{Ma}$: 36 69 8 $LAB^*LCH^*_{Ma}$: 36 69 6 $lab^*olv^*_{Ma}$: 1.0 0.0 0.5 $lab^*rgb^*_{Ma}$: 1.0 0.0 0.33

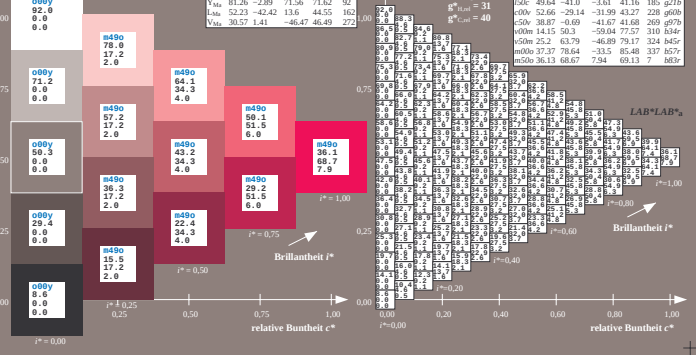

Ein und Ausgabe: Farbmetrisches Drucker-Reflektiv-System FRS09_92aM für relativen CIELAB-Buntton $h^* = lab^*h^* = h_{ab}/360 = 0.396$ $u^*_d = l00c$ $LAB^*LCH^*_a$

Daten für jede Farbe: *lab*ch** und *lab*cu** Buntton: $u^*_d = l00c$ $u^*_e = j71g$ Kontrastreduzierungsfaktor: $c_g = 1.0$ Dreiecks-Helligkeit t^*

Daten für Maximalfarbe (Ma): $LAB^*LAB^*_{Ma}$: 44 −63 48 $LAB^*LCH^*_{Ma}$: 44 79 142 $lab^*ov^*_{Ma}$: 0.0 1.0 0.0 $lab^*rgb^*_{Ma}$: 0.28 1.0 0.0 Dreiecks-Helligkeit t^*

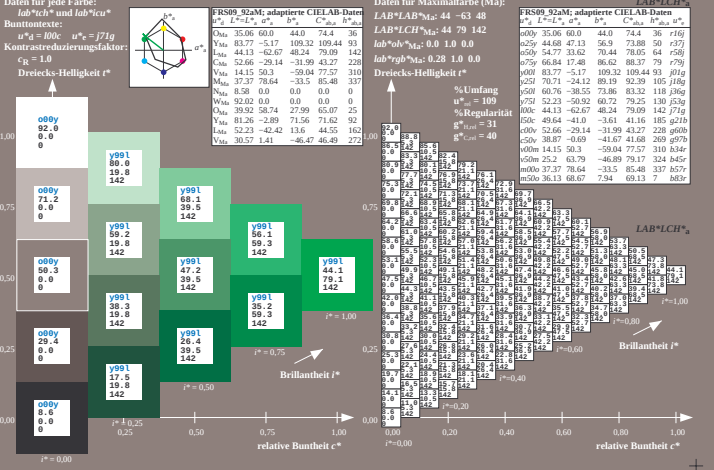

Ein und Ausgabe: Farbmetrisches Drucker-Reflektiv-System FRS09_92aM für relativen CIELAB-Buntton $h^* = lab^*h^* = h_{ab}/360 = 0.514$ $u^*_d = l50c$ $LAB^*LCH^*_a$

Daten für jede Farbe: *lab*ch** und *lab*cu** Buntton: $u^*_d = l50c$ $u^*_e = g21b$ Kontrastreduzierungsfaktor: $c_g = 1.0$ Dreiecks-Helligkeit t^*

Daten für Maximalfarbe (Ma): $LAB^*LAB^*_{Ma}$: 50 −41 −4 $LAB^*LCH^*_{Ma}$: 50 41 185 $lab^*ov^*_{Ma}$: 0.0 1.0 0.5 $lab^*rgb^*_{Ma}$: 0.0 1.0 0.42 Dreiecks-Helligkeit t^*

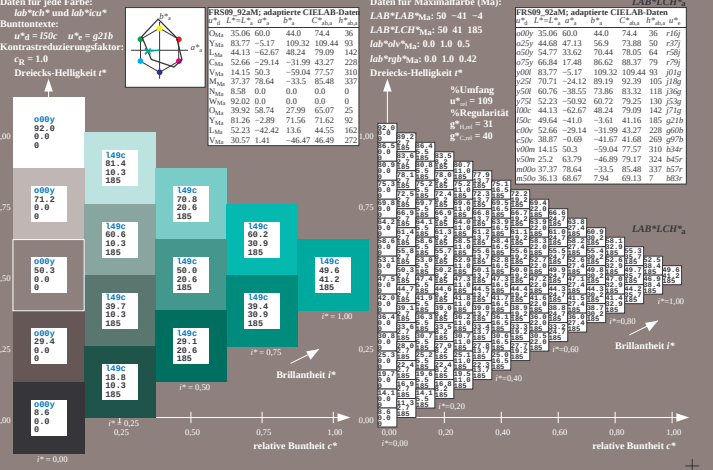

Ein und Ausgabe: Farbmetrisches Drucker-Reflektiv-System FRS09_92aM für relativen CIELAB-Buntton $h^* = lab^*h^* = h_{ab}/360 = 0.632$ $u^*_d = c00v$ $LAB^*LCH^*_a$

Daten für jede Farbe: *lab*ch** und *lab*cu** Buntton: $u^*_d = c00v$ $u^*_e = g60b$ Kontrastreduzierungsfaktor: $c_g = 1.0$ Dreiecks-Helligkeit t^*

Daten für Maximalfarbe (Ma): $LAB^*LAB^*_{Ma}$: 53 −29 −32 $LAB^*LCH^*_{Ma}$: 53 43 227 $lab^*ov^*_{Ma}$: 0.0 1.0 1.0 $lab^*rgb^*_{Ma}$: 0.0 0.8 1.0 Dreiecks-Helligkeit t^*

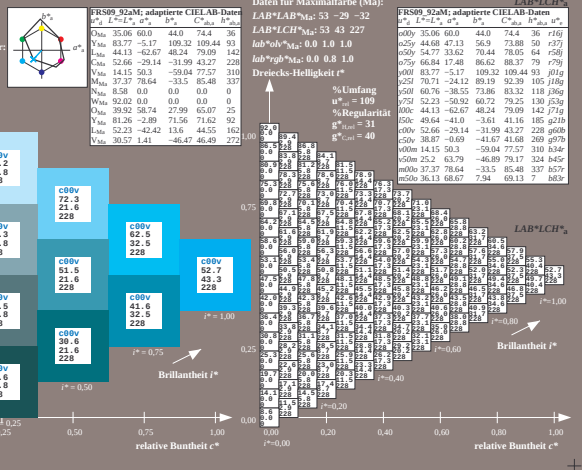

Ein und Ausgabe: Farbmetrisches Drucker-Reflektiv-System FRS09_92aM für relativen CIELAB-Buntton $h^* = lab^*h^* = h_{ab}/360 = 0.747$ $u^*_d = c50v$ $LAB^*LCH^*_a$

Daten für jede Farbe: *lab*ch** und *lab*cu** Buntton: $u^*_d = c50v$ $u^*_e = g97b$ Kontrastreduzierungsfaktor: $c_g = 1.0$ Dreiecks-Helligkeit t^*

Daten für Maximalfarbe (Ma): $LAB^*LAB^*_{Ma}$: 39 −1 −42 $LAB^*LCH^*_{Ma}$: 39 42 269 $lab^*ov^*_{Ma}$: 0.0 0.5 1.0 $lab^*rgb^*_{Ma}$: 0.0 0.05 1.0 Dreiecks-Helligkeit t^*

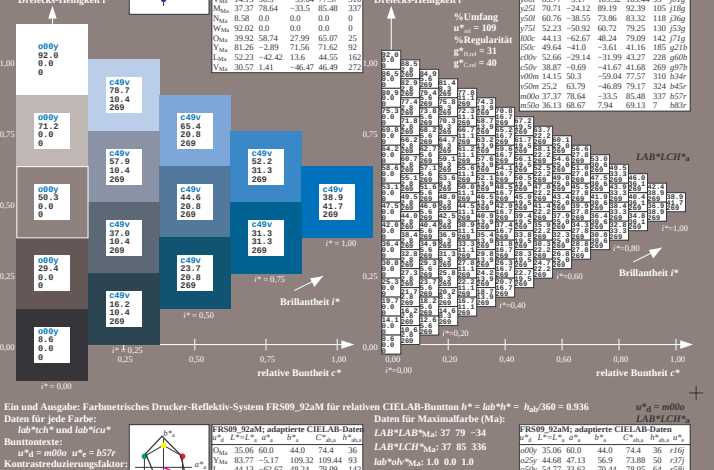

Ein und Ausgabe: Farbmetrisches Drucker-Reflektiv-System FRS09_92aM für relativen CIELAB-Buntton $h^* = lab^*h^* = h_{ab}/360 = 0.862$ $u^*_d = v00m$ $LAB^*LCH^*_a$

Daten für jede Farbe: *lab*ch** und *lab*cu** Buntton: $u^*_d = v00m$ $u^*_e = b34r$ Kontrastreduzierungsfaktor: $c_g = 1.0$ Dreiecks-Helligkeit t^*

Daten für Maximalfarbe (Ma): $LAB^*LAB^*_{Ma}$: 14 50 −59 $LAB^*LCH^*_{Ma}$: 14 78 310 $lab^*ov^*_{Ma}$: 0.0 0.0 1.0 $lab^*rgb^*_{Ma}$: 0.68 0.0 1.0 Dreiecks-Helligkeit t^*

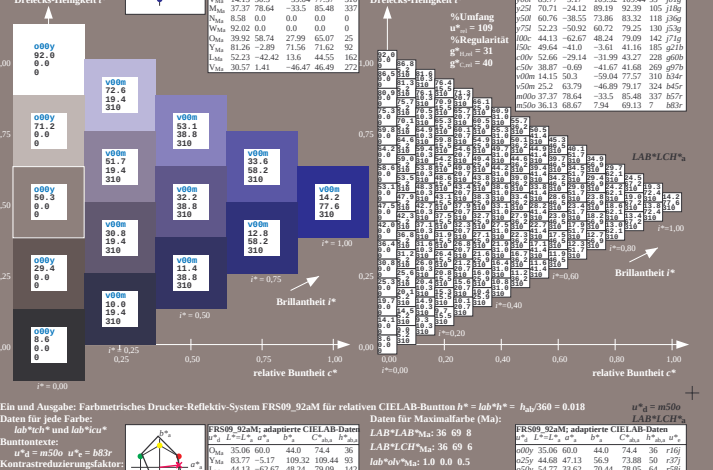

Ein und Ausgabe: Farbmetrisches Drucker-Reflektiv-System FRS09_92aM für relativen CIELAB-Buntton $h^* = lab^*h^* = h_{ab}/360 = 0.899$ $u^*_d = v50m$ $LAB^*LCH^*_a$

Daten für jede Farbe: *lab*ch** und *lab*cu** Buntton: $u^*_d = v50m$ $u^*_e = b45r$ Kontrastreduzierungsfaktor: $c_g = 1.0$ Dreiecks-Helligkeit t^*

Daten für Maximalfarbe (Ma): $LAB^*LAB^*_{Ma}$: 25 64 −47 $LAB^*LCH^*_{Ma}$: 25 79 323 $lab^*ov^*_{Ma}$: 0.5 0.0 1.0 $lab^*rgb^*_{Ma}$: 0.91 0.0 1.0 Dreiecks-Helligkeit t^*

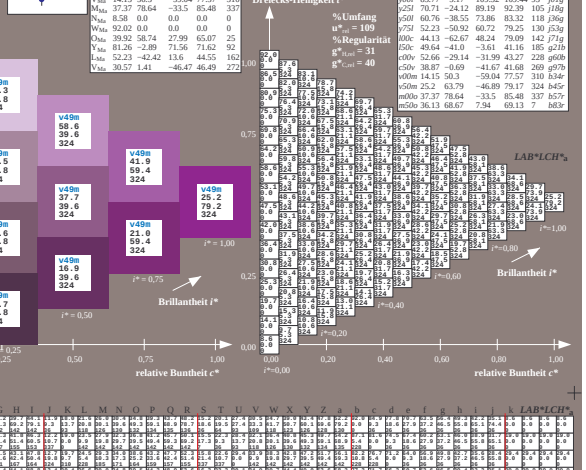

Ein und Ausgabe: Farbmetrisches Drucker-Reflektiv-System FRS09_92aM für relativen CIELAB-Buntton $h^* = lab^*h^* = h_{ab}/360 = 0.936$ $u^*_d = m00o$ $LAB^*LCH^*_a$

Daten für jede Farbe: *lab*ch** und *lab*cu** Buntton: $u^*_d = m00o$ $u^*_e = b57r$ Kontrastreduzierungsfaktor: $c_g = 1.0$ Dreiecks-Helligkeit t^*

Daten für Maximalfarbe (Ma): $LAB^*LAB^*_{Ma}$: 37 79 −34 $LAB^*LCH^*_{Ma}$: 37 85 336 $lab^*ov^*_{Ma}$: 1.0 0.0 1.0 $lab^*rgb^*_{Ma}$: 1.0 0.0 0.85 Dreiecks-Helligkeit t^*

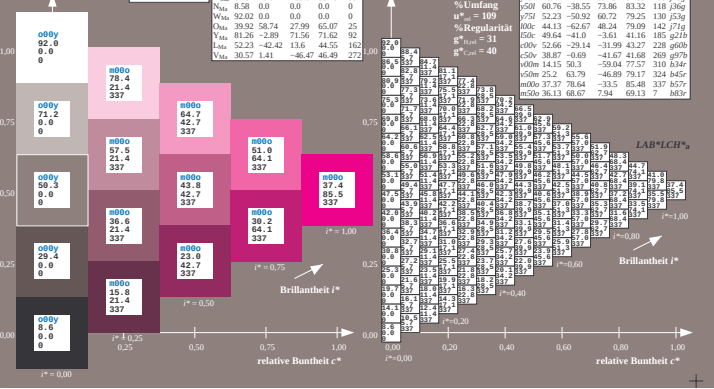

Ein und Ausgabe: Farbmetrisches Drucker-Reflektiv-System FRS09_92aM für relativen CIELAB-Buntton $h^* = lab^*h^* = h_{ab}/360 = 0.018$ $u^*_d = m50o$ $LAB^*LCH^*_a$

Daten für jede Farbe: *lab*ch** und *lab*cu** Buntton: $u^*_d = m50o$ $u^*_e = b83r$ Kontrastreduzierungsfaktor: $c_g = 1.0$ Dreiecks-Helligkeit t^*

Daten für Maximalfarbe (Ma): $LAB^*LAB^*_{Ma}$: 36 69 8 $LAB^*LCH^*_{Ma}$: 36 69 6 $lab^*ov^*_{Ma}$: 1.0 0.0 0.5 $lab^*rgb^*_{Ma}$: 1.0 0.0 0.33 Dreiecks-Helligkeit t^*

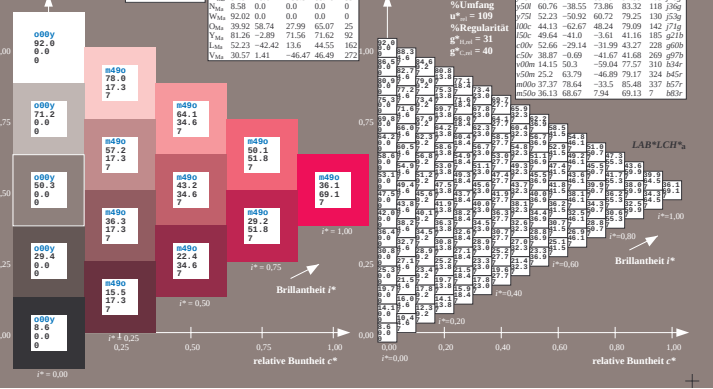

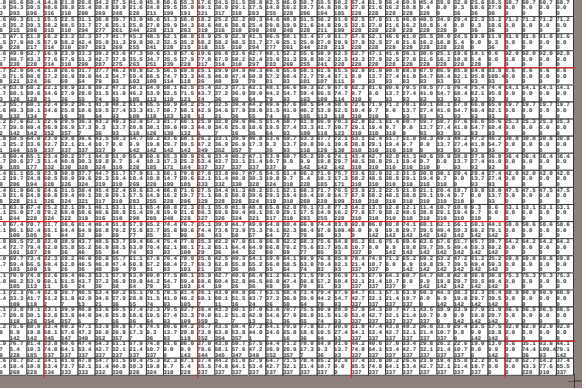

Ein und Ausgabe: Farbmetrisches Drucker-Reflektiv-System FRS09_92aM für relativen CIELAB-Buntton $h^* = lab^*h^* = h_{ab}/360 = 0.396$ $u^*_d = l00c$ lab^*ch^*

Daten für jede Farbe: lab^*ch^* und lab^*cu^* Benttontexte: $u^*_d = l00c$ $u^*_e = j71g$ Kontrastreduzierungsfaktor: $c_R = 1.0$ Dreiecks-Helligkeit t^*

Daten für Maximalfarbe (Ma): $LAB^*LAB^*_{Ma}$: 44 −63 48 $LAB^*LCH^*_{Ma}$: 44 79 142 $lab^*olv^*_{Ma}$: 0.0 1.0 0.0 $lab^*rgb^*_{Ma}$: 0.28 1.0 0.0 Dreiecks-Helligkeit t^*

%Umfang $u^*_{ue} = 109$ %Regularität $g^*_{H,rel} = 31$ $g^*_{C,rel} = 40$

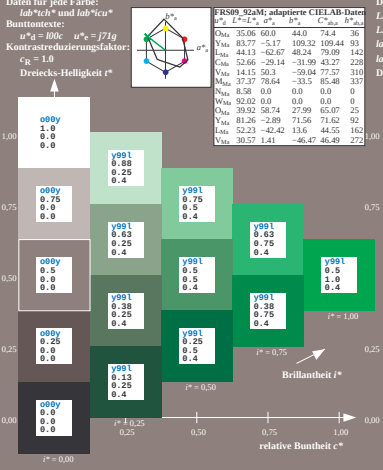

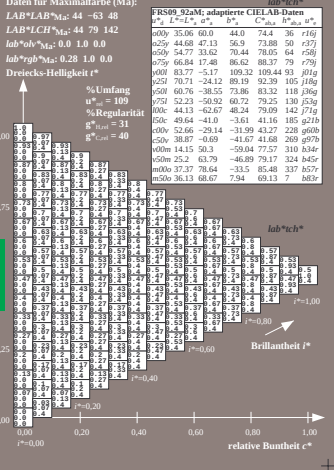

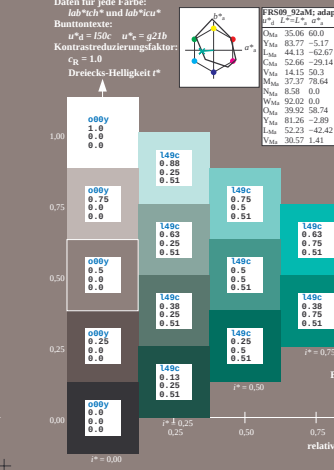

Ein und Ausgabe: Farbmetrisches Drucker-Reflektiv-System FRS09_92aM für relativen CIELAB-Buntton $h^* = lab^*h^* = h_{ab}/360 = 0.514$ $u^*_d = l50c$ lab^*ch^*

Daten für jede Farbe: lab^*ch^* und lab^*cu^* Benttontexte: $u^*_d = l50c$ $u^*_e = g21b$ Kontrastreduzierungsfaktor: $c_R = 1.0$ Dreiecks-Helligkeit t^*

Daten für Maximalfarbe (Ma): $LAB^*LAB^*_{Ma}$: 50 −41 −4 $LAB^*LCH^*_{Ma}$: 50 41 185 $lab^*olv^*_{Ma}$: 0.0 1.0 0.5 $lab^*rgb^*_{Ma}$: 0.0 1.0 0.42 Dreiecks-Helligkeit t^*

%Umfang $u^*_{ue} = 109$ %Regularität $g^*_{H,rel} = 31$ $g^*_{C,rel} = 40$

Ein und Ausgabe: Farbmetrisches Drucker-Reflektiv-System FRS09_92aM für relativen CIELAB-Buntton $h^* = lab^*h^* = h_{ab}/360 = 0.632$ $u^*_d = c00v$ lab^*ch^*

Daten für jede Farbe: lab^*ch^* und lab^*cu^* Benttontexte: $u^*_d = c00v$ $u^*_e = g60b$ Kontrastreduzierungsfaktor: $c_R = 1.0$ Dreiecks-Helligkeit t^*

Daten für Maximalfarbe (Ma): $LAB^*LAB^*_{Ma}$: 53 −29 −32 $LAB^*LCH^*_{Ma}$: 53 43 227 $lab^*olv^*_{Ma}$: 0.0 1.0 1.0 $lab^*rgb^*_{Ma}$: 0.0 0.8 1.0 Dreiecks-Helligkeit t^*

%Umfang $u^*_{ue} = 109$ %Regularität $g^*_{H,rel} = 31$ $g^*_{C,rel} = 40$

Ein und Ausgabe: Farbmetrisches Drucker-Reflektiv-System FRS09_92aM für relativen CIELAB-Buntton $h^* = lab^*h^* = h_{ab}/360 = 0.747$ $u^*_d = c50v$ lab^*ch^*

Daten für jede Farbe: lab^*ch^* und lab^*cu^* Benttontexte: $u^*_d = c50v$ $u^*_e = g97b$ Kontrastreduzierungsfaktor: $c_R = 1.0$ Dreiecks-Helligkeit t^*

Daten für Maximalfarbe (Ma): $LAB^*LAB^*_{Ma}$: 39 −1 −42 $LAB^*LCH^*_{Ma}$: 39 42 269 $lab^*olv^*_{Ma}$: 0.0 0.5 1.0 $lab^*rgb^*_{Ma}$: 0.0 0.05 1.0 Dreiecks-Helligkeit t^*

%Umfang $u^*_{ue} = 109$ %Regularität $g^*_{H,rel} = 31$ $g^*_{C,rel} = 40$

Ein und Ausgabe: Farbmetrisches Drucker-Reflektiv-System FRS09_92aM für relativen CIELAB-Buntton $h^* = lab^*h^* = h_{ab}/360 = 0.862$ $u^*_d = v00m$ lab^*ch^*

Daten für jede Farbe: lab^*ch^* und lab^*cu^* Benttontexte: $u^*_d = v00m$ $u^*_e = b34r$ Kontrastreduzierungsfaktor: $c_R = 1.0$ Dreiecks-Helligkeit t^*

Daten für Maximalfarbe (Ma): $LAB^*LAB^*_{Ma}$: 14 50 −59 $LAB^*LCH^*_{Ma}$: 14 78 310 $lab^*olv^*_{Ma}$: 0.0 0.0 1.0 $lab^*rgb^*_{Ma}$: 0.68 0.0 1.0 Dreiecks-Helligkeit t^*

%Umfang $u^*_{ue} = 109$ %Regularität $g^*_{H,rel} = 31$ $g^*_{C,rel} = 40$

Ein und Ausgabe: Farbmetrisches Drucker-Reflektiv-System FRS09_92aM für relativen CIELAB-Buntton $h^* = lab^*h^* = h_{ab}/360 = 0.899$ $u^*_d = v50m$ lab^*ch^*

Daten für jede Farbe: lab^*ch^* und lab^*cu^* Benttontexte: $u^*_d = v50m$ $u^*_e = b45r$ Kontrastreduzierungsfaktor: $c_R = 1.0$ Dreiecks-Helligkeit t^*

Daten für Maximalfarbe (Ma): $LAB^*LAB^*_{Ma}$: 25 64 −47 $LAB^*LCH^*_{Ma}$: 25 79 323 $lab^*olv^*_{Ma}$: 0.5 0.0 1.0 $lab^*rgb^*_{Ma}$: 0.91 0.0 1.0 Dreiecks-Helligkeit t^*

%Umfang $u^*_{ue} = 109$ %Regularität $g^*_{H,rel} = 31$ $g^*_{C,rel} = 40$

Ein und Ausgabe: Farbmetrisches Drucker-Reflektiv-System FRS09_92aM für relativen CIELAB-Buntton $h^* = lab^*h^* = h_{ab}/360 = 0.936$ $u^*_d = m00o$ lab^*ch^*

Daten für jede Farbe: lab^*ch^* und lab^*cu^* Benttontexte: $u^*_d = m00o$ $u^*_e = b57r$ Kontrastreduzierungsfaktor: $c_R = 1.0$ Dreiecks-Helligkeit t^*

Daten für Maximalfarbe (Ma): $LAB^*LAB^*_{Ma}$: 37 79 −34 $LAB^*LCH^*_{Ma}$: 37 85 336 $lab^*olv^*_{Ma}$: 1.0 0.0 1.0 $lab^*rgb^*_{Ma}$: 1.0 0.0 0.85 Dreiecks-Helligkeit t^*

%Umfang $u^*_{ue} = 109$ %Regularität $g^*_{H,rel} = 31$ $g^*_{C,rel} = 40$

Ein und Ausgabe: Farbmetrisches Drucker-Reflektiv-System FRS09_92aM für relativen CIELAB-Buntton $h^* = lab^*h^* = h_{ab}/360 = 0.018$ $u^*_d = m50o$ lab^*ch^*

Daten für jede Farbe: lab^*ch^* und lab^*cu^* Benttontexte: $u^*_d = m50o$ $u^*_e = b83r$ Kontrastreduzierungsfaktor: $c_R = 1.0$ Dreiecks-Helligkeit t^*

Daten für Maximalfarbe (Ma): $LAB^*LAB^*_{Ma}$: 36 69 6 $LAB^*LCH^*_{Ma}$: 36 69 6 $lab^*olv^*_{Ma}$: 1.0 0.0 0.5 $lab^*rgb^*_{Ma}$: 1.0 0.0 0.33 Dreiecks-Helligkeit t^*

%Umfang $u^*_{ue} = 109$ %Regularität $g^*_{H,rel} = 31$ $g^*_{C,rel} = 40$

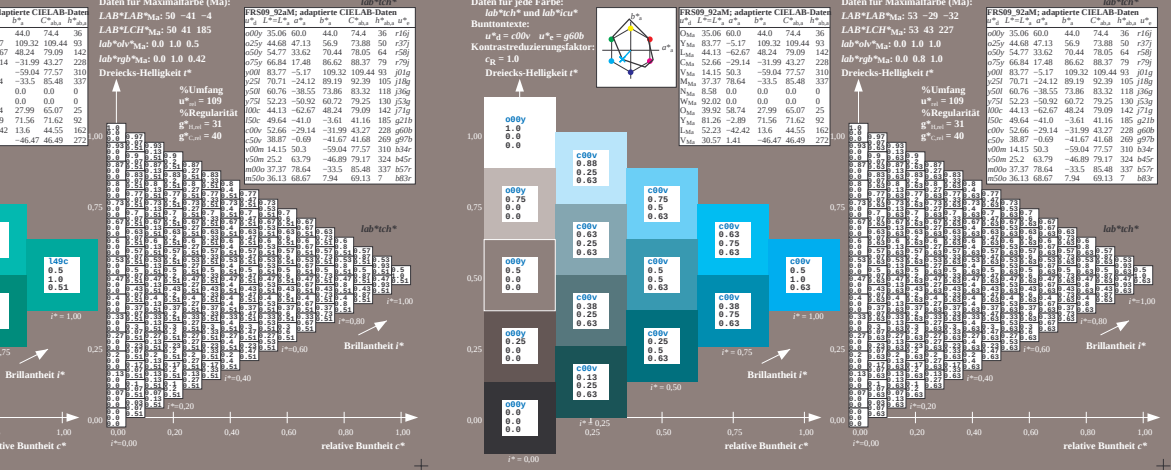

Ein und Ausgabe: Farbmetrisches Drucker-Reflektiv-System FRS09_92A für relativen CIELAB-Buntton $h^* = lab^*h^* = h_{ab}/360 = 0.396$ $u^*_d = l00c$ $lab^*icu^*_p$

Daten für jede Farbe: *lab*ch** und *lab*icu**

Buntton: $u^*_d = l00c$ $u^*_e = j71g$

Kontrastreduzierungsfaktor: $c_g = 1.0$

Daten für Maximalfarbe (Ma): $LAB^*LAB^*_{Ma}$: 44 −63 48 $LAB^*LCH^*_{Ma}$: 44 79 142 $lab^*olv^*_{Ma}$: 0.0 1.0 0.0 $lab^*rgb^*_{Ma}$: 0.28 1.0 0.0

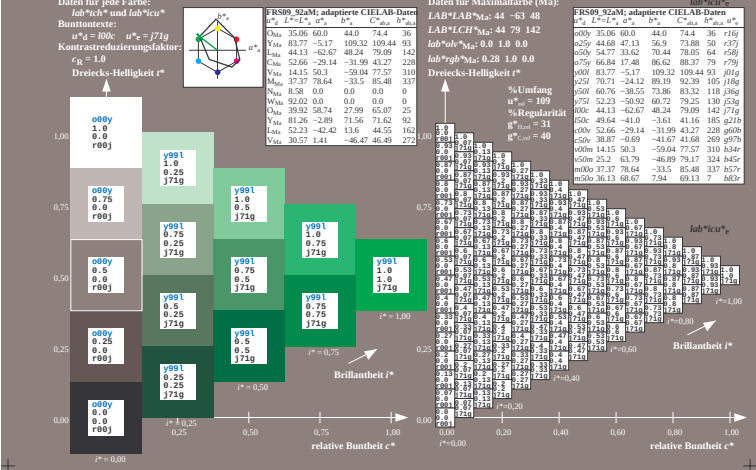

Ein und Ausgabe: Farbmetrisches Drucker-Reflektiv-System FRS09_92A für relativen CIELAB-Buntton $h^* = lab^*h^* = h_{ab}/360 = 0.514$ $u^*_d = l50c$ $lab^*icu^*_p$

Daten für jede Farbe: *lab*ch** und *lab*icu**

Buntton: $u^*_d = l50c$ $u^*_e = g21b$

Kontrastreduzierungsfaktor: $c_g = 1.0$

Daten für Maximalfarbe (Ma): $LAB^*LAB^*_{Ma}$: 50 −41 −4 $LAB^*LCH^*_{Ma}$: 50 41 185 $lab^*olv^*_{Ma}$: 0.0 1.0 0.5 $lab^*rgb^*_{Ma}$: 0.0 1.0 0.42

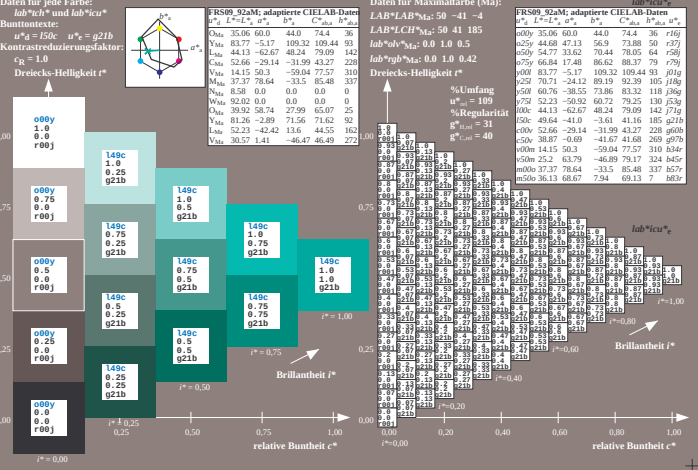

Ein und Ausgabe: Farbmetrisches Drucker-Reflektiv-System FRS09_92A für relativen CIELAB-Buntton $h^* = lab^*h^* = h_{ab}/360 = 0.632$ $u^*_d = c00v$ $lab^*icu^*_p$

Daten für jede Farbe: *lab*ch** und *lab*icu**

Buntton: $u^*_d = c00v$ $u^*_e = g60b$

Kontrastreduzierungsfaktor: $c_g = 1.0$

Daten für Maximalfarbe (Ma): $LAB^*LAB^*_{Ma}$: 53 −29 −32 $LAB^*LCH^*_{Ma}$: 53 43 227 $lab^*olv^*_{Ma}$: 0.0 1.0 1.0 $lab^*rgb^*_{Ma}$: 0.0 0.8 1.0

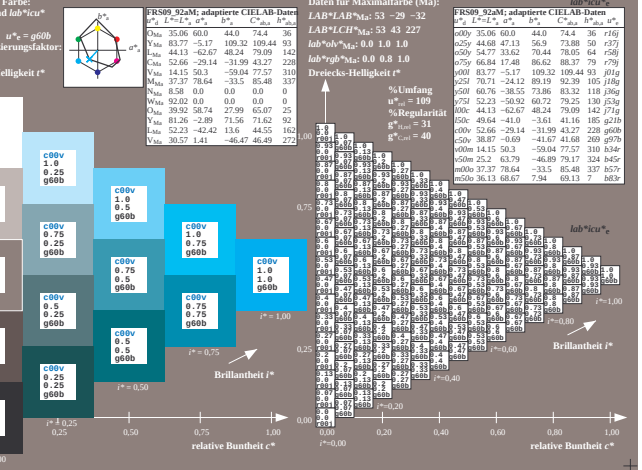

Ein und Ausgabe: Farbmetrisches Drucker-Reflektiv-System FRS09_92A für relativen CIELAB-Buntton $h^* = lab^*h^* = h_{ab}/360 = 0.747$ $u^*_d = c50v$ $lab^*icu^*_p$

Daten für jede Farbe: *lab*ch** und *lab*icu**

Buntton: $u^*_d = c50v$ $u^*_e = g97b$

Kontrastreduzierungsfaktor: $c_g = 1.0$

Daten für Maximalfarbe (Ma): $LAB^*LAB^*_{Ma}$: 39 −1 −42 $LAB^*LCH^*_{Ma}$: 39 42 269 $lab^*olv^*_{Ma}$: 0.0 0.5 1.0 $lab^*rgb^*_{Ma}$: 0.0 0.05 1.0

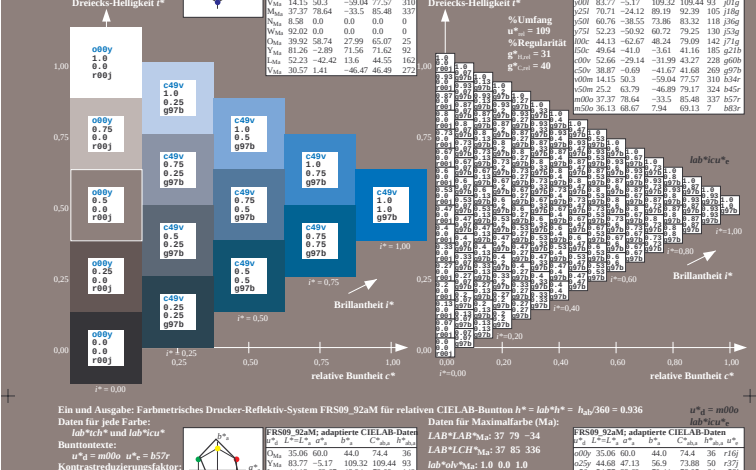

Ein und Ausgabe: Farbmetrisches Drucker-Reflektiv-System FRS09_92A für relativen CIELAB-Buntton $h^* = lab^*h^* = h_{ab}/360 = 0.862$ $u^*_d = v00m$ $lab^*icu^*_p$

Daten für jede Farbe: *lab*ch** und *lab*icu**

Buntton: $u^*_d = v00m$ $u^*_e = b34r$

Kontrastreduzierungsfaktor: $c_g = 1.0$

Daten für Maximalfarbe (Ma): $LAB^*LAB^*_{Ma}$: 14 50 −59 $LAB^*LCH^*_{Ma}$: 14 78 310 $lab^*olv^*_{Ma}$: 0.0 0.0 1.0 $lab^*rgb^*_{Ma}$: 0.68 0.0 1.0

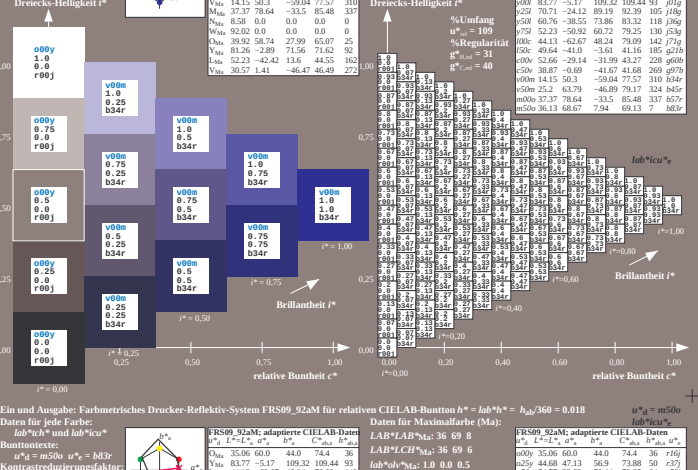

Ein und Ausgabe: Farbmetrisches Drucker-Reflektiv-System FRS09_92A für relativen CIELAB-Buntton $h^* = lab^*h^* = h_{ab}/360 = 0.899$ $u^*_d = v50m$ $lab^*icu^*_p$

Daten für jede Farbe: *lab*ch** und *lab*icu**

Buntton: $u^*_d = v50m$ $u^*_e = b45r$

Kontrastreduzierungsfaktor: $c_g = 1.0$

Daten für Maximalfarbe (Ma): $LAB^*LAB^*_{Ma}$: 25 64 −47 $LAB^*LCH^*_{Ma}$: 25 79 323 $lab^*olv^*_{Ma}$: 0.5 0.0 1.0 $lab^*rgb^*_{Ma}$: 0.91 0.0 1.0

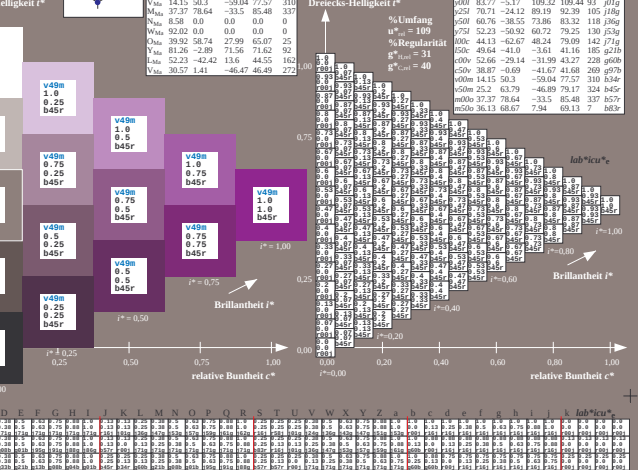

Ein und Ausgabe: Farbmetrisches Drucker-Reflektiv-System FRS09_92A für relativen CIELAB-Buntton $h^* = lab^*h^* = h_{ab}/360 = 0.936$ $u^*_d = m00o$ $lab^*icu^*_p$

Daten für jede Farbe: *lab*ch** und *lab*icu**

Buntton: $u^*_d = m00o$ $u^*_e = b57r$

Kontrastreduzierungsfaktor: $c_g = 1.0$

Daten für Maximalfarbe (Ma): $LAB^*LAB^*_{Ma}$: 37 79 −34 $LAB^*LCH^*_{Ma}$: 37 85 336 $lab^*olv^*_{Ma}$: 1.0 0.0 1.0 $lab^*rgb^*_{Ma}$: 1.0 0.0 0.85

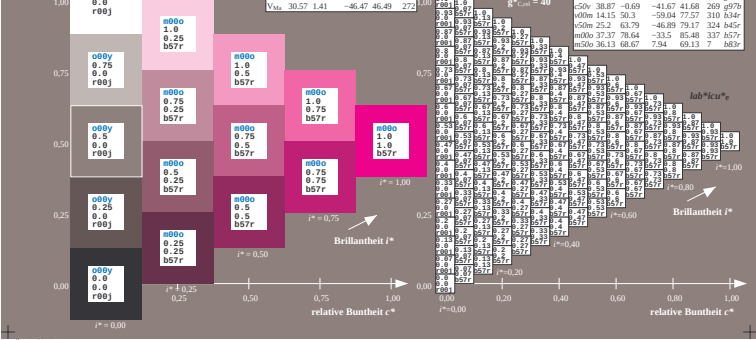

Ein und Ausgabe: Farbmetrisches Drucker-Reflektiv-System FRS09_92A für relativen CIELAB-Buntton $h^* = lab^*h^* = h_{ab}/360 = 0.018$ $u^*_d = m50o$ $lab^*icu^*_p$

Daten für jede Farbe: *lab*ch** und *lab*icu**

Buntton: $u^*_d = m50o$ $u^*_e = b83r$

Kontrastreduzierungsfaktor: $c_g = 1.0$

Daten für Maximalfarbe (Ma): $LAB^*LAB^*_{Ma}$: 36 69 8 $LAB^*LCH^*_{Ma}$: 36 69 6 $lab^*olv^*_{Ma}$: 1.0 0.0 0.5 $lab^*rgb^*_{Ma}$: 1.0 0.0 0.33

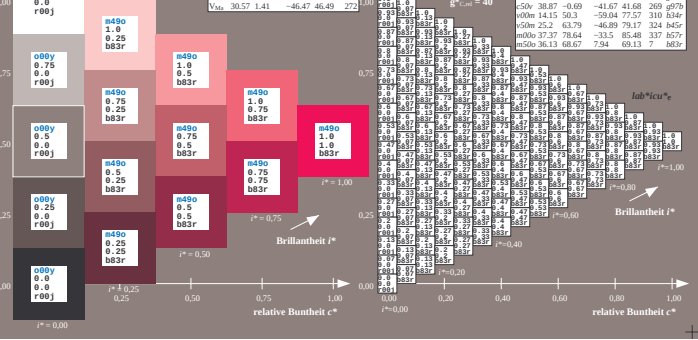

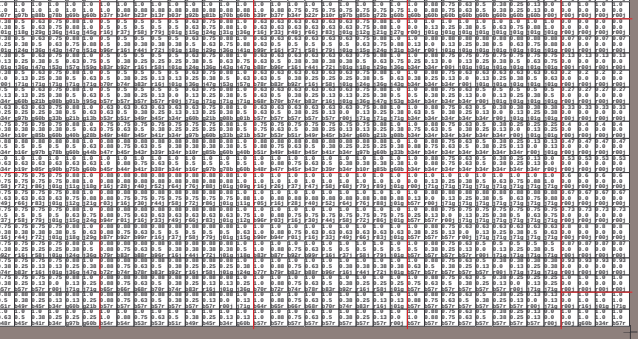

Ein und Ausgabe: Farbmetrisches Drucker-Reflektiv-System FRS09_92aM für relativen CIELAB-Buntton $h^* = lab^*h^* = h_{ab}/360 = 0.396$ $u^*_d = l00c$

Daten für jede Farbe: *lab*ch** und *lab*icu**

Buntton: $u^*_d = l00c$ $u^*_e = j71g$

Kontrastreduzierungsfaktor: $c_g = 1.0$

Daten für Maximalfarbe (Ma): *LAB*LAB**$_{Ma}$: 44 −63 48 *LAB*LCH**$_{Ma}$: 44 79 142 *lab*olv**$_{Ma}$: 0.0 1.0 0.0 *lab*rgb**$_{Ma}$: 0.28 1.0 0.0

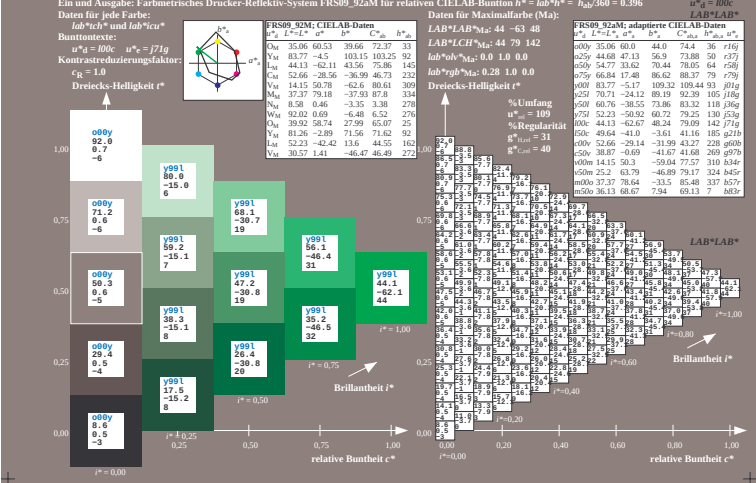

Ein und Ausgabe: Farbmetrisches Drucker-Reflektiv-System FRS09_92aM für relativen CIELAB-Buntton $h^* = lab^*h^* = h_{ab}/360 = 0.514$ $u^*_d = l50c$

Daten für jede Farbe: *lab*ch** und *lab*icu**

Buntton: $u^*_d = l50c$ $u^*_e = g21b$

Kontrastreduzierungsfaktor: $c_g = 1.0$

Daten für Maximalfarbe (Ma): *LAB*LAB**$_{Ma}$: 50 −41 −4 *LAB*LCH**$_{Ma}$: 50 41 185 *lab*olv**$_{Ma}$: 0.0 1.0 0.5 *lab*rgb**$_{Ma}$: 0.0 1.0 0.42

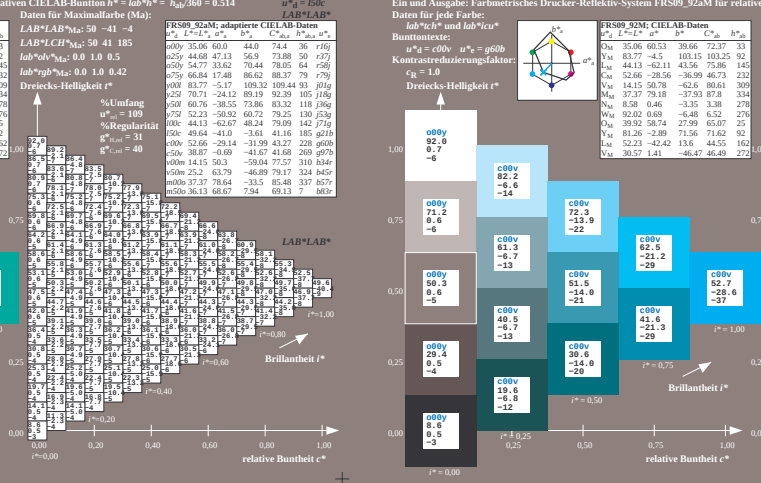

Ein und Ausgabe: Farbmetrisches Drucker-Reflektiv-System FRS09_92aM für relativen CIELAB-Buntton $h^* = lab^*h^* = h_{ab}/360 = 0.632$ $u^*_d = c00v$

Daten für jede Farbe: *lab*ch** und *lab*icu**

Buntton: $u^*_d = c00v$ $u^*_e = g60b$

Kontrastreduzierungsfaktor: $c_g = 1.0$

Daten für Maximalfarbe (Ma): *LAB*LAB**$_{Ma}$: 53 −29 −32 *LAB*LCH**$_{Ma}$: 53 43 227 *lab*olv**$_{Ma}$: 0.0 1.0 1.0 *lab*rgb**$_{Ma}$: 0.0 0.8 1.0

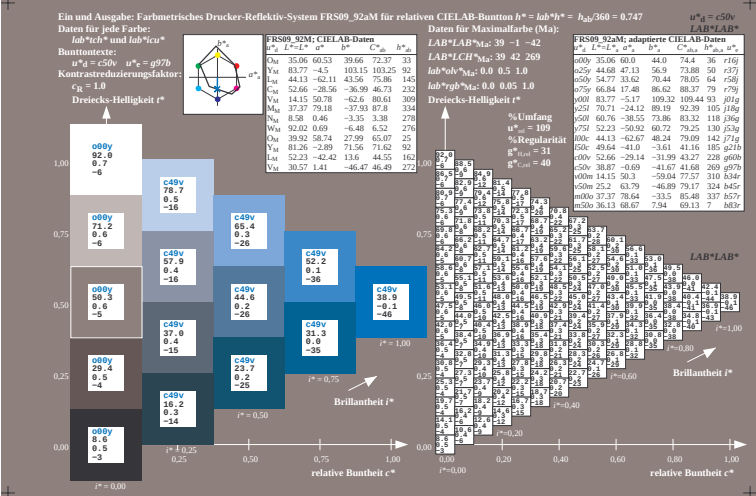

Ein und Ausgabe: Farbmetrisches Drucker-Reflektiv-System FRS09_92aM für relativen CIELAB-Buntton $h^* = lab^*h^* = h_{ab}/360 = 0.747$ $u^*_d = c50v$

Daten für jede Farbe: *lab*ch** und *lab*icu**

Buntton: $u^*_d = c50v$ $u^*_e = g97b$

Kontrastreduzierungsfaktor: $c_g = 1.0$

Daten für Maximalfarbe (Ma): *LAB*LAB**$_{Ma}$: 39 −1 −42 *LAB*LCH**$_{Ma}$: 39 42 269 *lab*olv**$_{Ma}$: 0.0 0.5 1.0 *lab*rgb**$_{Ma}$: 0.0 0.05 1.0

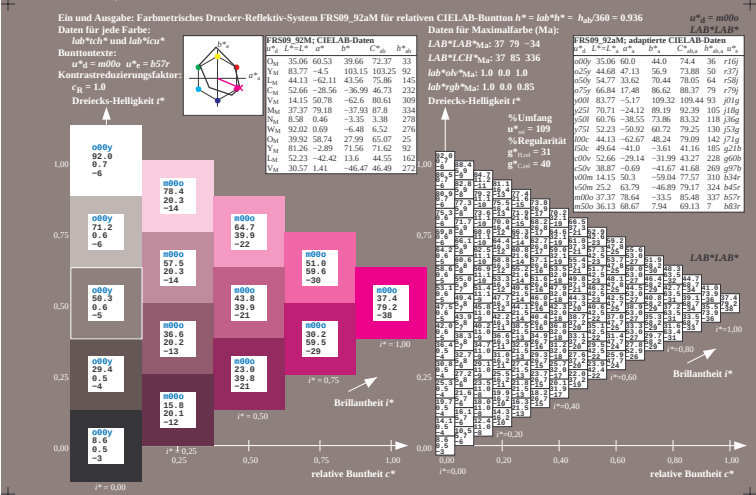

Ein und Ausgabe: Farbmetrisches Drucker-Reflektiv-System FRS09_92aM für relativen CIELAB-Buntton $h^* = lab^*h^* = h_{ab}/360 = 0.862$ $u^*_d = v00m$

Daten für jede Farbe: *lab*ch** und *lab*icu**

Buntton: $u^*_d = v00m$ $u^*_e = b34r$

Kontrastreduzierungsfaktor: $c_g = 1.0$

Daten für Maximalfarbe (Ma): *LAB*LAB**$_{Ma}$: 14 50 −59 *LAB*LCH**$_{Ma}$: 14 78 310 *lab*olv**$_{Ma}$: 0.0 0.0 1.0 *lab*rgb**$_{Ma}$: 0.68 0.0 1.0

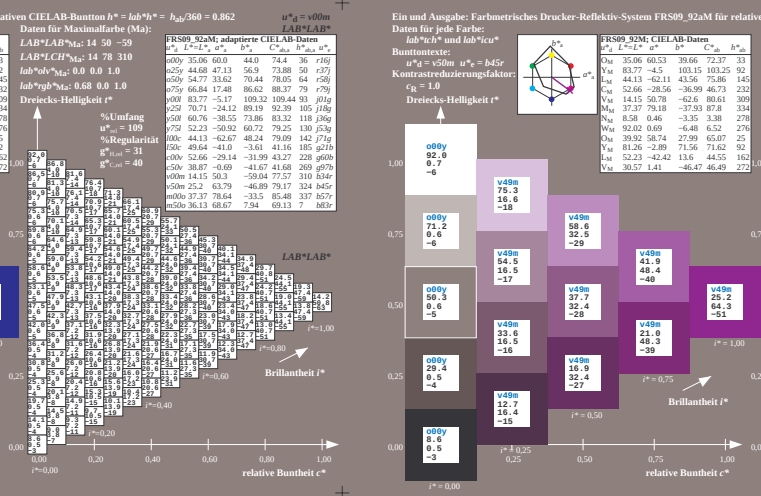

Ein und Ausgabe: Farbmetrisches Drucker-Reflektiv-System FRS09_92aM für relativen CIELAB-Buntton $h^* = lab^*h^* = h_{ab}/360 = 0.899$ $u^*_d = v50m$

Daten für jede Farbe: *lab*ch** und *lab*icu**

Buntton: $u^*_d = v50m$ $u^*_e = b45r$

Kontrastreduzierungsfaktor: $c_g = 1.0$

Daten für Maximalfarbe (Ma): *LAB*LAB**$_{Ma}$: 25 64 −47 *LAB*LCH**$_{Ma}$: 25 79 323 *lab*olv**$_{Ma}$: 0.5 0.0 1.0 *lab*rgb**$_{Ma}$: 0.91 0.0 1.0

Ein und Ausgabe: Farbmetrisches Drucker-Reflektiv-System FRS09_92aM für relativen CIELAB-Buntton $h^* = lab^*h^* = h_{ab}/360 = 0.936$ $u^*_d = m00a$

Daten für jede Farbe: *lab*ch** und *lab*icu**

Buntton: $u^*_d = m00a$ $u^*_e = b57r$

Kontrastreduzierungsfaktor: $c_g = 1.0$

Daten für Maximalfarbe (Ma): *LAB*LAB**$_{Ma}$: 37 79 −34 *LAB*LCH**$_{Ma}$: 37 85 336 *lab*olv**$_{Ma}$: 1.0 0.0 1.0 *lab*rgb**$_{Ma}$: 1.0 0.0 0.85

Ein und Ausgabe: Farbmetrisches Drucker-Reflektiv-System FRS09_92aM für relativen CIELAB-Buntton $h^* = lab^*h^* = h_{ab}/360 = 0.018$ $u^*_d = m50a$

Daten für jede Farbe: *lab*ch** und *lab*icu**

Buntton: $u^*_d = m50a$ $u^*_e = b83r$

Kontrastreduzierungsfaktor: $c_g = 1.0$

Daten für Maximalfarbe (Ma): *LAB*LAB**$_{Ma}$: 36 69 8 *LAB*LCH**$_{Ma}$: 36 69 6 *lab*olv**$_{Ma}$: 1.0 0.0 0.5 *lab*rgb**$_{Ma}$: 1.0 0.0 0.33

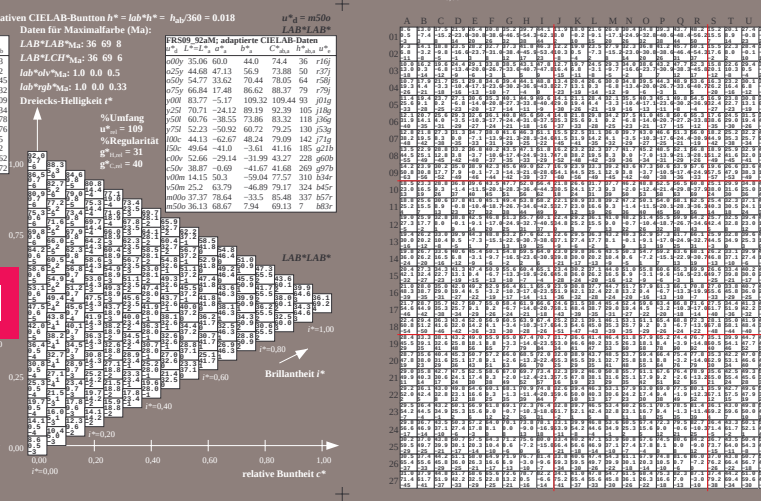

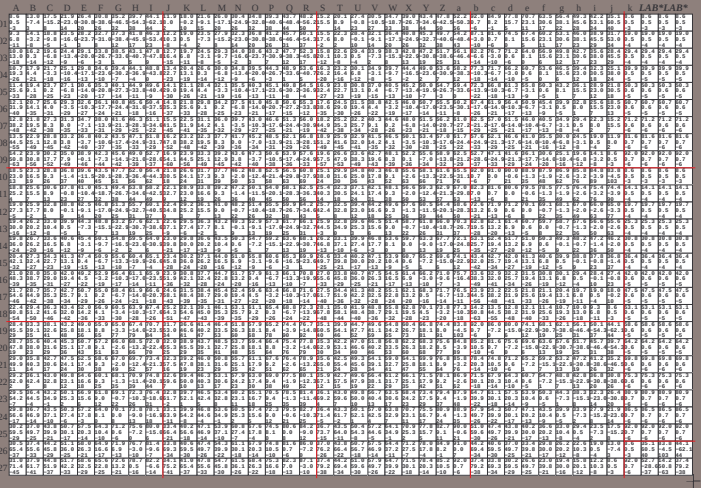

Ein und Ausgabe: Farbmetrisches Drucker-Reflektiv-System FRS09_92aM für relativen CIELAB-Buntton $h^* = lab^*h^* = h_{ab}/360 = 0.396$ $u^*_d = l00c$ lab^*ov^{*}

Daten für jede Farbe: *lab*ch** und *lab*cu** Buntton: $u^*_d = l00c$ $u^*_e = j71g$ Kontrastreduzierungsfaktor: $c_R = 1.0$ Dreiecks-Helligkeit t^*

Daten für Maximalfarbe (Ma): $LAB^*LAB^*_{Ma}$: 44 −63 48 $LAB^*LCH^*_{Ma}$: 44 79 142 $lab^*ov^*_{Ma}$: 0.0 1.0 0.0 $lab^*rgb^*_{Ma}$: 0.28 1.0 0.0 Dreiecks-Helligkeit t^*

%Umfang $u^*_w = 109$ %Regularität $g^*_{H,rel} = 31$ $g^*_{C,rel} = 40$

Ein und Ausgabe: Farbmetrisches Drucker-Reflektiv-System FRS09_92aM für relativen CIELAB-Buntton $h^* = lab^*h^* = h_{ab}/360 = 0.514$ $u^*_d = l50c$ lab^*ov^{*}

Daten für jede Farbe: *lab*ch** und *lab*cu** Buntton: $u^*_d = l50c$ $u^*_e = g21b$ Kontrastreduzierungsfaktor: $c_R = 1.0$ Dreiecks-Helligkeit t^*

Daten für Maximalfarbe (Ma): $LAB^*LAB^*_{Ma}$: 50 −41 −4 $LAB^*LCH^*_{Ma}$: 50 41 185 $lab^*ov^*_{Ma}$: 0.0 1.0 0.5 $lab^*rgb^*_{Ma}$: 0.0 1.0 0.42 Dreiecks-Helligkeit t^*

%Umfang $u^*_w = 109$ %Regularität $g^*_{H,rel} = 31$ $g^*_{C,rel} = 40$

Ein und Ausgabe: Farbmetrisches Drucker-Reflektiv-System FRS09_92aM für relativen CIELAB-Buntton $h^* = lab^*h^* = h_{ab}/360 = 0.632$ $u^*_d = c00v$ lab^*ov^{*}

Daten für jede Farbe: *lab*ch** und *lab*cu** Buntton: $u^*_d = c00v$ $u^*_e = g60b$ Kontrastreduzierungsfaktor: $c_R = 1.0$ Dreiecks-Helligkeit t^*

Daten für Maximalfarbe (Ma): $LAB^*LAB^*_{Ma}$: 53 −29 −32 $LAB^*LCH^*_{Ma}$: 53 43 227 $lab^*ov^*_{Ma}$: 0.0 1.0 1.0 $lab^*rgb^*_{Ma}$: 0.0 0.8 1.0 Dreiecks-Helligkeit t^*

%Umfang $u^*_w = 109$ %Regularität $g^*_{H,rel} = 31$ $g^*_{C,rel} = 40$

Ein und Ausgabe: Farbmetrisches Drucker-Reflektiv-System FRS09_92aM für relativen CIELAB-Buntton $h^* = lab^*h^* = h_{ab}/360 = 0.747$ $u^*_d = c50v$ lab^*ov^{*}

Daten für jede Farbe: *lab*ch** und *lab*cu** Buntton: $u^*_d = c50v$ $u^*_e = g97b$ Kontrastreduzierungsfaktor: $c_R = 1.0$ Dreiecks-Helligkeit t^*

Daten für Maximalfarbe (Ma): $LAB^*LAB^*_{Ma}$: 39 −1 −42 $LAB^*LCH^*_{Ma}$: 39 42 269 $lab^*ov^*_{Ma}$: 0.0 0.5 1.0 $lab^*rgb^*_{Ma}$: 0.0 0.05 1.0 Dreiecks-Helligkeit t^*

%Umfang $u^*_w = 109$ %Regularität $g^*_{H,rel} = 31$ $g^*_{C,rel} = 40$

Ein und Ausgabe: Farbmetrisches Drucker-Reflektiv-System FRS09_92aM für relativen CIELAB-Buntton $h^* = lab^*h^* = h_{ab}/360 = 0.862$ $u^*_d = v00m$ lab^*ov^{*}

Daten für jede Farbe: *lab*ch** und *lab*cu** Buntton: $u^*_d = v00m$ $u^*_e = b34r$ Kontrastreduzierungsfaktor: $c_R = 1.0$ Dreiecks-Helligkeit t^*

Daten für Maximalfarbe (Ma): $LAB^*LAB^*_{Ma}$: 14 50 −59 $LAB^*LCH^*_{Ma}$: 14 78 310 $lab^*ov^*_{Ma}$: 0.0 0.0 1.0 $lab^*rgb^*_{Ma}$: 0.68 0.0 1.0 Dreiecks-Helligkeit t^*

%Umfang $u^*_w = 109$ %Regularität $g^*_{H,rel} = 31$ $g^*_{C,rel} = 40$

Ein und Ausgabe: Farbmetrisches Drucker-Reflektiv-System FRS09_92aM für relativen CIELAB-Buntton $h^* = lab^*h^* = h_{ab}/360 = 0.899$ $u^*_d = v50m$ lab^*ov^{*}

Daten für jede Farbe: *lab*ch** und *lab*cu** Buntton: $u^*_d = v50m$ $u^*_e = b45r$ Kontrastreduzierungsfaktor: $c_R = 1.0$ Dreiecks-Helligkeit t^*

Daten für Maximalfarbe (Ma): $LAB^*LAB^*_{Ma}$: 25 64 −47 $LAB^*LCH^*_{Ma}$: 25 79 323 $lab^*ov^*_{Ma}$: 0.5 0.0 1.0 $lab^*rgb^*_{Ma}$: 0.91 0.0 1.0 Dreiecks-Helligkeit t^*

%Umfang $u^*_w = 109$ %Regularität $g^*_{H,rel} = 31$ $g^*_{C,rel} = 40$

Ein und Ausgabe: Farbmetrisches Drucker-Reflektiv-System FRS09_92aM für relativen CIELAB-Buntton $h^* = lab^*h^* = h_{ab}/360 = 0.936$ $u^*_d = m00o$ lab^*ov^{*}

Daten für jede Farbe: *lab*ch** und *lab*cu** Buntton: $u^*_d = m00o$ $u^*_e = b57r$ Kontrastreduzierungsfaktor: $c_R = 1.0$ Dreiecks-Helligkeit t^*

Daten für Maximalfarbe (Ma): $LAB^*LAB^*_{Ma}$: 37 79 −34 $LAB^*LCH^*_{Ma}$: 37 85 336 $lab^*ov^*_{Ma}$: 1.0 0.0 1.0 $lab^*rgb^*_{Ma}$: 1.0 0.0 0.85 Dreiecks-Helligkeit t^*

%Umfang $u^*_w = 109$ %Regularität $g^*_{H,rel} = 31$ $g^*_{C,rel} = 40$

Ein und Ausgabe: Farbmetrisches Drucker-Reflektiv-System FRS09_92aM für relativen CIELAB-Buntton $h^* = lab^*h^* = h_{ab}/360 = 0.018$ $u^*_d = m50o$ lab^*ov^{*}

Daten für jede Farbe: *lab*ch** und *lab*cu** Buntton: $u^*_d = m50o$ $u^*_e = b83r$ Kontrastreduzierungsfaktor: $c_R = 1.0$ Dreiecks-Helligkeit t^*

Daten für Maximalfarbe (Ma): $LAB^*LAB^*_{Ma}$: 36 69 8 $LAB^*LCH^*_{Ma}$: 36 69 6 $lab^*ov^*_{Ma}$: 1.0 0.0 0.5 $lab^*rgb^*_{Ma}$: 1.0 0.0 0.33 Dreiecks-Helligkeit t^*

%Umfang $u^*_w = 109$ %Regularität $g^*_{H,rel} = 31$ $g^*_{C,rel} = 40$

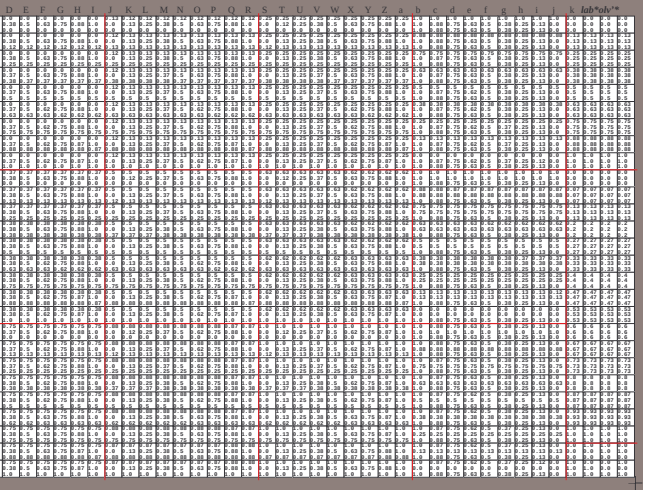

Ein und Ausgabe: Farbmetrisches Drucker-Reflektiv-System FRS09_92aM für relativen CIELAB-Buntton $h^* = lab^*h^* = h_{ab}/360 = 0.396$ $u^*_d = l00c$

Daten für jede Farbe: *lab*ch** und *lab*cu**
Buntton texte: $u^*_d = l00c$ $u^*_e = j71g$
Kontrastreduzierungsfaktor: $c_R = 1.0$
Dreiecks-Helligkeit t^*

Daten für Maximalfarbe (Ma): $LAB^*LAB^*_{Ma}$: 44 −63 48 $LAB^*LCH^*_{Ma}$: 44 79 142 $lab^*ovl^*_{Ma}$: 0.0 1.0 0.0 $lab^*rgb^*_{Ma}$: 0.28 1.0 0.0

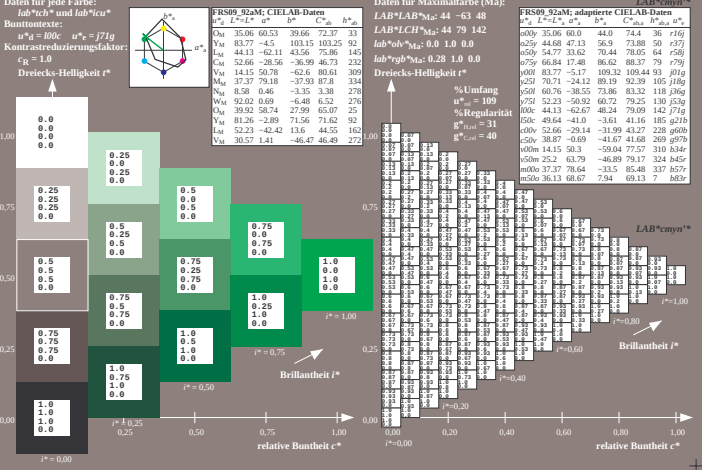

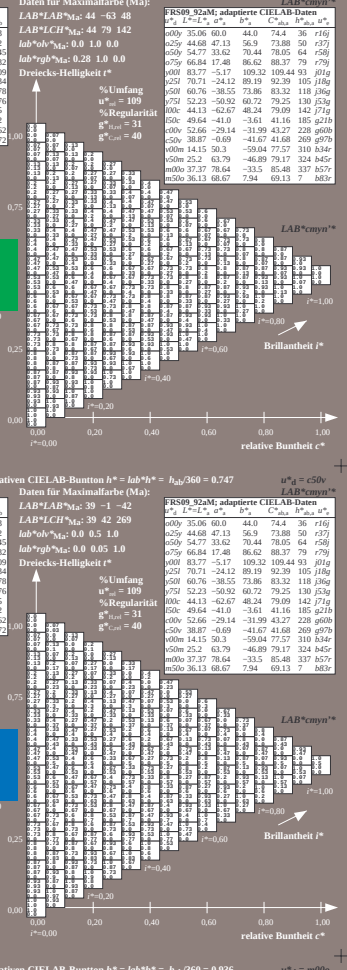

Ein und Ausgabe: Farbmetrisches Drucker-Reflektiv-System FRS09_92aM für relativen CIELAB-Buntton $h^* = lab^*h^* = h_{ab}/360 = 0.514$ $u^*_d = l50c$

Daten für jede Farbe: *lab*ch** und *lab*cu**
Buntton texte: $u^*_d = l50c$ $u^*_e = g21b$
Kontrastreduzierungsfaktor: $c_R = 1.0$
Dreiecks-Helligkeit t^*

Daten für Maximalfarbe (Ma): $LAB^*LAB^*_{Ma}$: 50 −41 −4 $LAB^*LCH^*_{Ma}$: 50 41 185 $lab^*ovl^*_{Ma}$: 0.0 1.0 0.5 $lab^*rgb^*_{Ma}$: 0.0 1.0 0.42

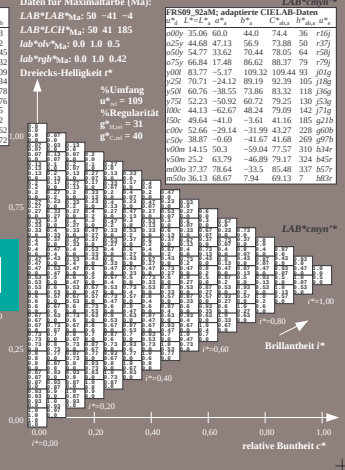

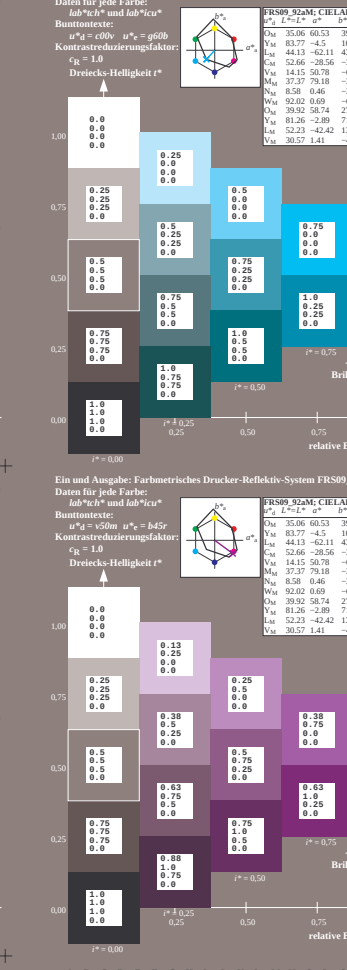

Ein und Ausgabe: Farbmetrisches Drucker-Reflektiv-System FRS09_92aM für relativen CIELAB-Buntton $h^* = lab^*h^* = h_{ab}/360 = 0.632$ $u^*_d = c00v$

Daten für jede Farbe: *lab*ch** und *lab*cu**
Buntton texte: $u^*_d = c00v$ $u^*_e = g60b$
Kontrastreduzierungsfaktor: $c_R = 1.0$
Dreiecks-Helligkeit t^*

Daten für Maximalfarbe (Ma): $LAB^*LAB^*_{Ma}$: 53 −29 −32 $LAB^*LCH^*_{Ma}$: 53 43 227 $lab^*ovl^*_{Ma}$: 0.0 1.0 1.0 $lab^*rgb^*_{Ma}$: 0.0 0.8 1.0

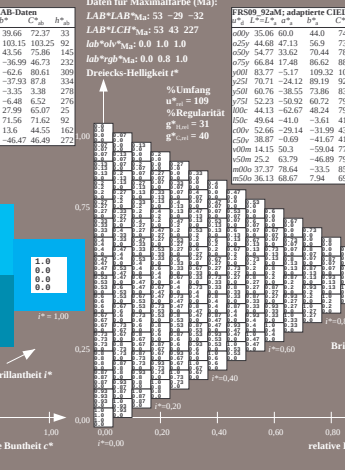

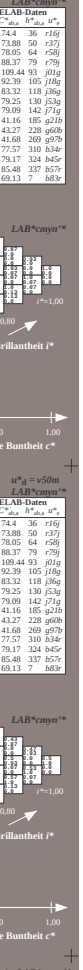

Ein und Ausgabe: Farbmetrisches Drucker-Reflektiv-System FRS09_92aM für relativen CIELAB-Buntton $h^* = lab^*h^* = h_{ab}/360 = 0.747$ $u^*_d = c50v$

Daten für jede Farbe: *lab*ch** und *lab*cu**
Buntton texte: $u^*_d = c50v$ $u^*_e = g97b$
Kontrastreduzierungsfaktor: $c_R = 1.0$
Dreiecks-Helligkeit t^*

Daten für Maximalfarbe (Ma): $LAB^*LAB^*_{Ma}$: 39 −1 −42 $LAB^*LCH^*_{Ma}$: 39 42 269 $lab^*ovl^*_{Ma}$: 0.0 0.5 1.0 $lab^*rgb^*_{Ma}$: 0.0 0.05 1.0

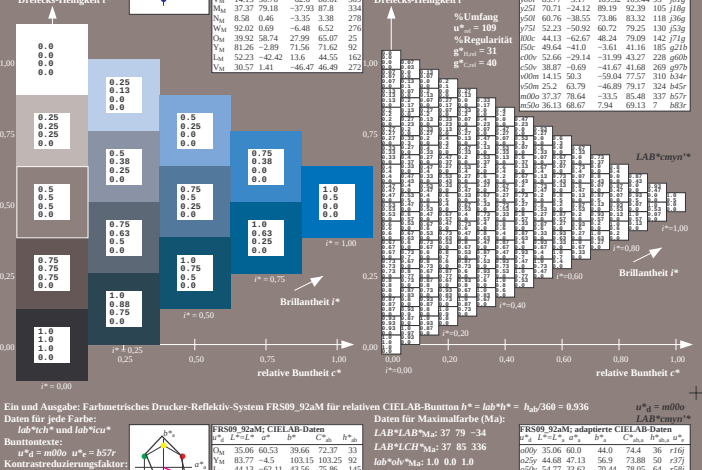

Ein und Ausgabe: Farbmetrisches Drucker-Reflektiv-System FRS09_92aM für relativen CIELAB-Buntton $h^* = lab^*h^* = h_{ab}/360 = 0.862$ $u^*_d = v00m$

Daten für jede Farbe: *lab*ch** und *lab*cu**
Buntton texte: $u^*_d = v00m$ $u^*_e = b34r$
Kontrastreduzierungsfaktor: $c_R = 1.0$
Dreiecks-Helligkeit t^*

Daten für Maximalfarbe (Ma): $LAB^*LAB^*_{Ma}$: 14 50 −59 $LAB^*LCH^*_{Ma}$: 14 78 310 $lab^*ovl^*_{Ma}$: 0.0 0.0 1.0 $lab^*rgb^*_{Ma}$: 0.68 0.0 1.0

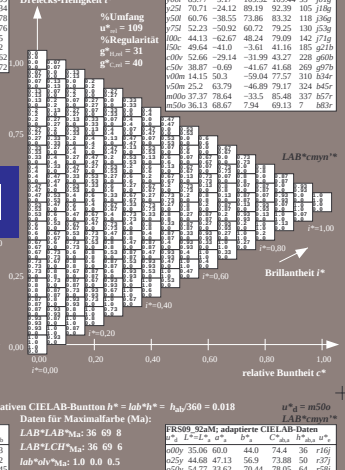

Ein und Ausgabe: Farbmetrisches Drucker-Reflektiv-System FRS09_92aM für relativen CIELAB-Buntton $h^* = lab^*h^* = h_{ab}/360 = 0.899$ $u^*_d = v50m$

Daten für jede Farbe: *lab*ch** und *lab*cu**
Buntton texte: $u^*_d = v50m$ $u^*_e = b45r$
Kontrastreduzierungsfaktor: $c_R = 1.0$
Dreiecks-Helligkeit t^*

Daten für Maximalfarbe (Ma): $LAB^*LAB^*_{Ma}$: 25 64 −47 $LAB^*LCH^*_{Ma}$: 25 79 323 $lab^*ovl^*_{Ma}$: 0.5 0.0 1.0 $lab^*rgb^*_{Ma}$: 0.91 0.0 1.0

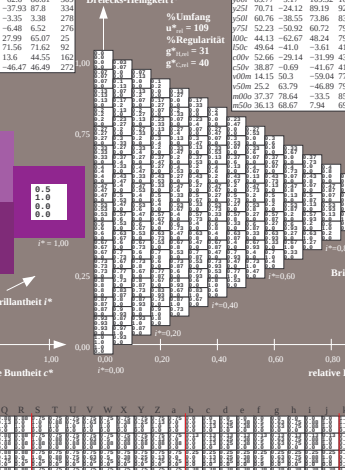

Ein und Ausgabe: Farbmetrisches Drucker-Reflektiv-System FRS09_92aM für relativen CIELAB-Buntton $h^* = lab^*h^* = h_{ab}/360 = 0.936$ $u^*_d = m00a$

Daten für jede Farbe: *lab*ch** und *lab*cu**
Buntton texte: $u^*_d = m00a$ $u^*_e = b57r$
Kontrastreduzierungsfaktor: $c_R = 1.0$
Dreiecks-Helligkeit t^*

Daten für Maximalfarbe (Ma): $LAB^*LAB^*_{Ma}$: 37 79 −34 $LAB^*LCH^*_{Ma}$: 37 85 336 $lab^*ovl^*_{Ma}$: 1.0 0.0 1.0 $lab^*rgb^*_{Ma}$: 1.0 0.0 0.85

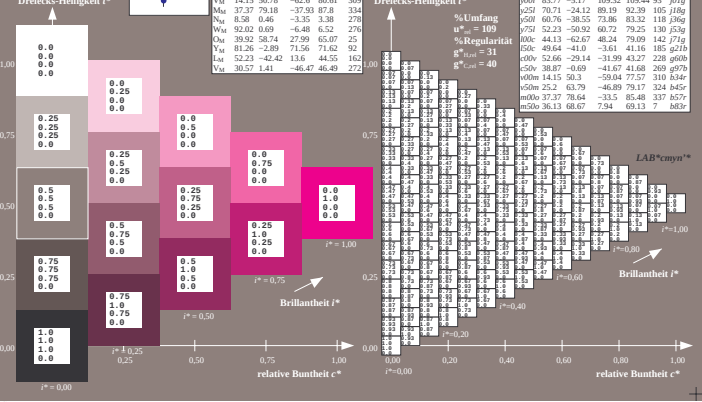

Ein und Ausgabe: Farbmetrisches Drucker-Reflektiv-System FRS09_92aM für relativen CIELAB-Buntton $h^* = lab^*h^* = h_{ab}/360 = 0.018$ $u^*_d = m50a$

Daten für jede Farbe: *lab*ch** und *lab*cu**
Buntton texte: $u^*_d = m50a$ $u^*_e = b83r$
Kontrastreduzierungsfaktor: $c_R = 1.0$
Dreiecks-Helligkeit t^*
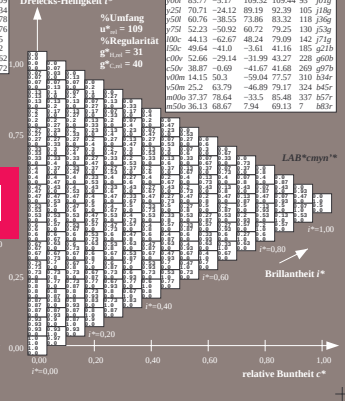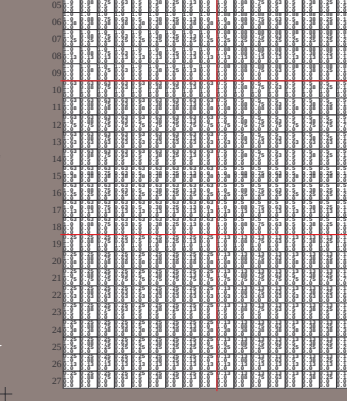
Daten für Maximalfarbe (Ma): $LAB^*LAB^*_{Ma}$: 36 69 8 $LAB^*LCH^*_{Ma}$: 36 69 6 $lab^*ovl^*_{Ma}$: 1.0 0.0 0.5 $lab^*rgb^*_{Ma}$: 1.0 0.0 0.33